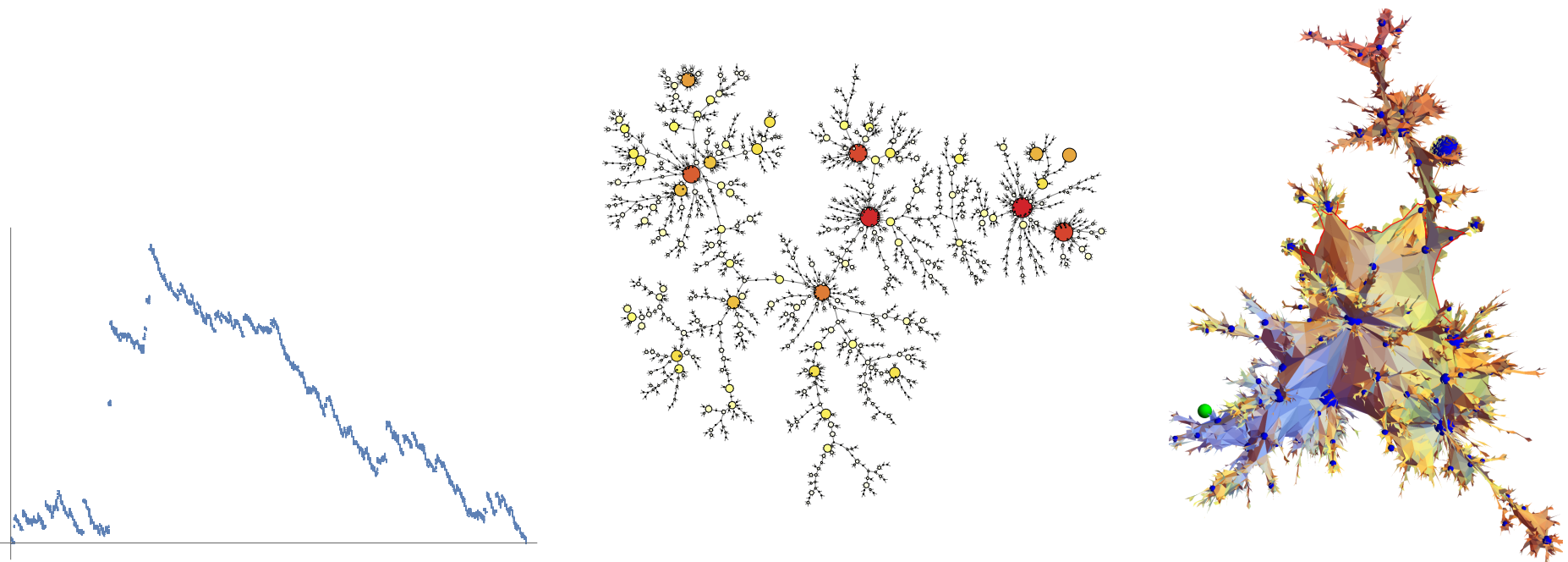


Marches, arbres et cartes aléatoires ... avec des grands degrés



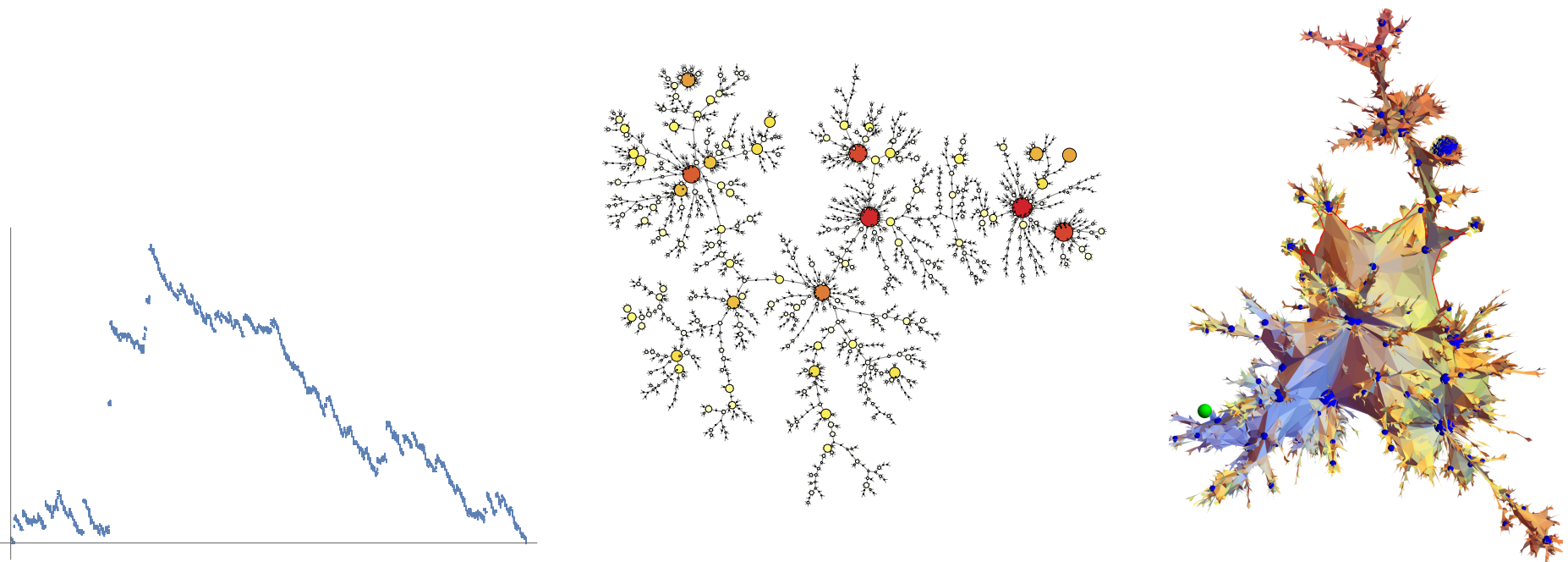
Nicolas Curien (Univ. Paris Saclay[†], IUF)

avec O. Bernardi, J. Bertoin, (T. Budd)², T. Hutchcroft, (I. Kortchemski)³,
J.F. Le Gall, C. Marzouk, G. Miermont, A. Nachmias...

Journée Neveu, 2017



Marches, arbres et cartes aléatoires ... avec des grands degrés



Nicolas Curien (Univ. Paris Saclay[†], IUF)

avec O. Bernardi, J. Bertoin, (T. Budd)², T. Hutchcroft, (I. Kortchemski)³,
J.F. Le Gall, C. Marzouk, G. Miermont, A. Nachmias...

Journée Neveu, 2017



Brownian

Stable

Processes



Trees



Maps



Brownian

Stable

Processes



Trees



Augmented trees

Maps



Marches aléatoires



Marches aléatoires

Soit $\mathbf{p} = (p_k)$ une loi de probabilité sur $\{-1, 0, 1, 2, \dots\}$ centrée et satisfaisant l'asymptotique

$$p_k \underset{k \rightarrow \infty}{\sim} c \cdot k^{-a-1}, \quad \text{pour } a > 1.$$

On considère (S) la marche aléatoire associée avec pas i.i.d. associée et son excursion positive $(S_i)_{0 \leq i \leq \theta}$ avec $\theta = \inf\{i \geq 0 : S_i < 0\}$. I.e pour toute excursion (x_i) on a

$$\mathbb{P}\left((S_i)_{0 \leq i \leq \theta} = (x_i)_{0 \leq i \leq n}\right) = \prod_{i=1}^n p_{\Delta x_i}.$$



Marches aléatoires

Soit $\mathbf{p} = (p_k)$ une loi de probabilité sur $\{-1, 0, 1, 2, \dots\}$ centrée² et satisfaisant l'asymptotique

$$p_k \underset{k \rightarrow \infty}{\sim} c \cdot k^{-a-1}, \quad \text{pour } a > 1.$$

On considère (S) la marche aléatoire associée avec pas i.i.d. associée et son excursion positive $(S_i)_{0 \leq i \leq \theta}$ avec $\theta = \inf\{i \geq 0 : S_i < 0\}$. I.e pour toute excursion (x_i) on a

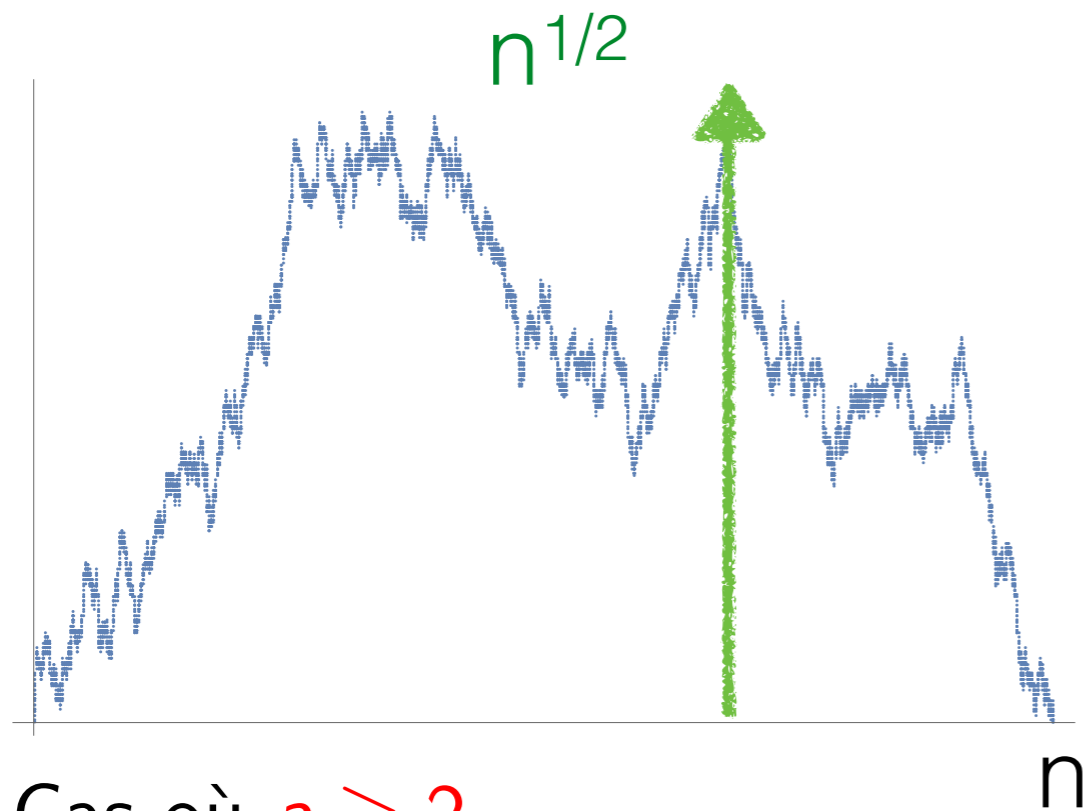
$$\mathbb{P}\left((S_i)_{0 \leq i \leq \theta} = (x_i)_{0 \leq i \leq n}\right) = \prod_{i=1}^n p_{\Delta x_i}.$$

2. La criticalité de \mathbf{p} est équivalente à dire que $\theta < \infty$ mais $\mathbb{E}[\theta] = \infty$.

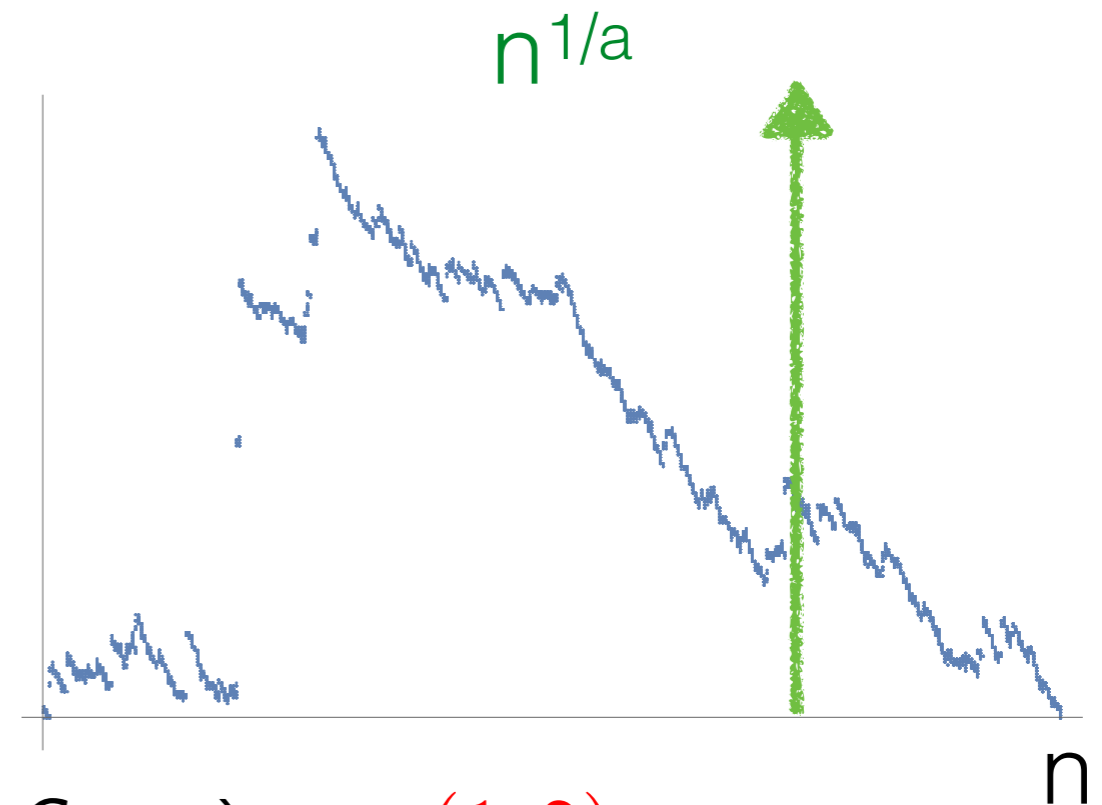


Premiers dessins

On a des comportements différents (pour les grandes excursions) :



Cas où $a \geq 2$
Mouvement Brownien



Cas où $a \in (1, 2)$.
Processus de Lévy a -stable.

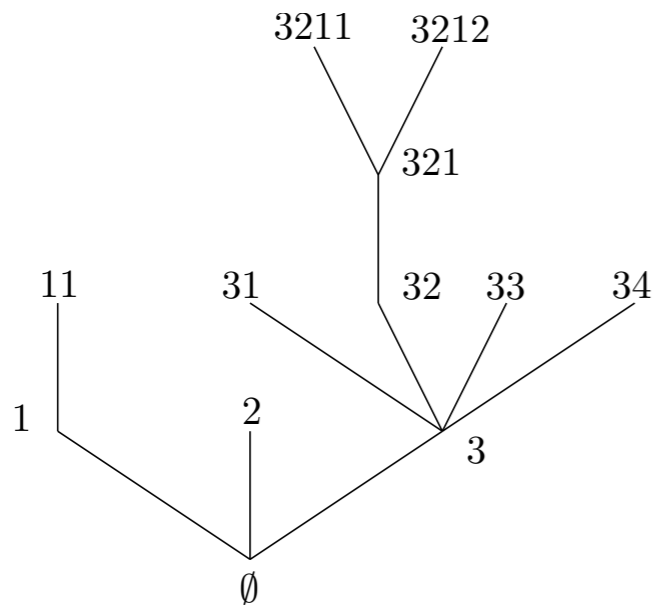


Arbres aléatoires



Arbres de Galton-Watson

Avec les mêmes hypothèses sur \mathbf{p} on considère un arbre aléatoire plan \mathcal{T} dit de \mathbf{p} -BGW de loi donnée par



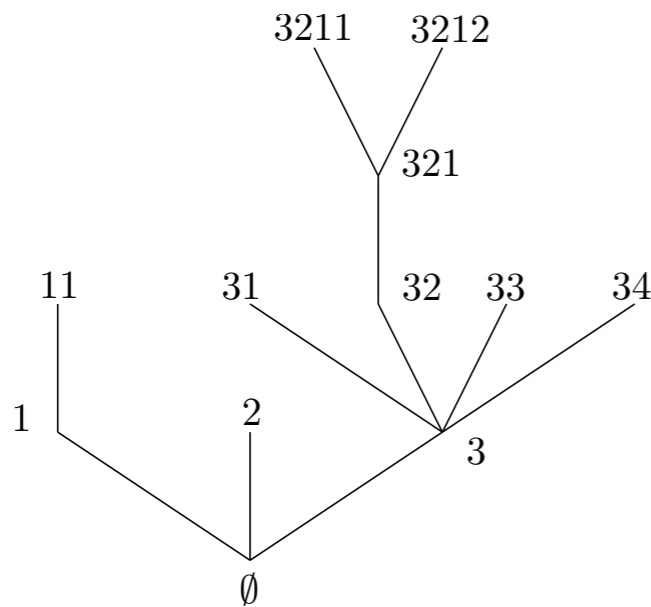
$$\mathbb{P}(\mathcal{T} = \tau) = \prod_{u \in \tau} p_{k_u}$$

Un arbre plan τ , les nombres d'enfants sont notés $\{k_u : u \in \tau\}$.



Arbres de Galton-Watson

Avec les mêmes hypothèses³ sur \mathbf{p} on considère un arbre aléatoire plan \mathcal{T} dit de \mathbf{p} -BGW de loi donnée par



$$\mathbb{P}(\mathcal{T} = \tau) = \prod_{u \in \tau} p_{k_u}$$

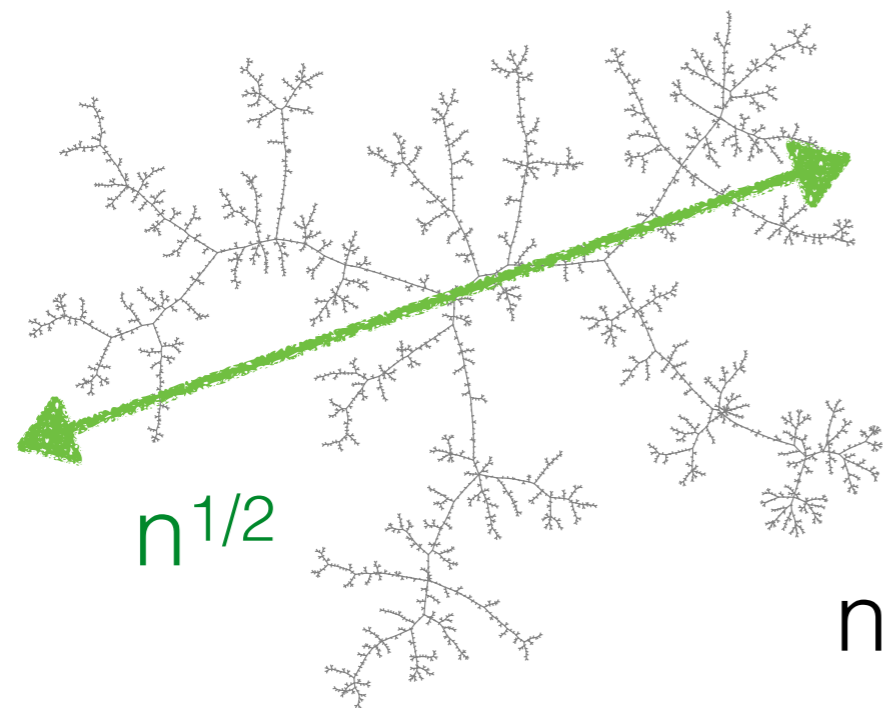
Un arbre plan τ , les nombres d'enfants sont notés $\{k_u : u \in \tau\}$.

3. La criticalité ici est équivalente à dire que $|\tau| < \infty$ p.s. mais $\mathbb{E}[\tau] = \infty$

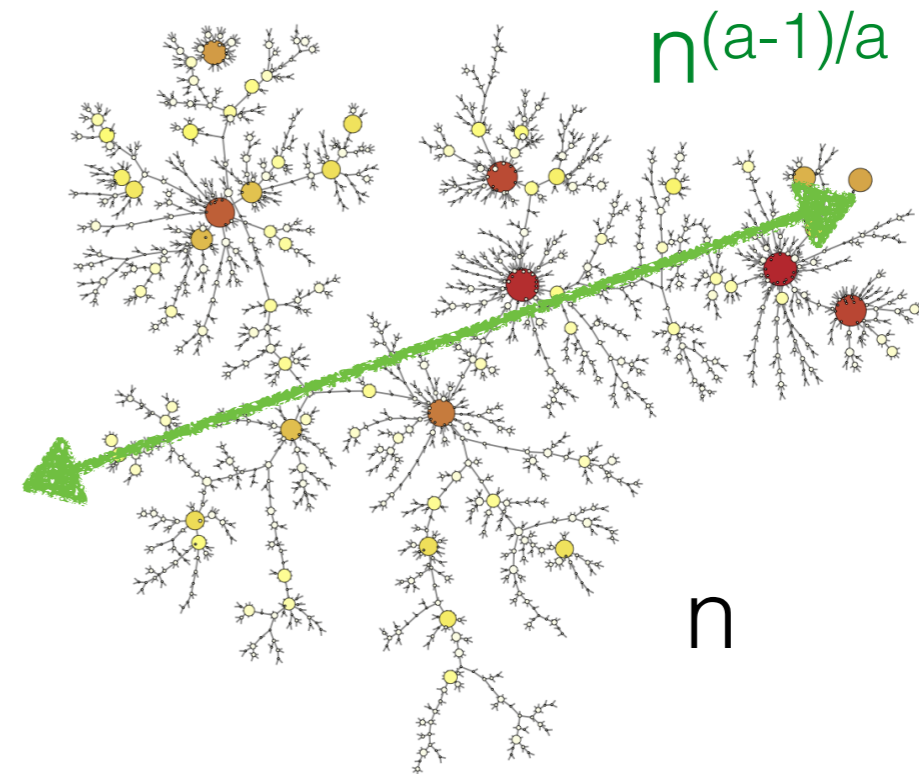


D'autres dessins

Ici aussi, des comportements géométriques très différents en fonction de a :



Cas où $a \geq 2$
Arbre Brownien
(Aldous)



Cas où $a \in (1, 2)$.
Arbre a -stable
(Duquesne, Le Gall, Le Jan).



Des arbres aux marches

Dépendant d'un procédé d'exploration :

- ▶ parcours en profondeur,
- ▶ parcours en largeur,
- ▶ exploration "uniforme",
- ▶ ...



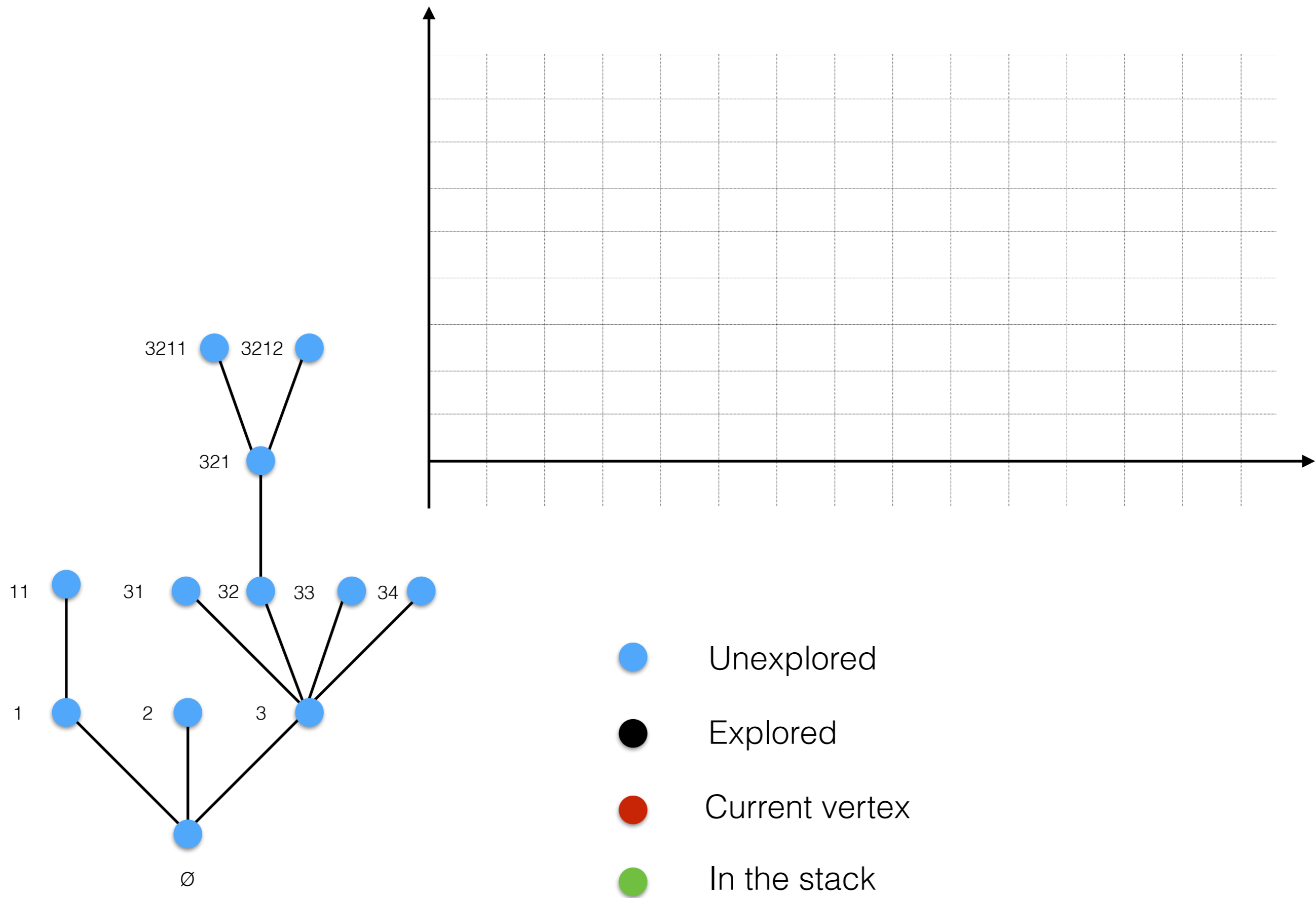
Des arbres aux marches

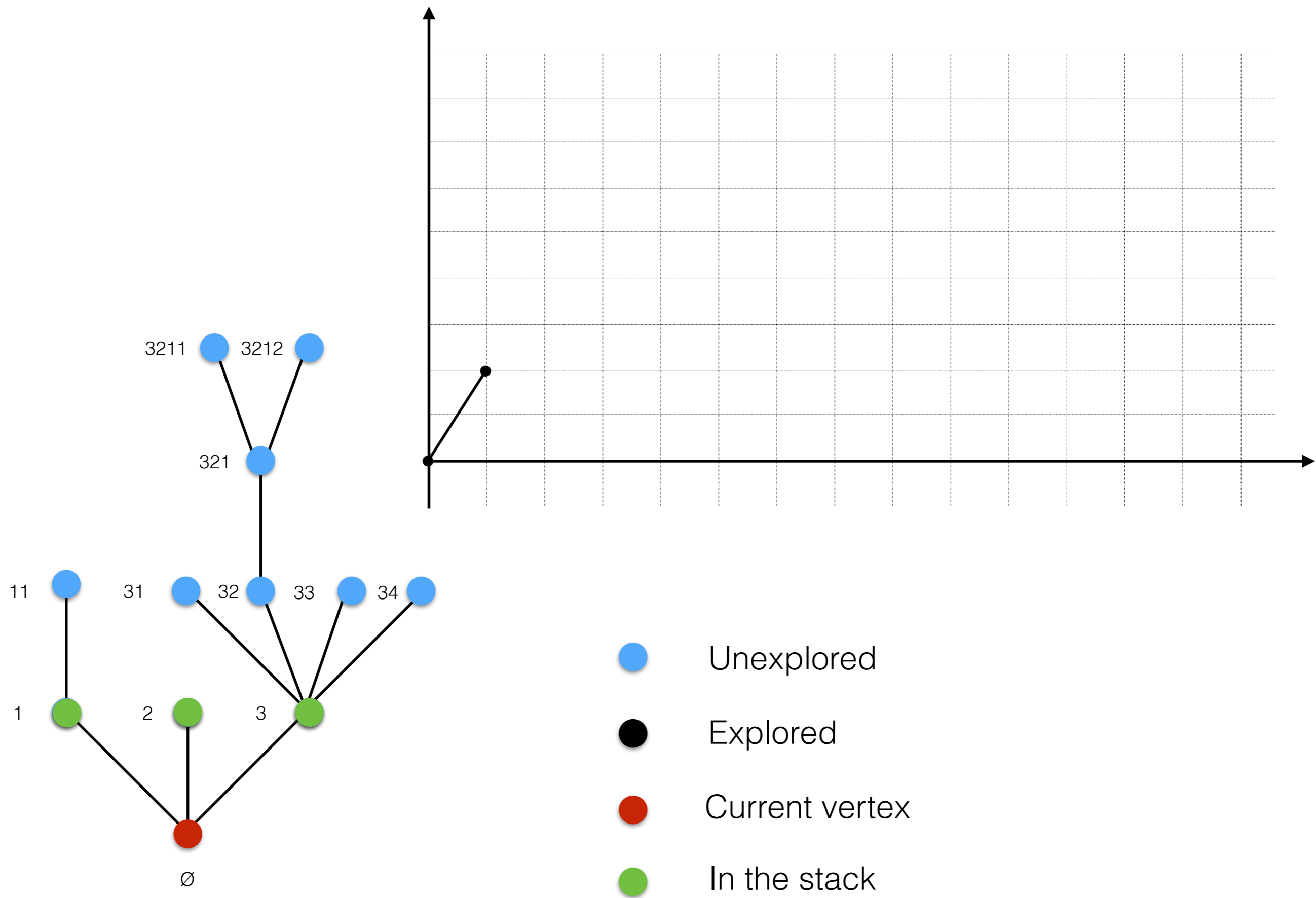
Dépendant d'un procédé d'exploration :

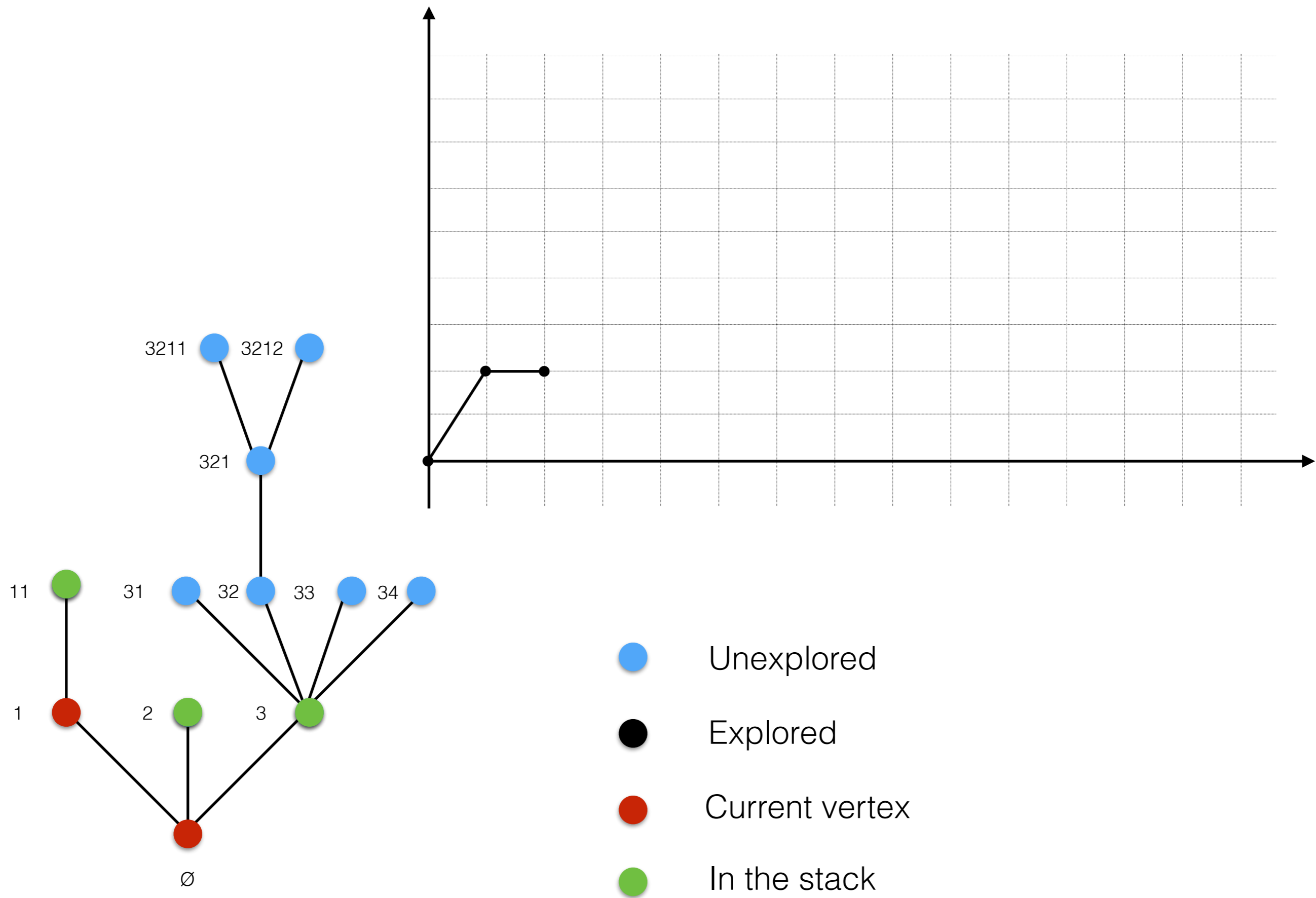
- ▶ parcours en profondeur,
- ▶ parcours en largeur,
- ▶ exploration "uniforme",
- ▶ ...

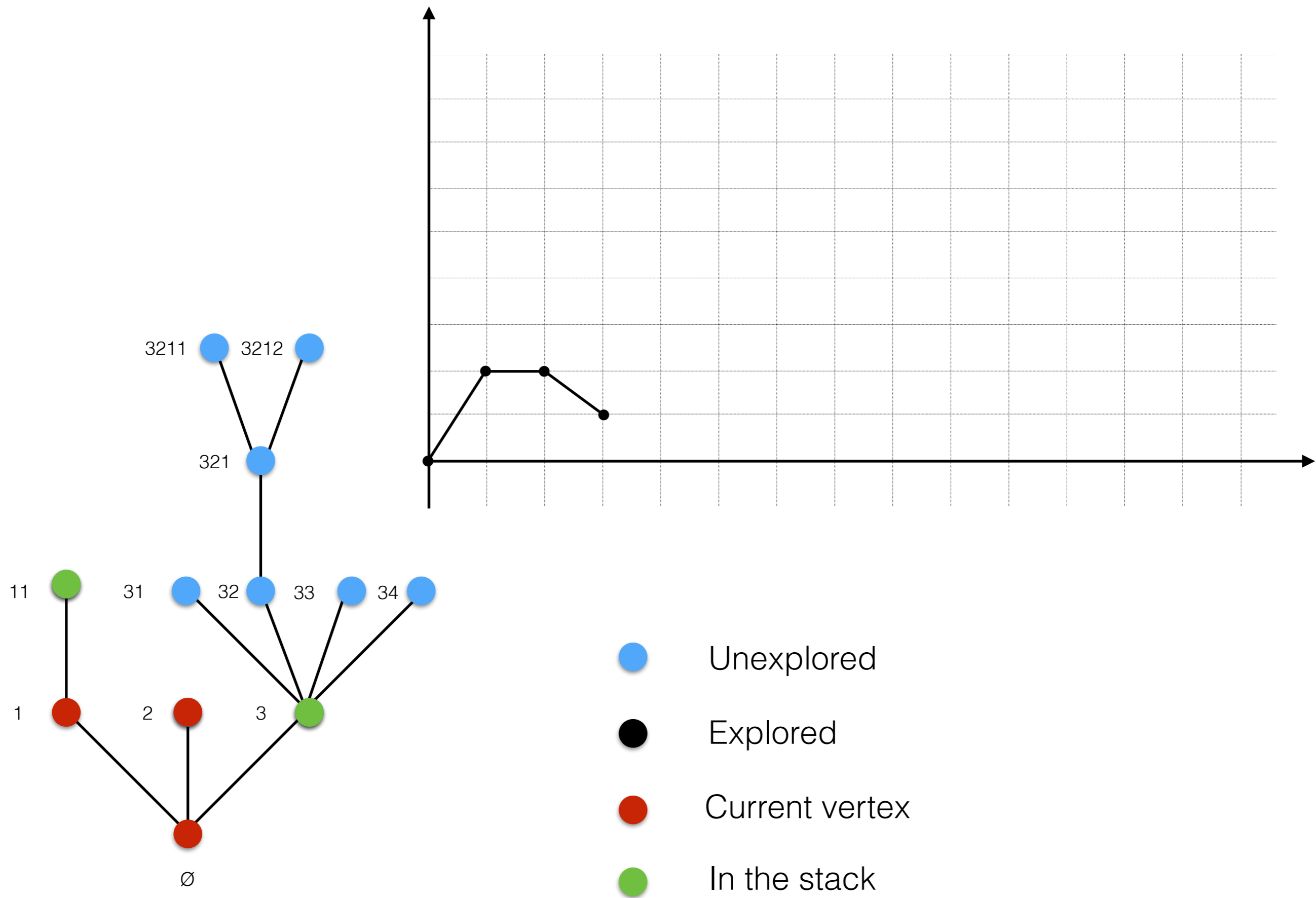
Durant l'exploration on enregistre le nombre de sommets "en mémoire" à visiter ultérieurement (moins 1). L'exploration s'arrête lorsqu'il n'y a plus de sommets à visiter.

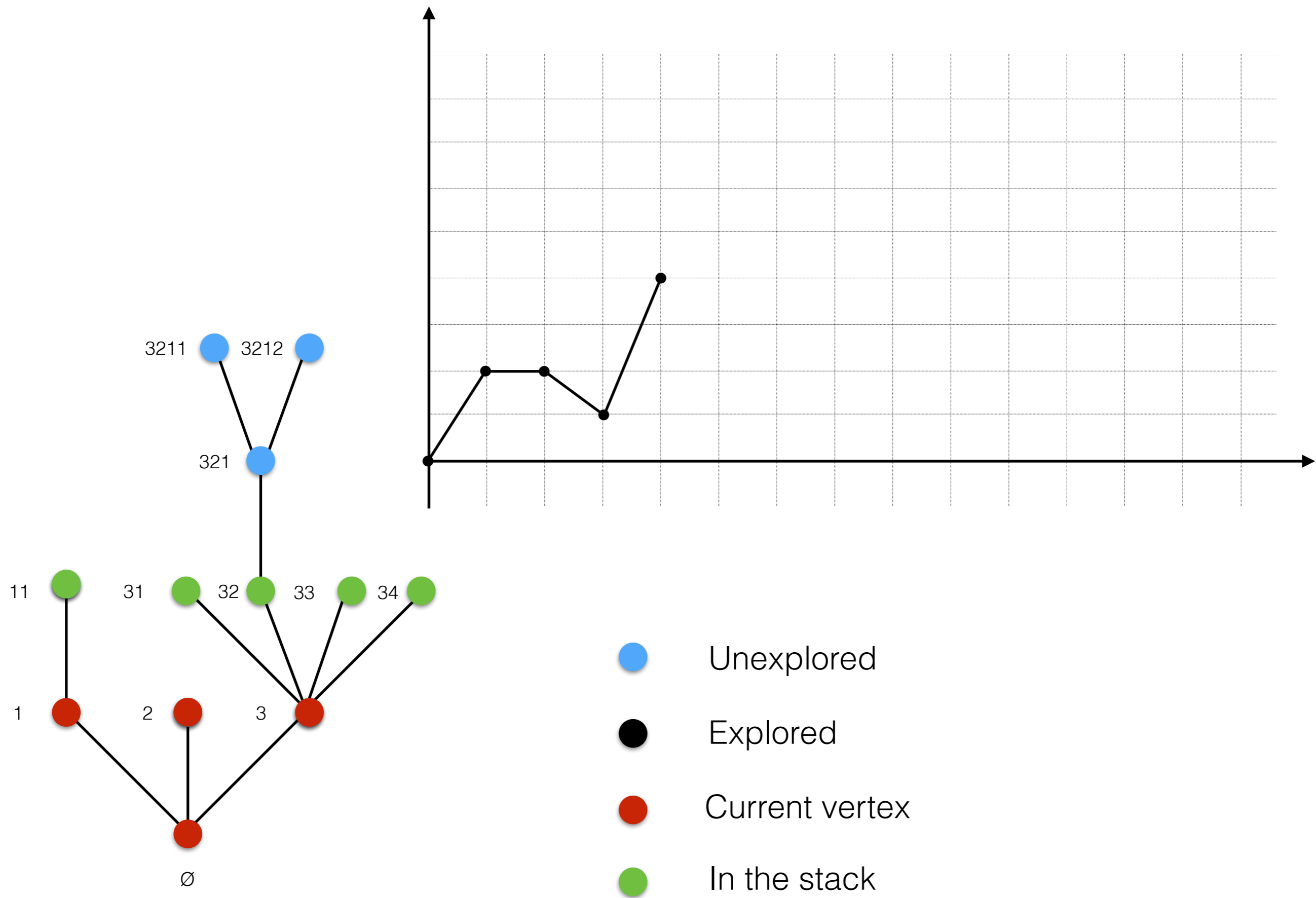


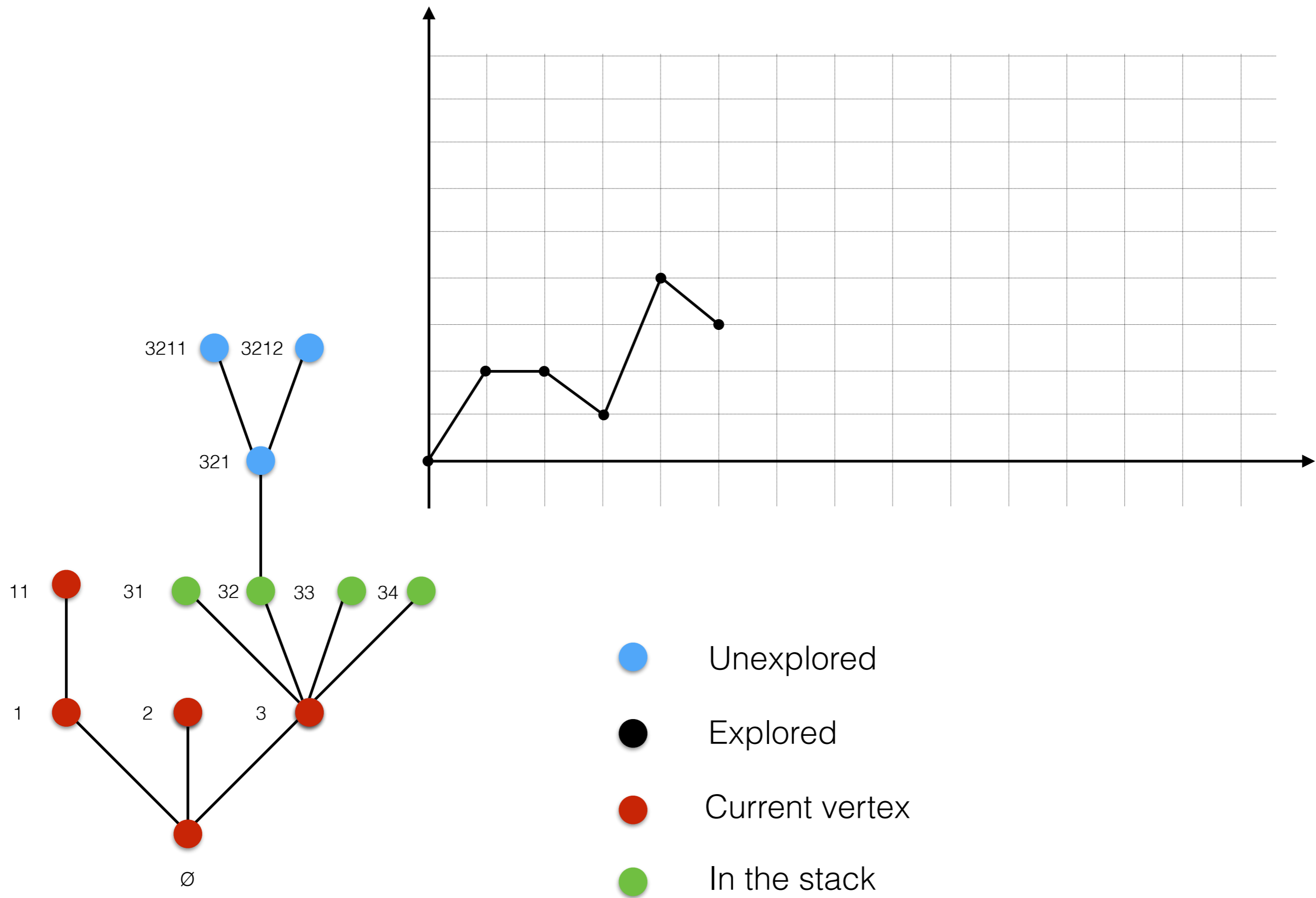


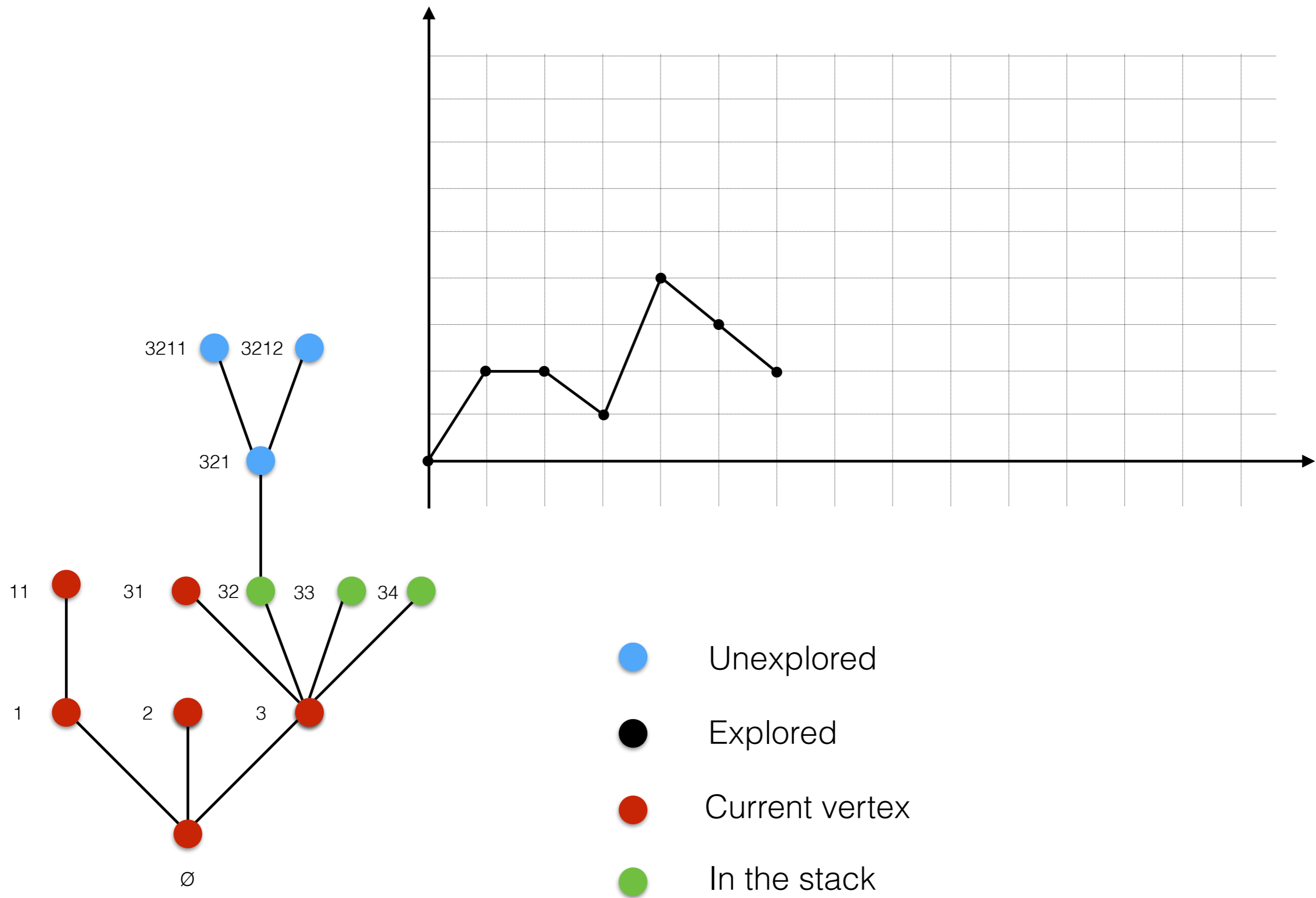




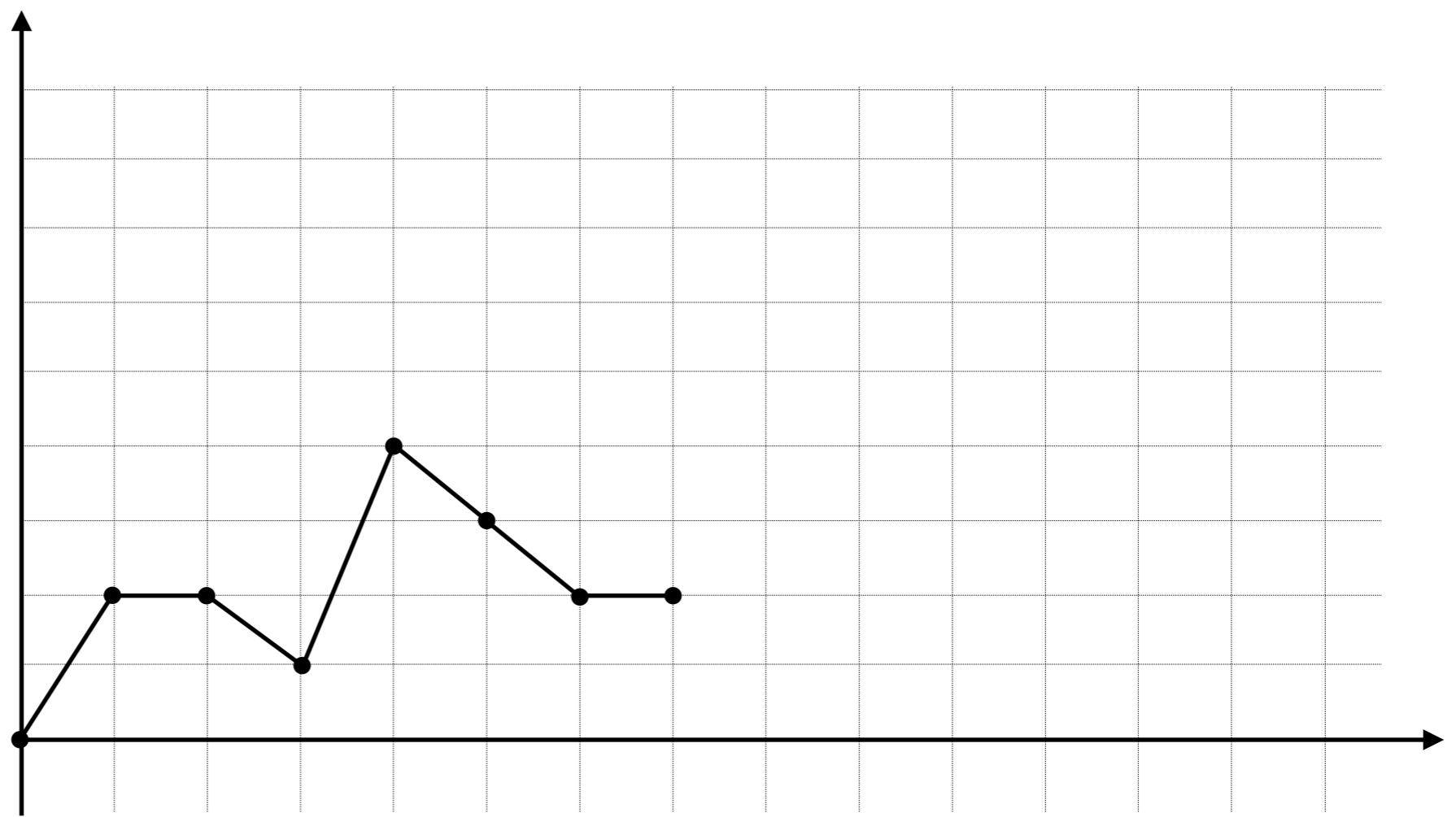
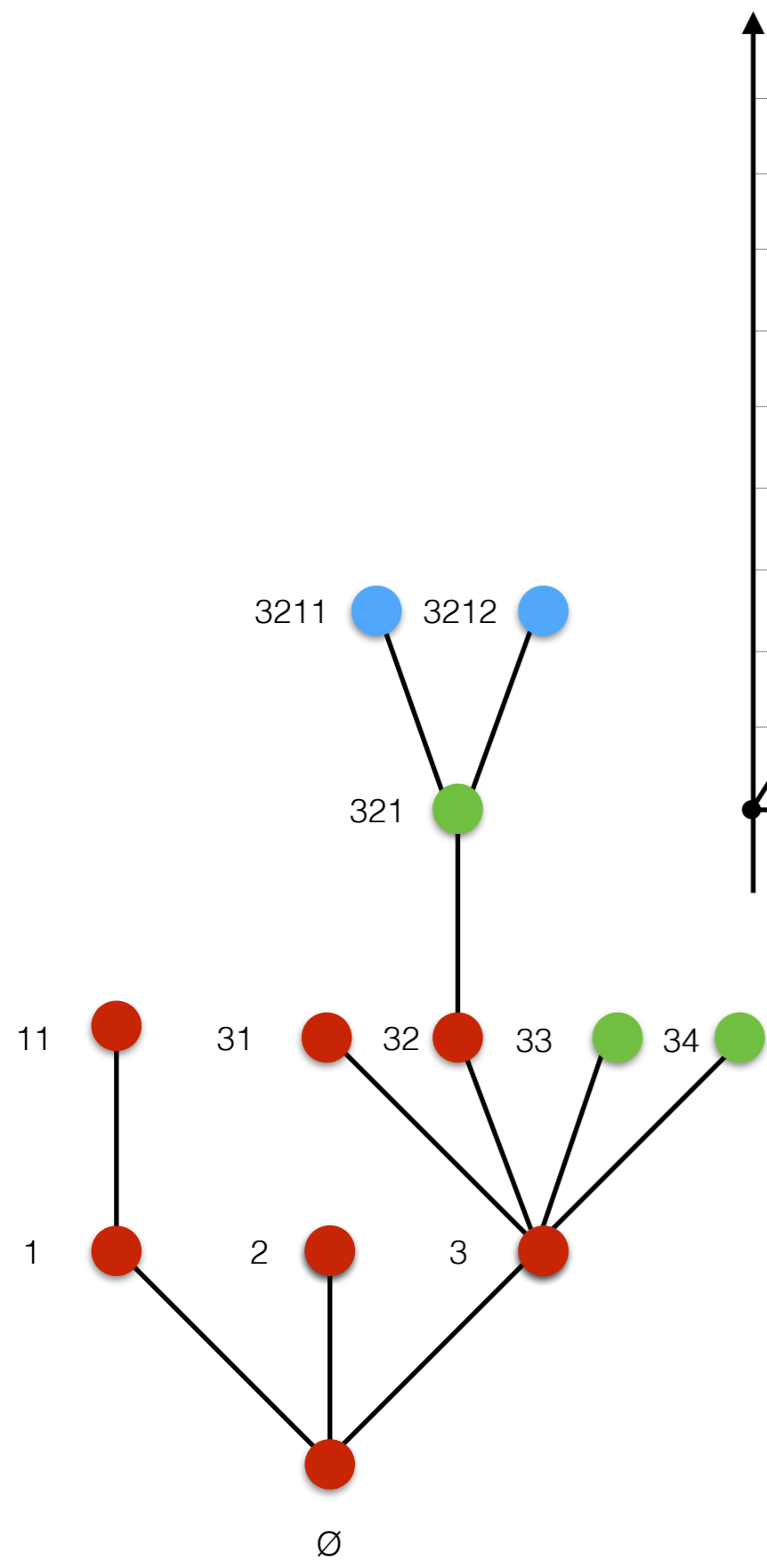




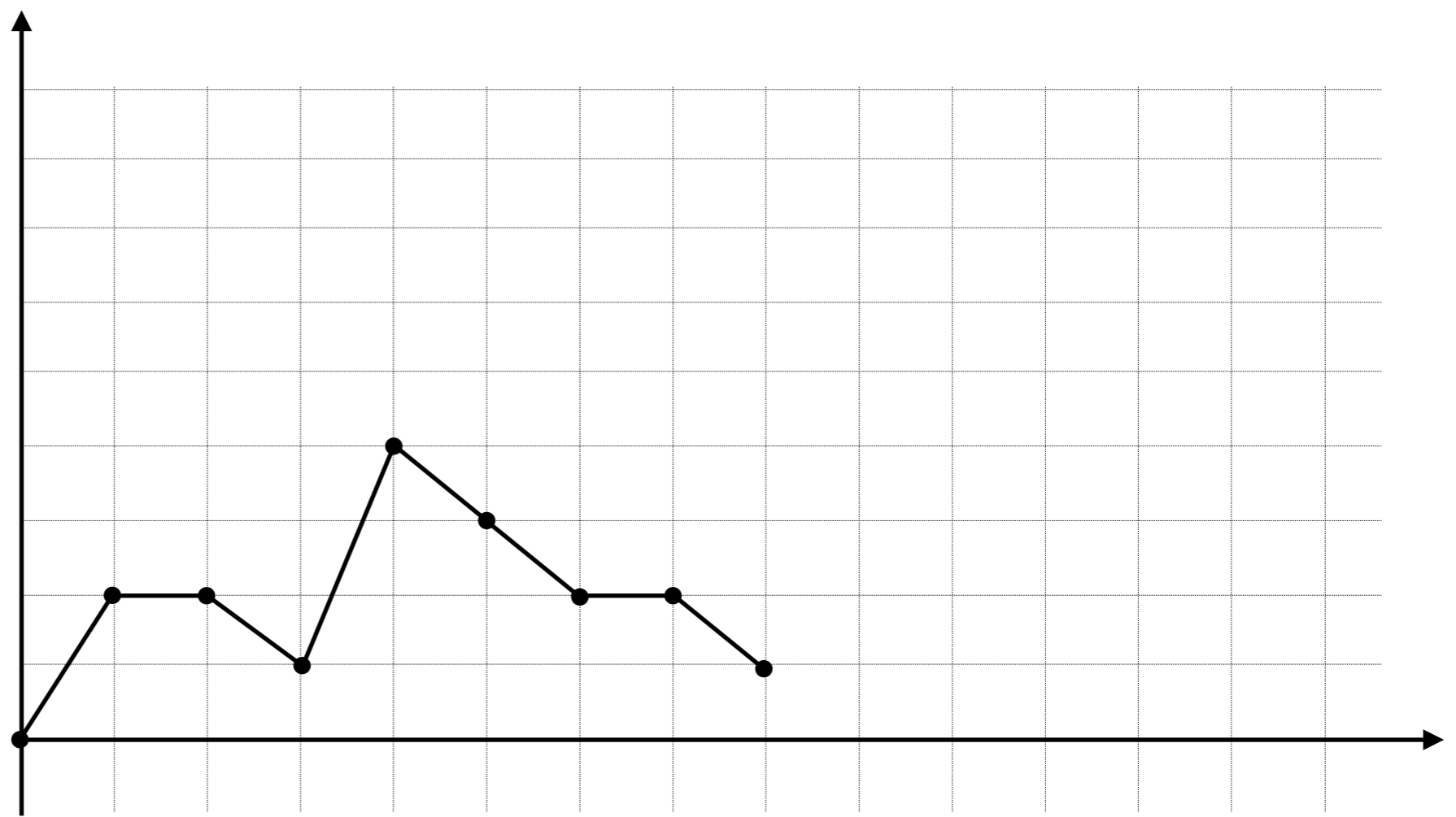
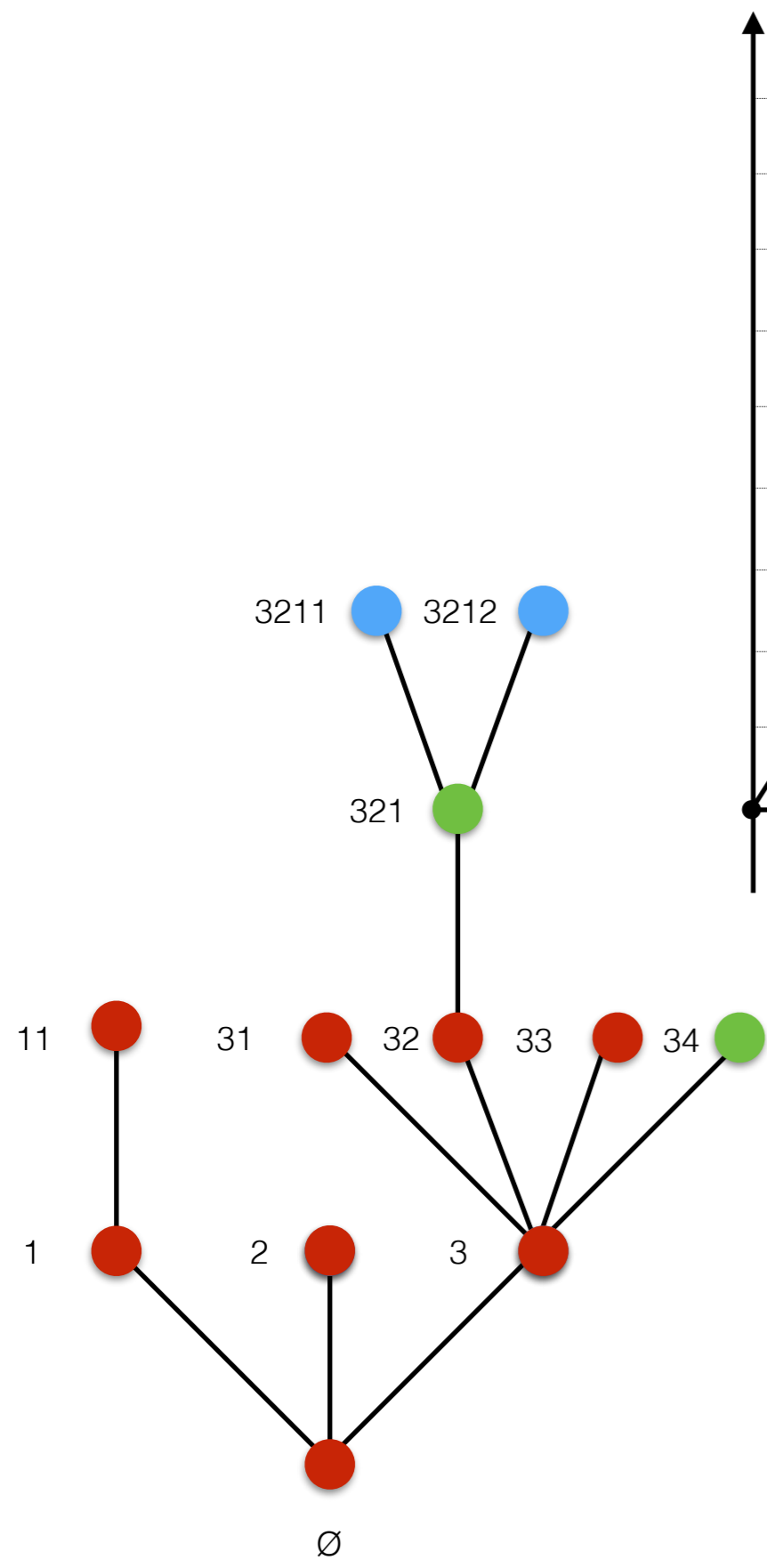




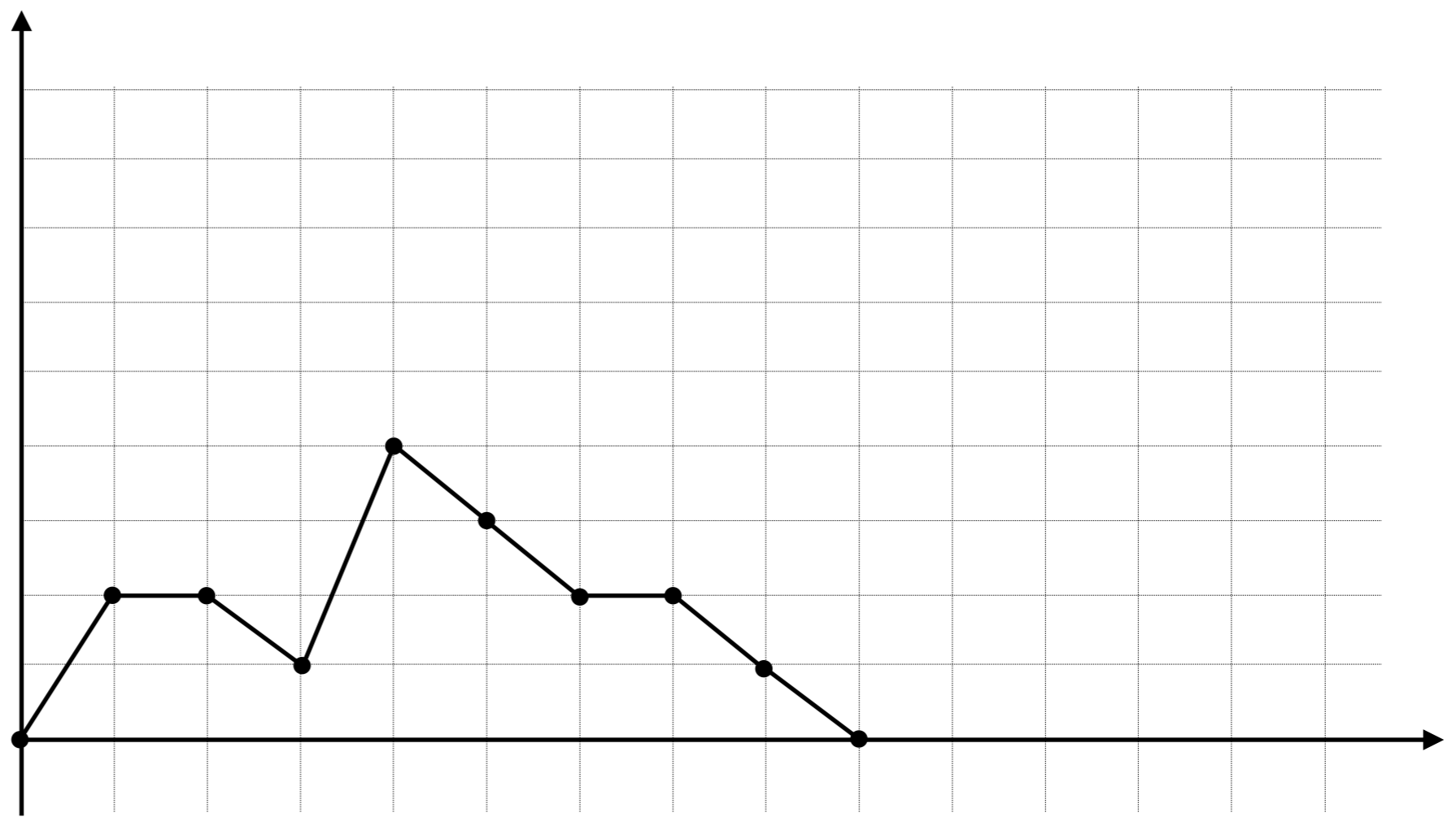
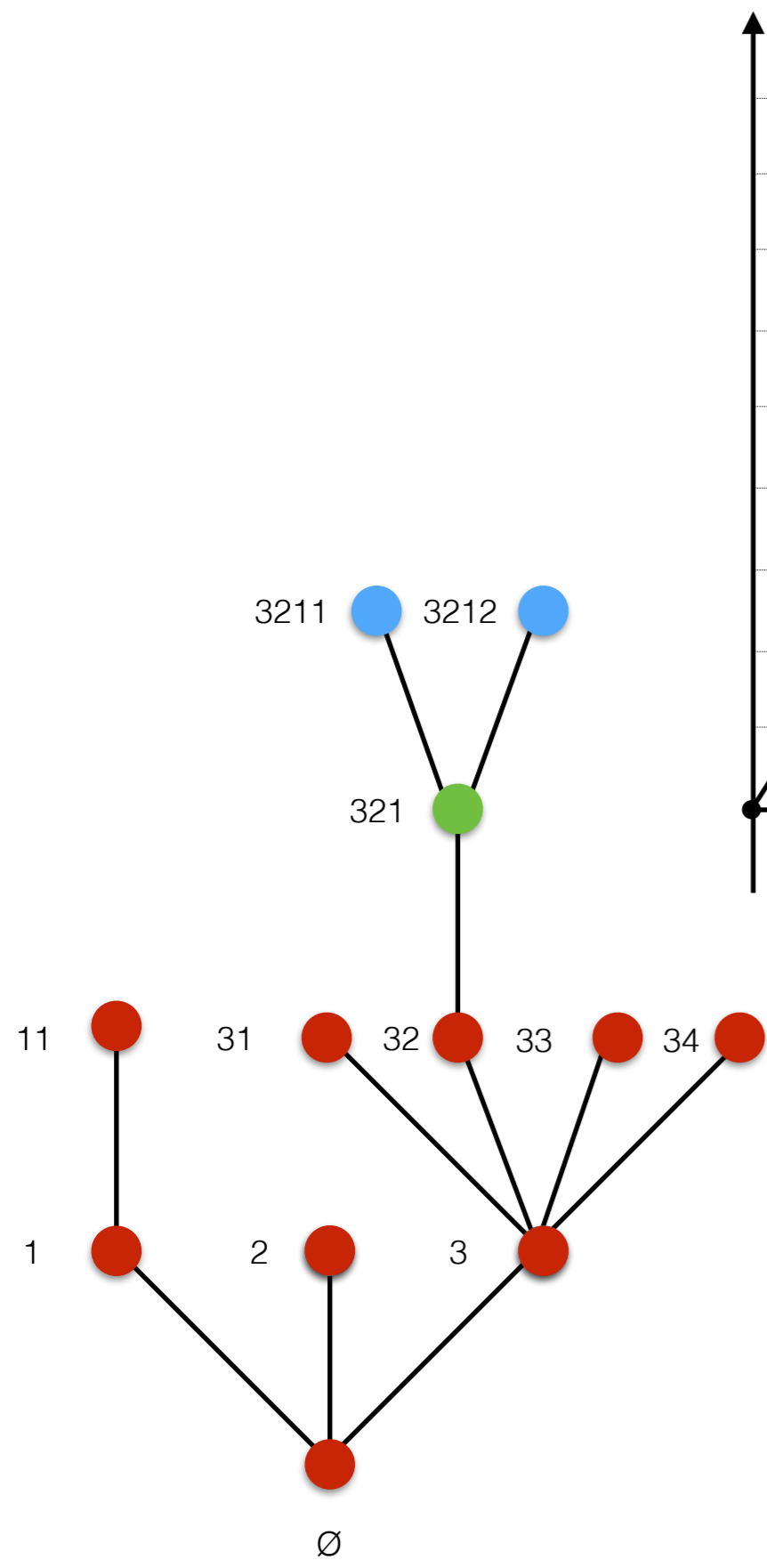
- Unexplored
- Explored
- Current vertex
- In the stack



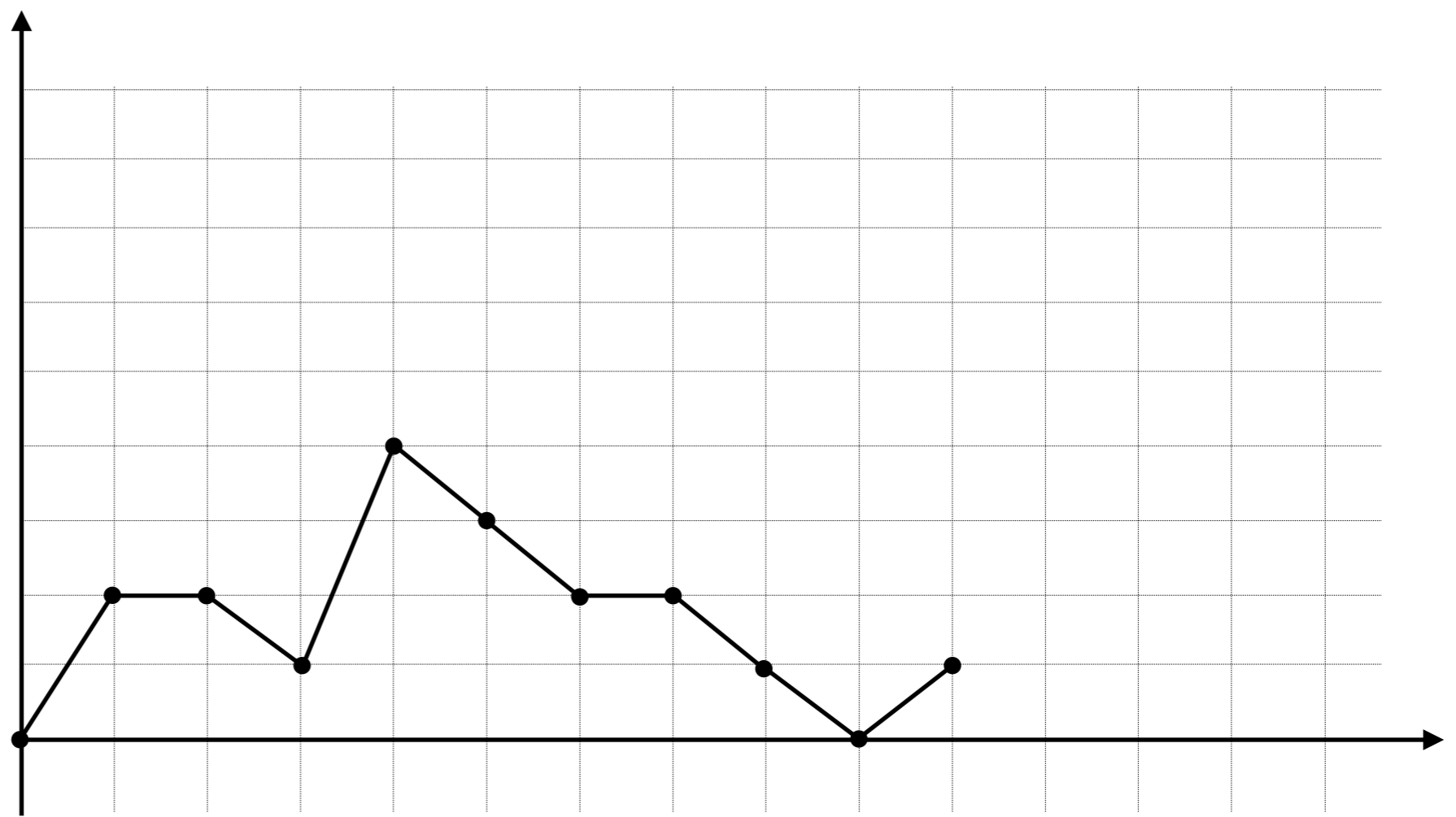
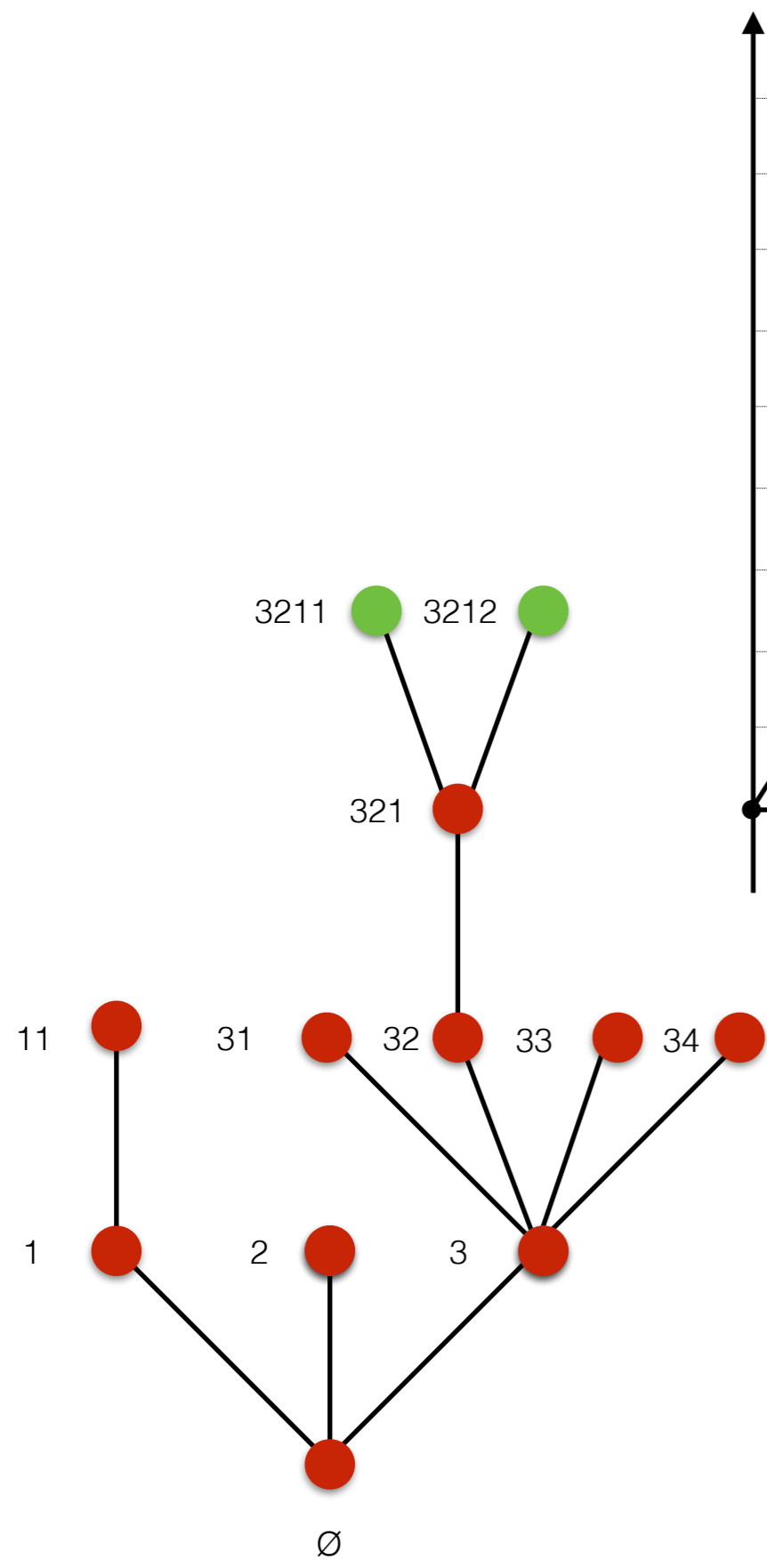
- Unexplored
- Explored
- Current vertex
- In the stack



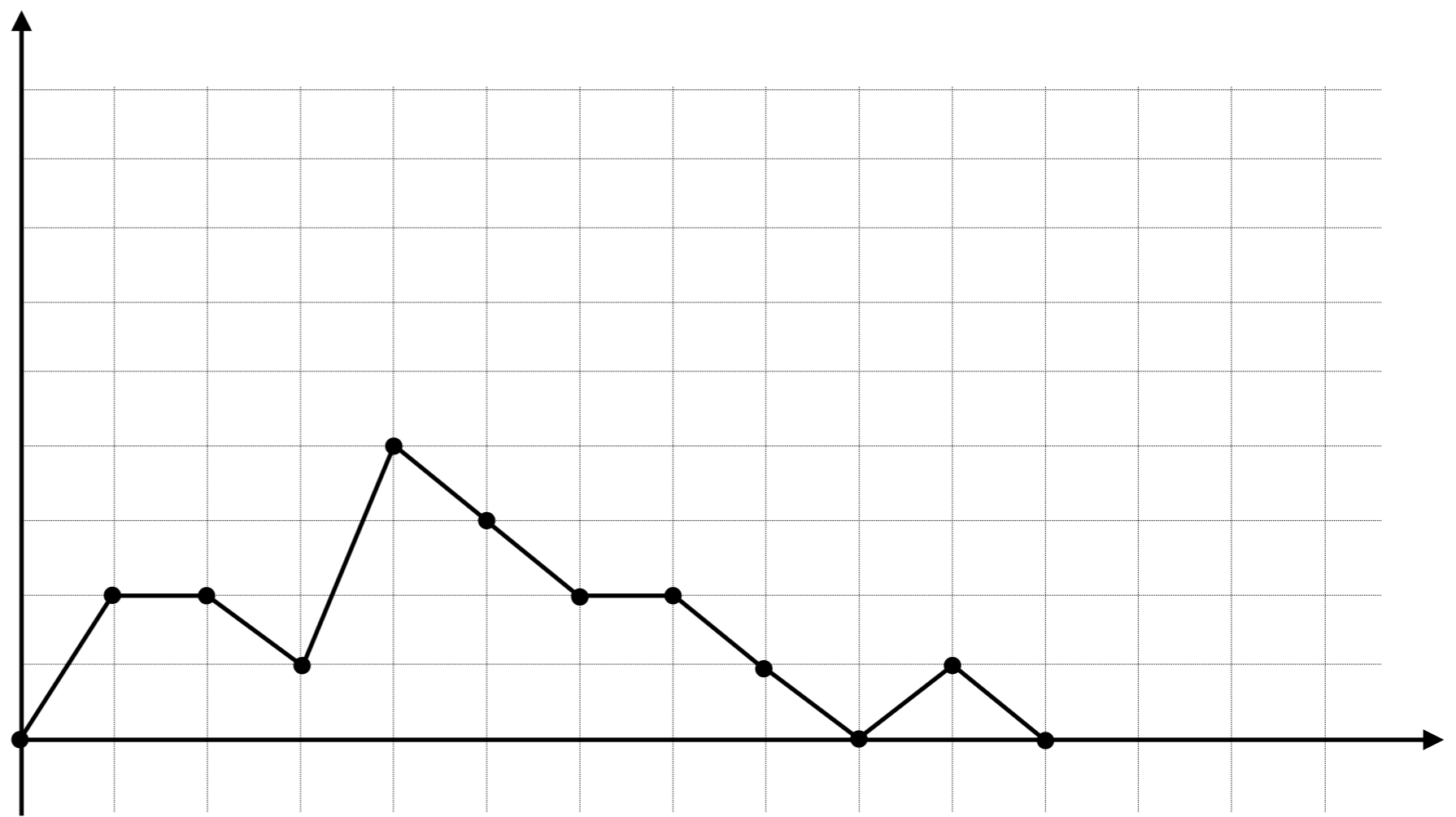
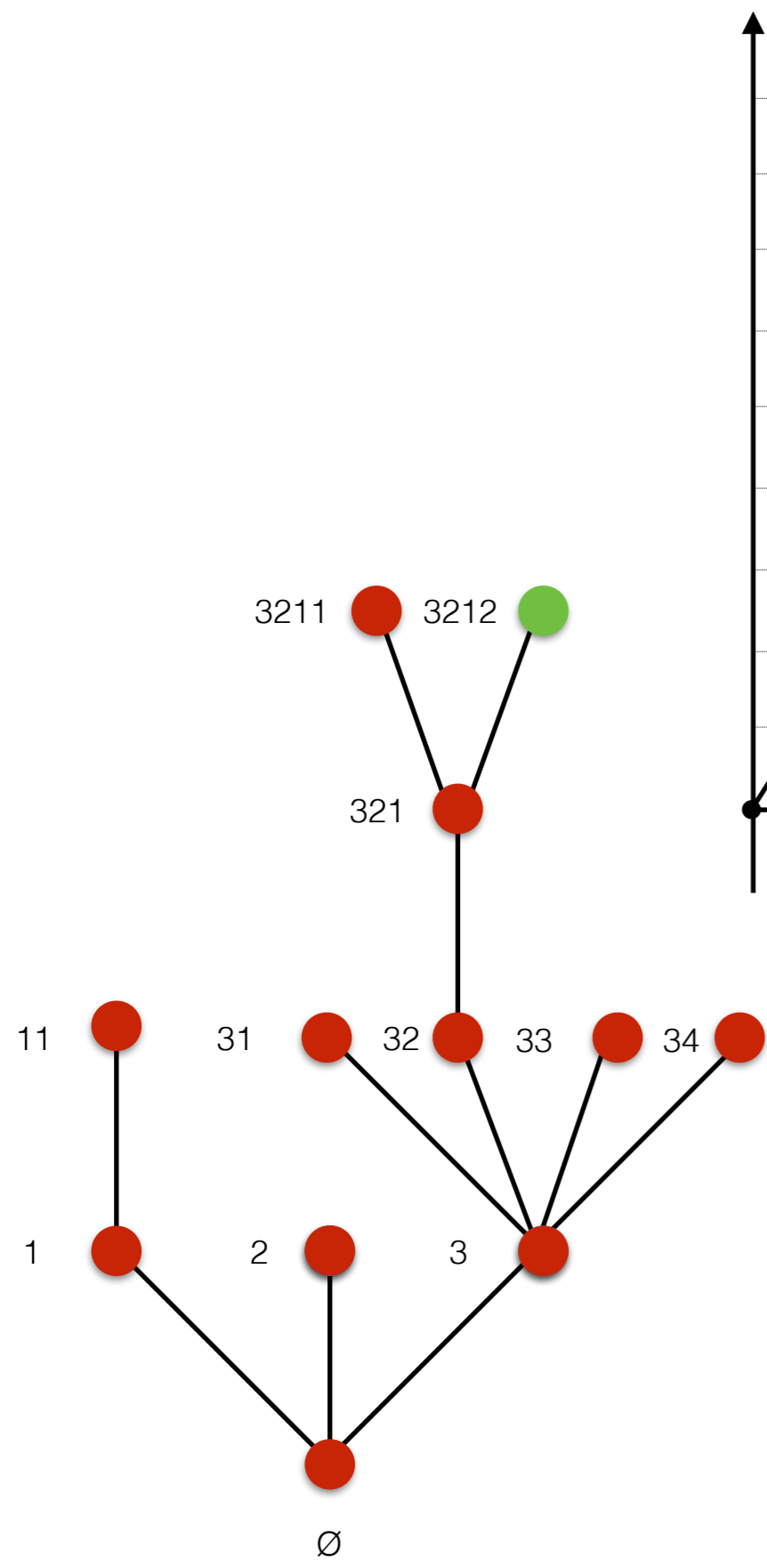
- Unexplored
- Explored
- Current vertex
- In the stack



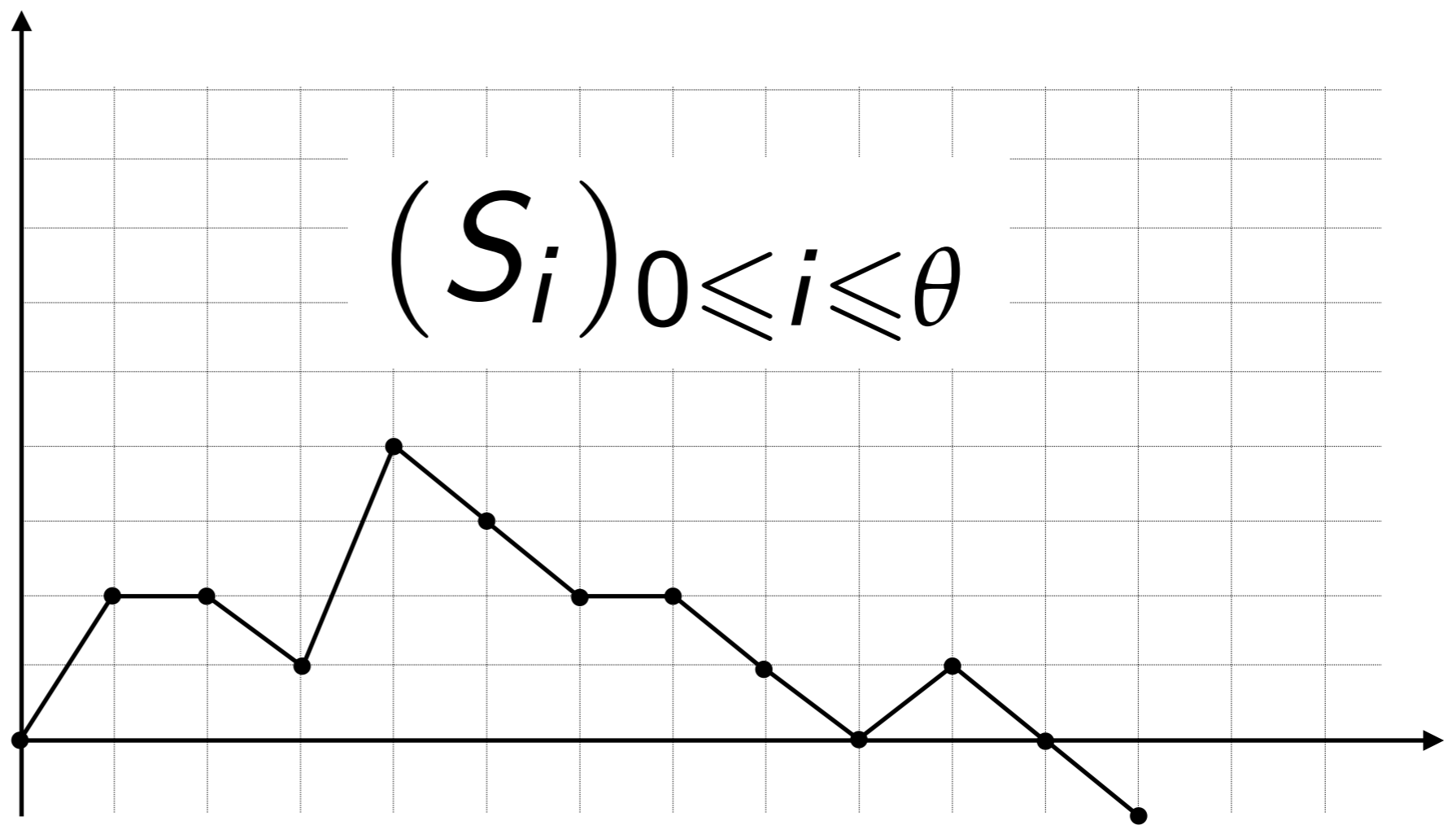
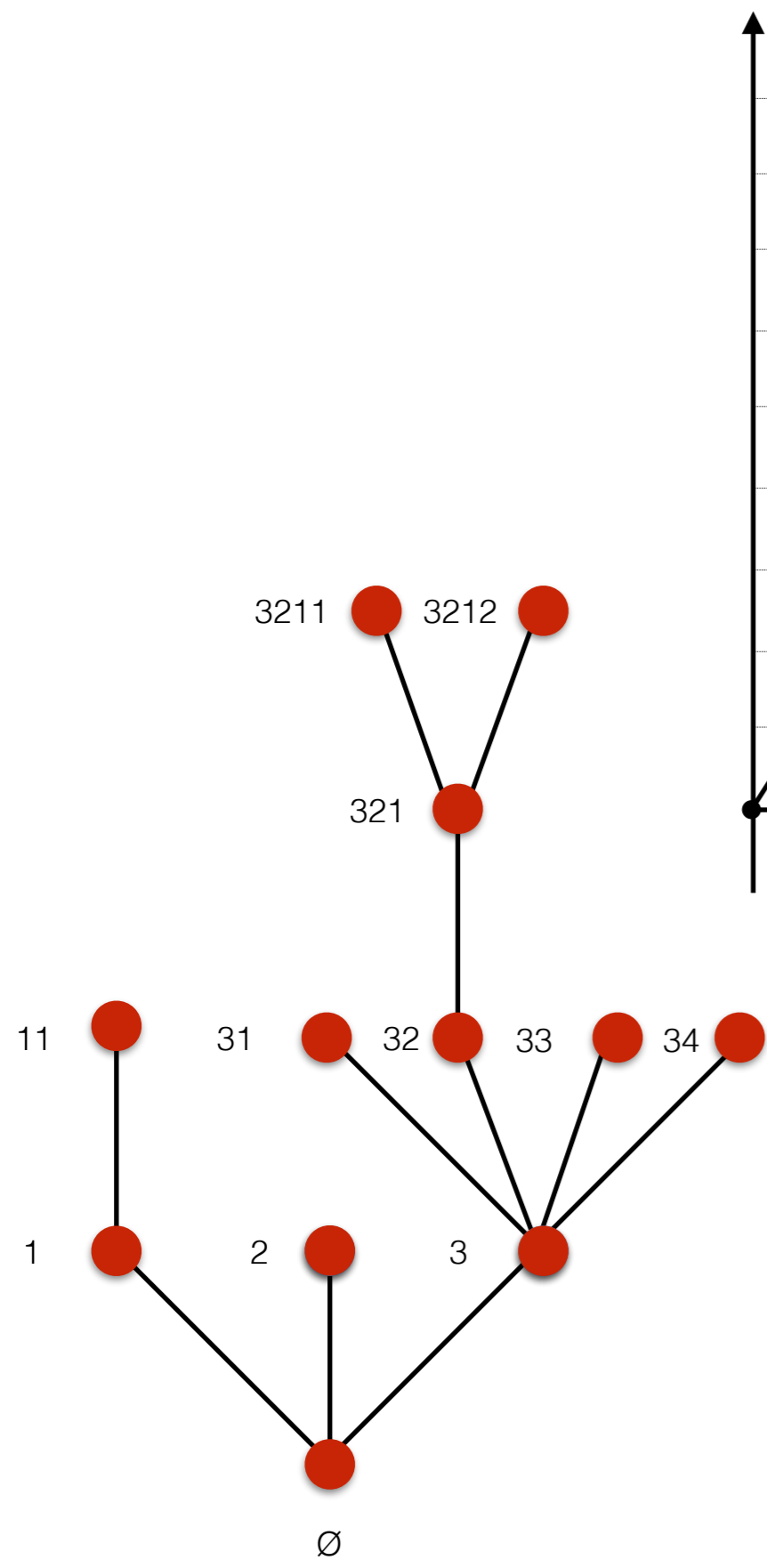
- Unexplored
- Explored
- Current vertex
- In the stack



- Unexplored
- Explored
- Current vertex
- In the stack



- Unexplored
- Explored
- Current vertex
- In the stack



- Unexplored
- Explored
- Current vertex
- In the stack

Des arbres augmentés



Les looptrees

Si τ est un arbre plan alors $\text{Loop}(\tau)$ est son looptree :

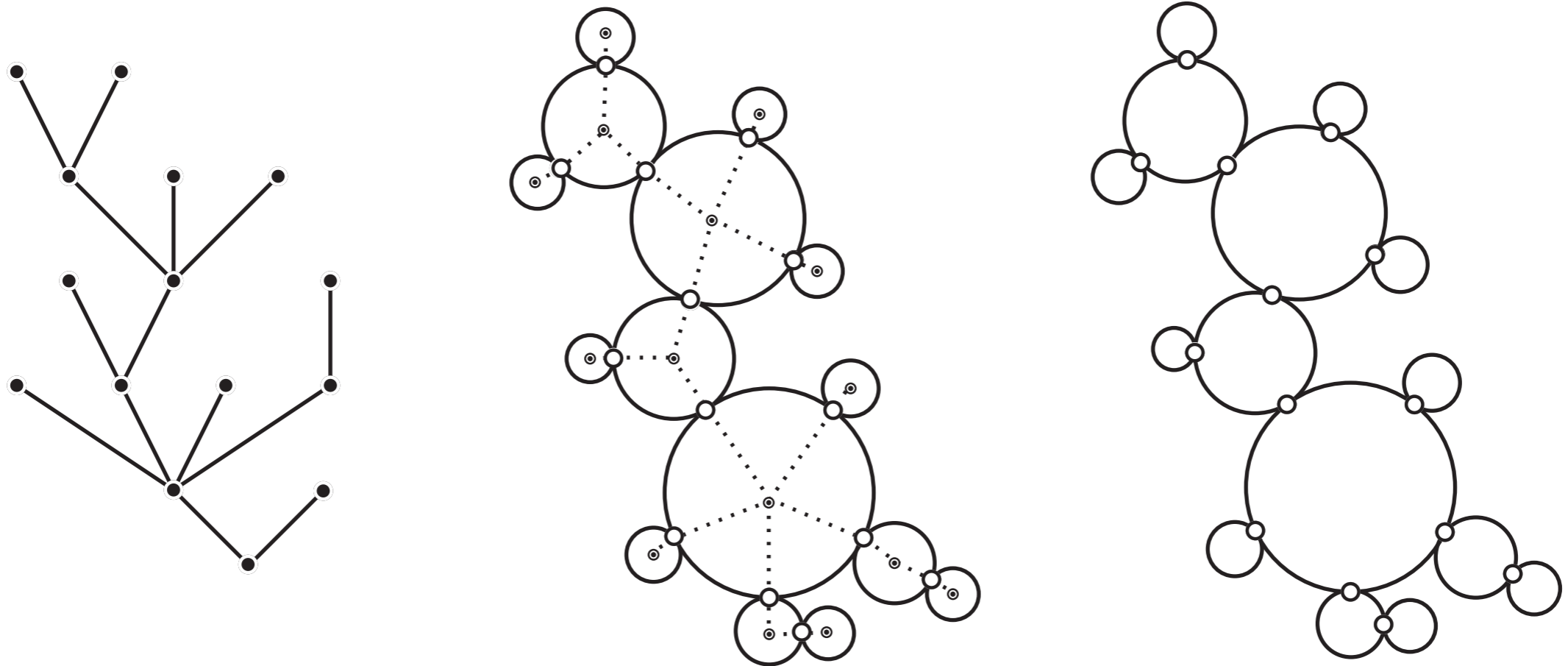
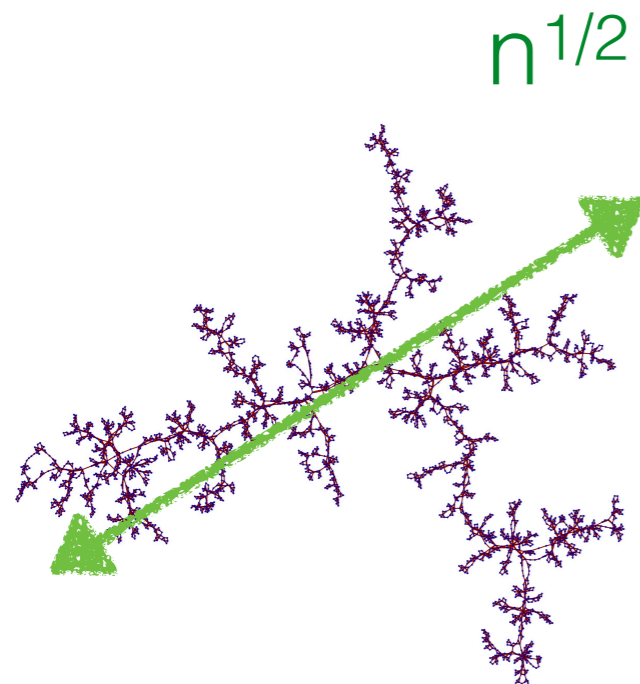


Figure – Un arbre et son looptree

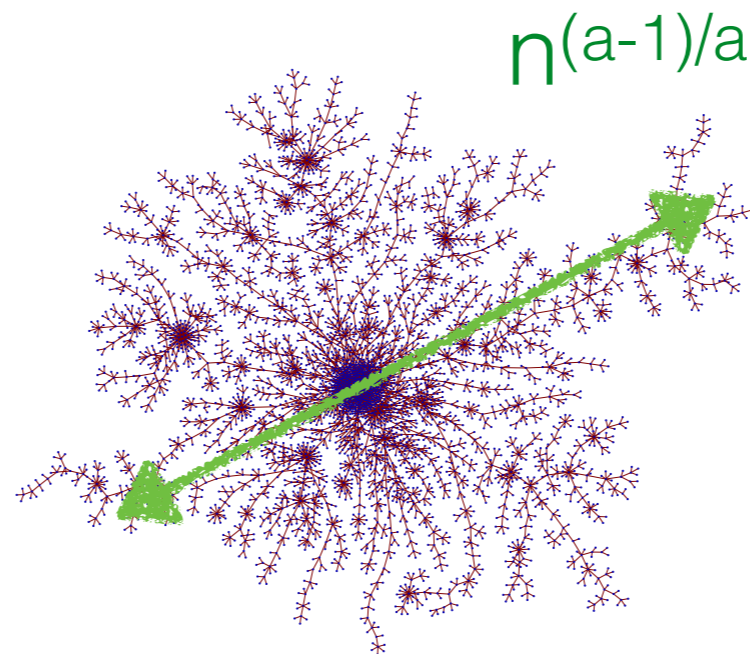


Encore des dessins (2)

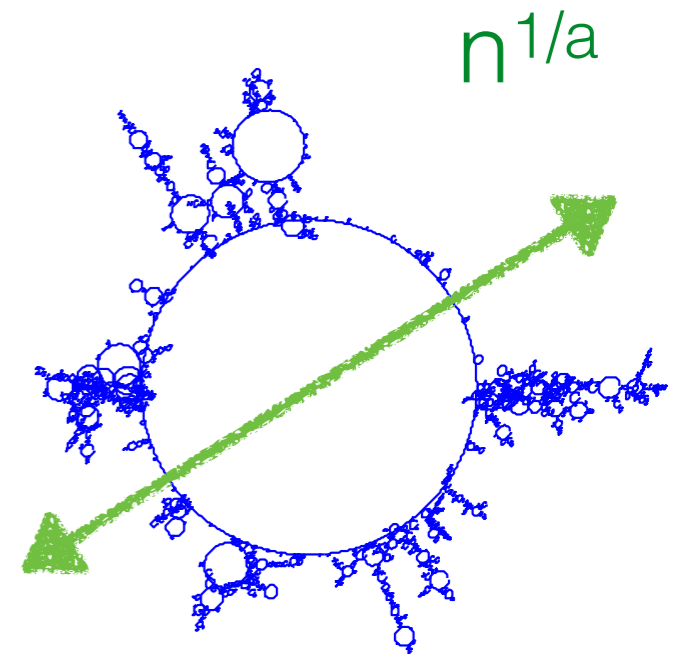
Ici aussi, des comportements géométriques très différents en fonction de a :



Cas où $a \geq 2$
→ Arbre Brownien

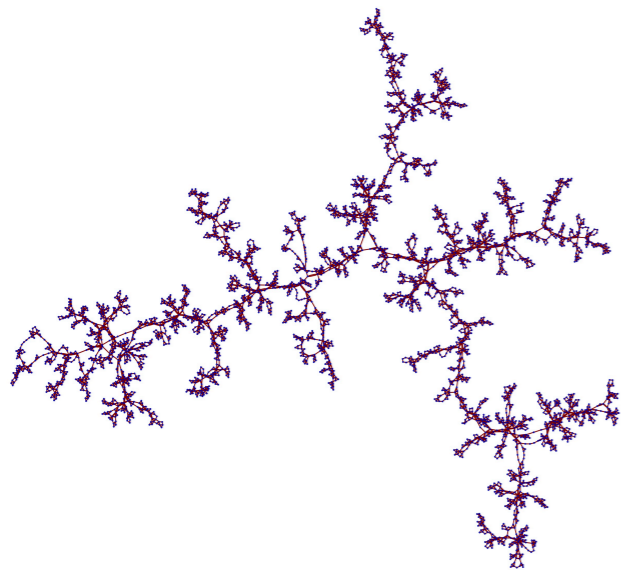


Cas où $a \in (1, 2)$
Looptrees a -stable (C., Kortchemski).

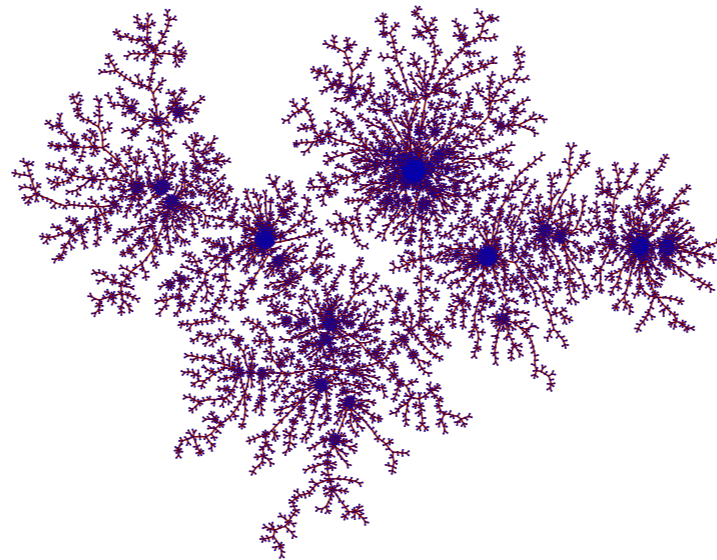


Encore des dessins (2)

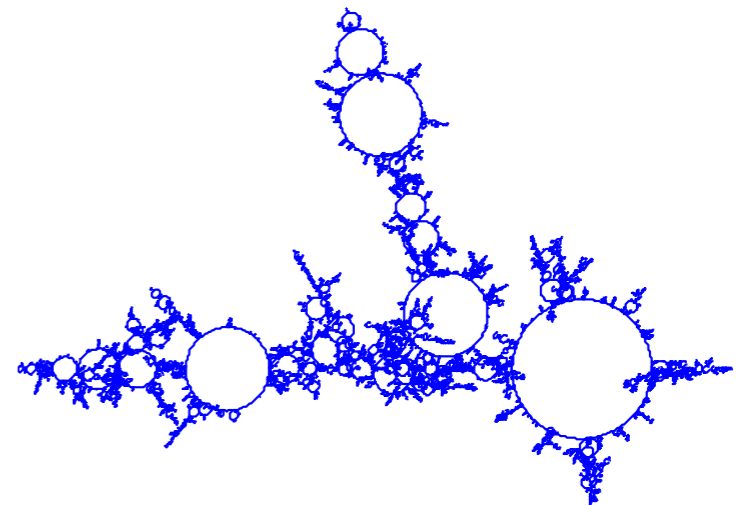
Ici aussi, des comportements géométriques très différents en fonction de a :



Cas où $a \geq 2$
→ Arbre Brownien

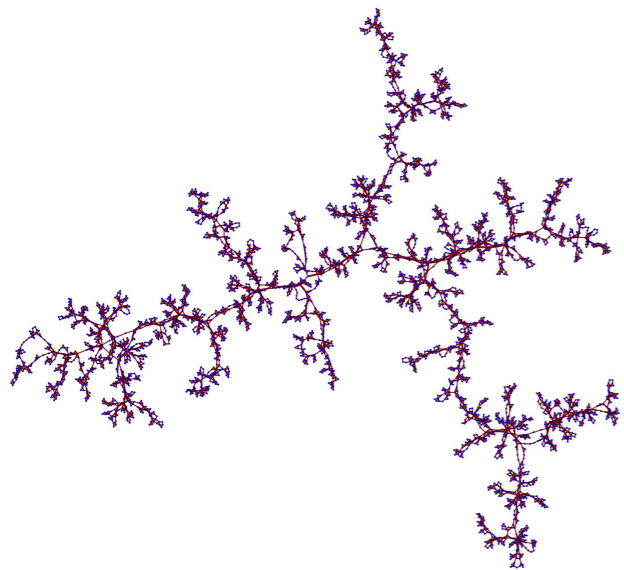


Cas où $a \in (1, 2)$
Looptrees a -stable (C., Kortchemski).

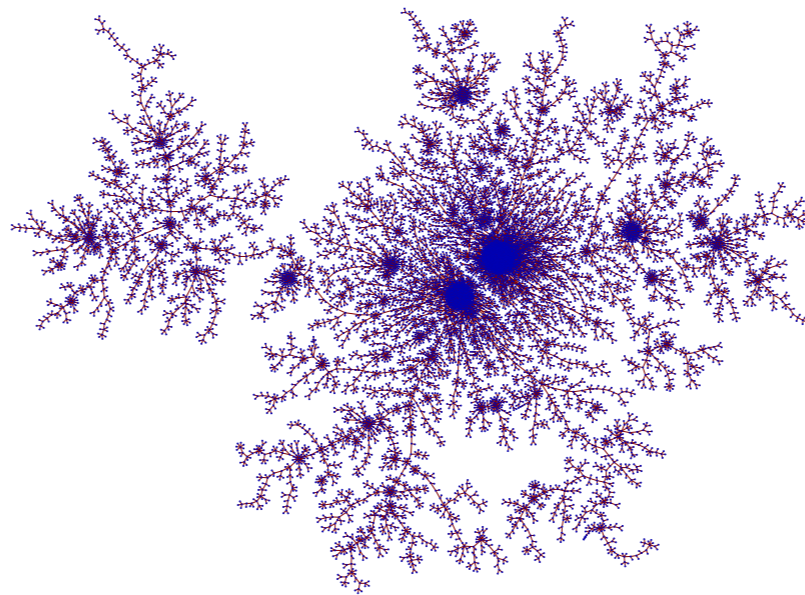


Encore des dessins (2)

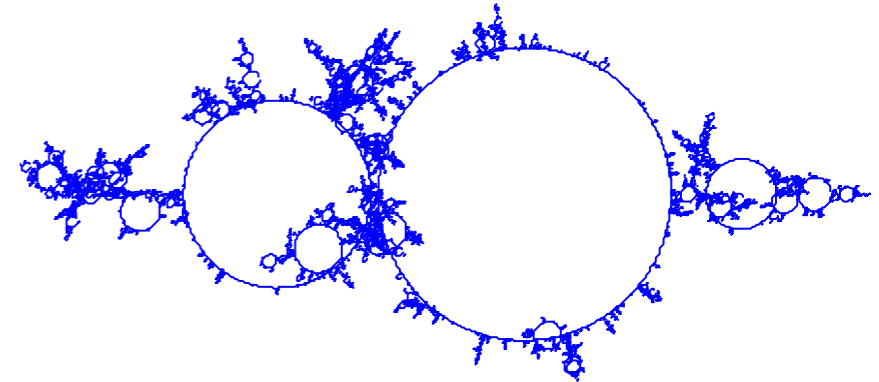
Ici aussi, des comportements géométriques très différents en fonction de a :



Cas où $a \geq 2$
→ Arbre Brownien

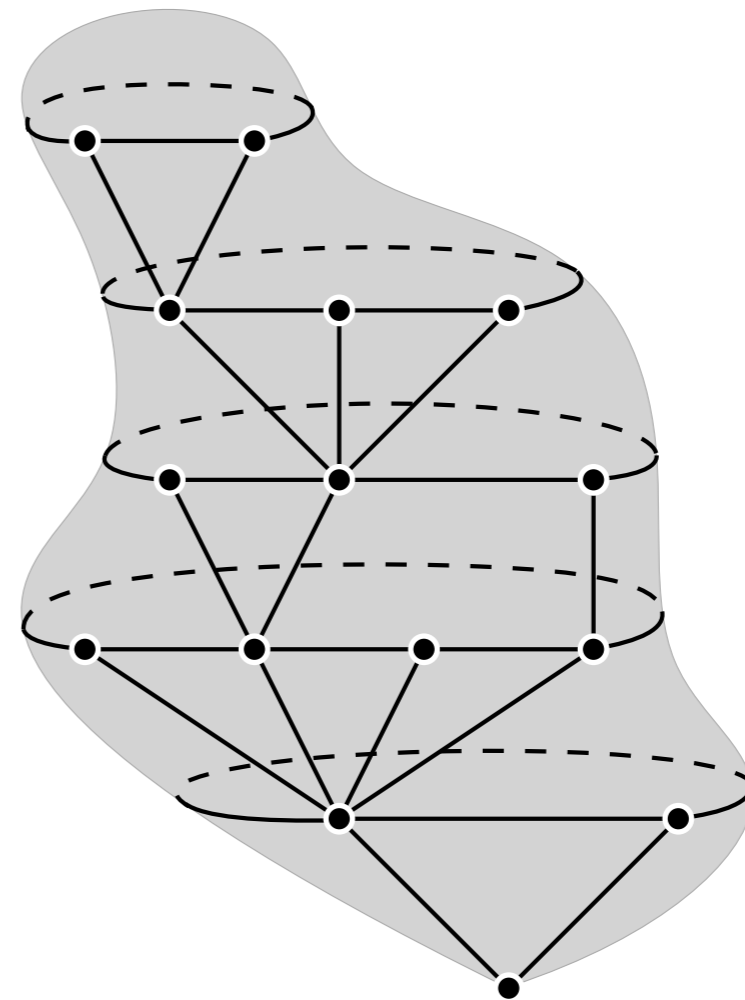
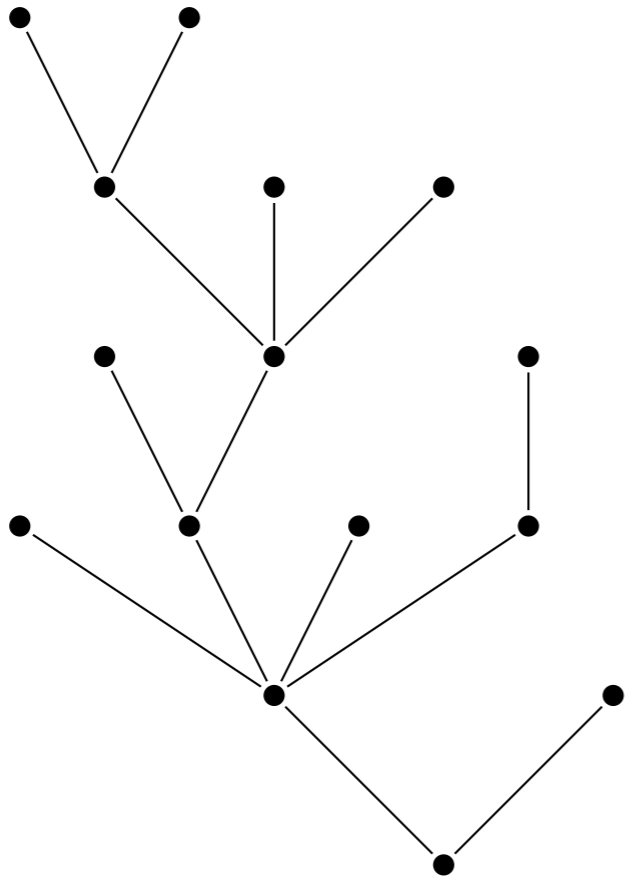


Cas où $a \in (1, 2)$
Looptrees a -stable (C., Kortchemski).



Les cartes causales

Si τ est un arbre plan on note $\text{Causal}(\tau)$ le graphe formé par l'ajout des connexions horizontales :



Encore des dessins (3)

On commence par $a \geq 2$

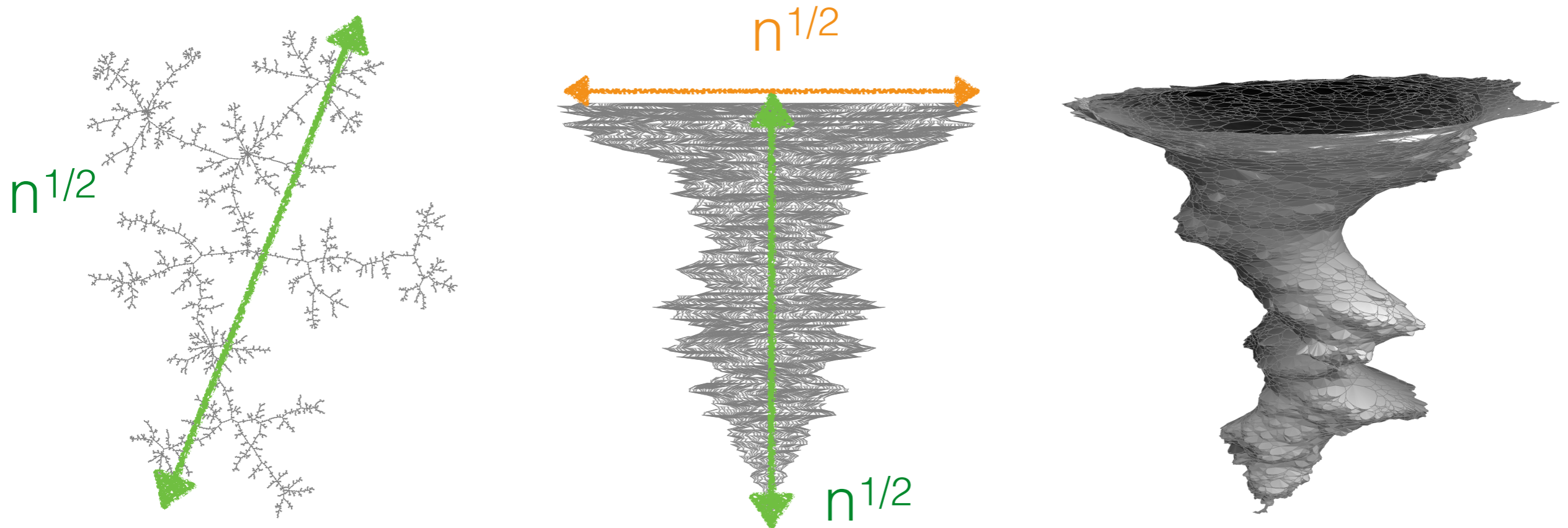


Figure – Un grand arbre (tronqué), la représentation en hauteur et la géométrie causale associée



Encore des dessins (3)

Ici $a = 1.8$

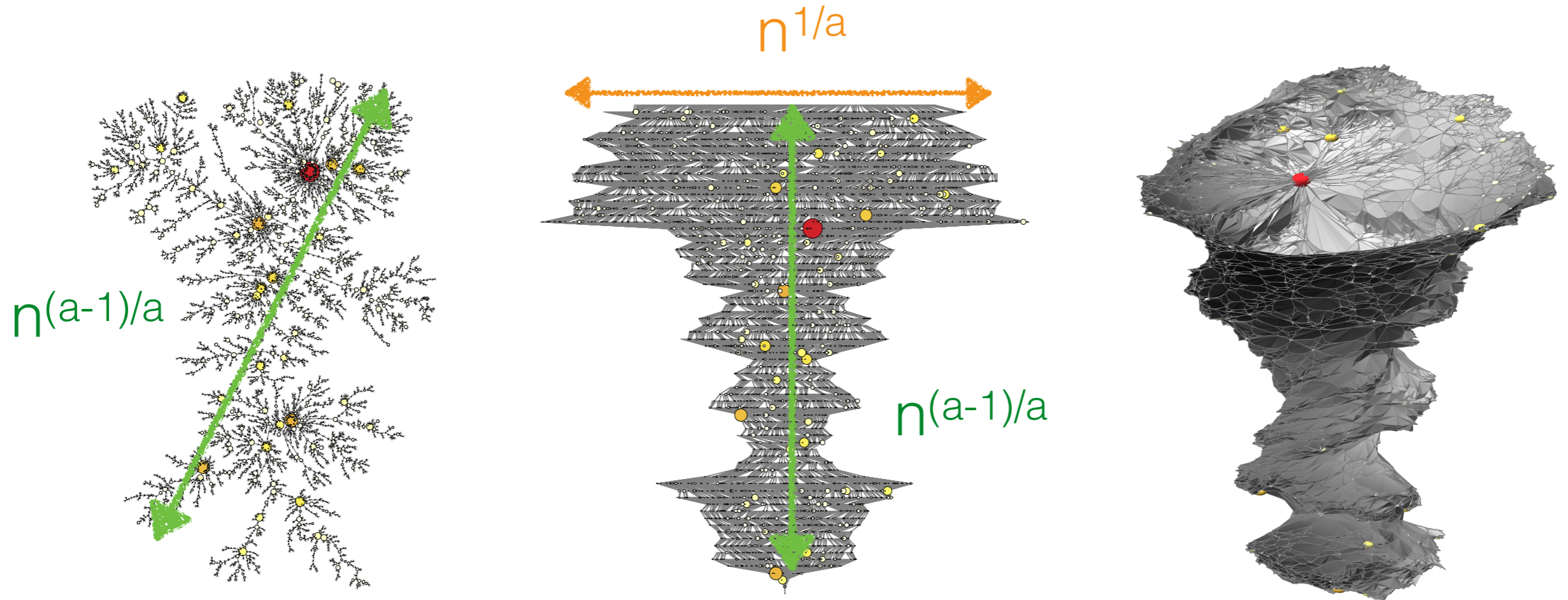


Figure – Un grand arbre (tronqué), la représentation en hauteur et la géométrie causale associée



Encore des dessins (3)

Maintenant $a = 1.7$

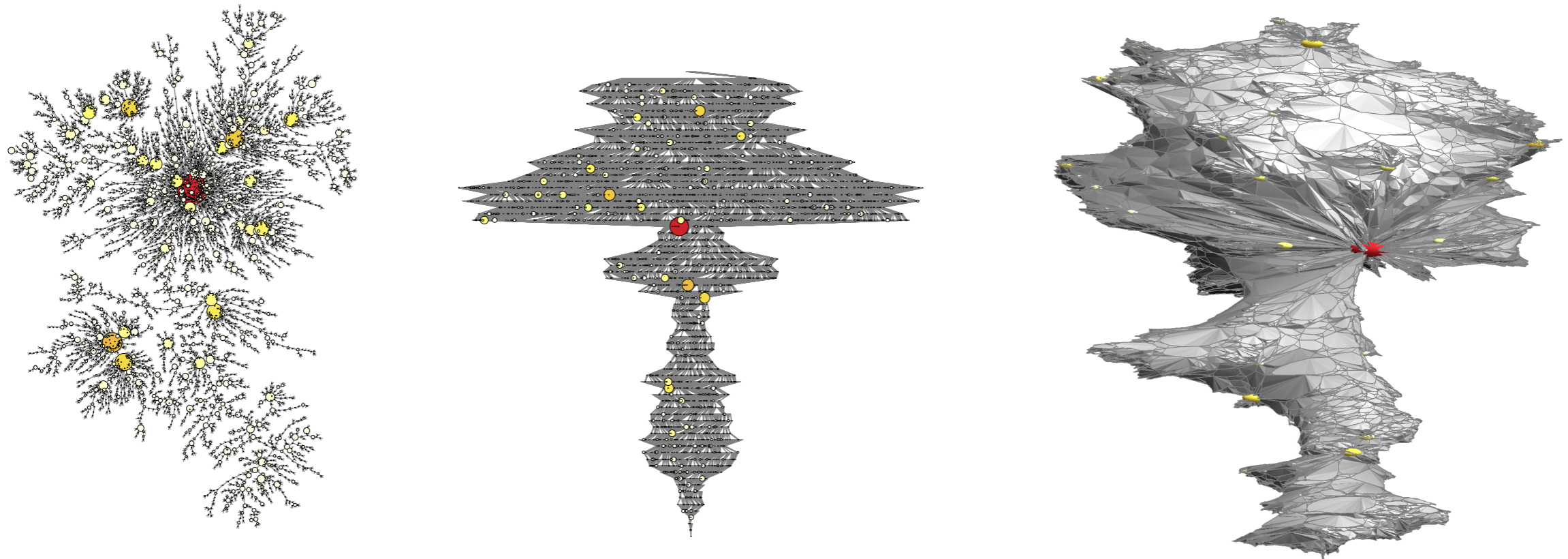


Figure – Un grand arbre (tronqué), la représentation en hauteur et la géométrie causale associée



Encore des dessins (3)

On descend encore : $a = 1.6$

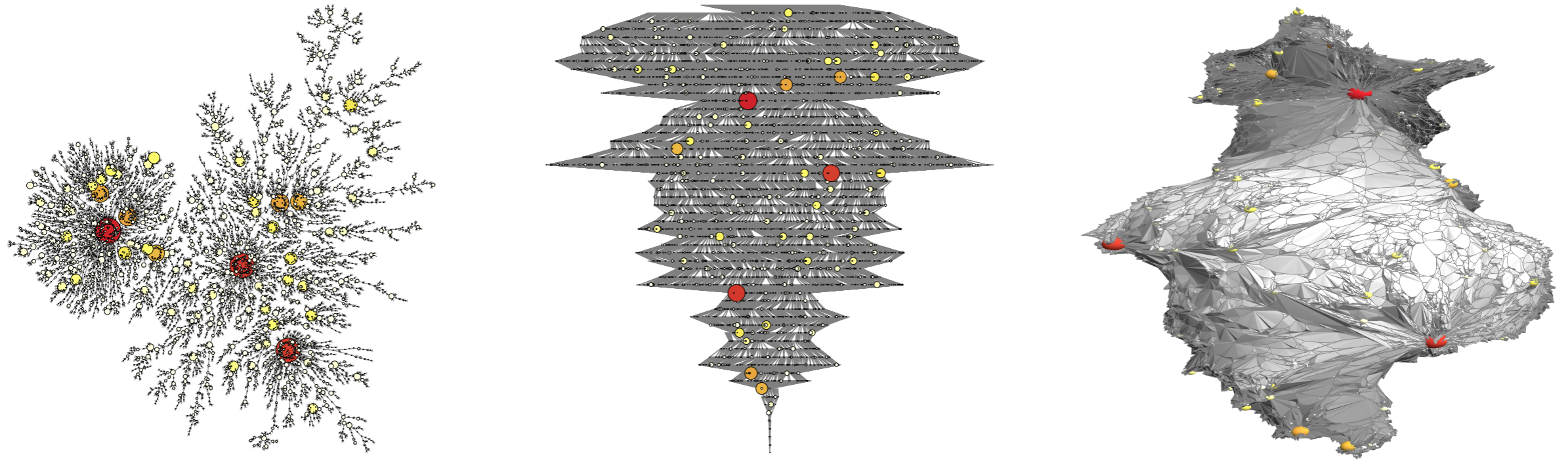


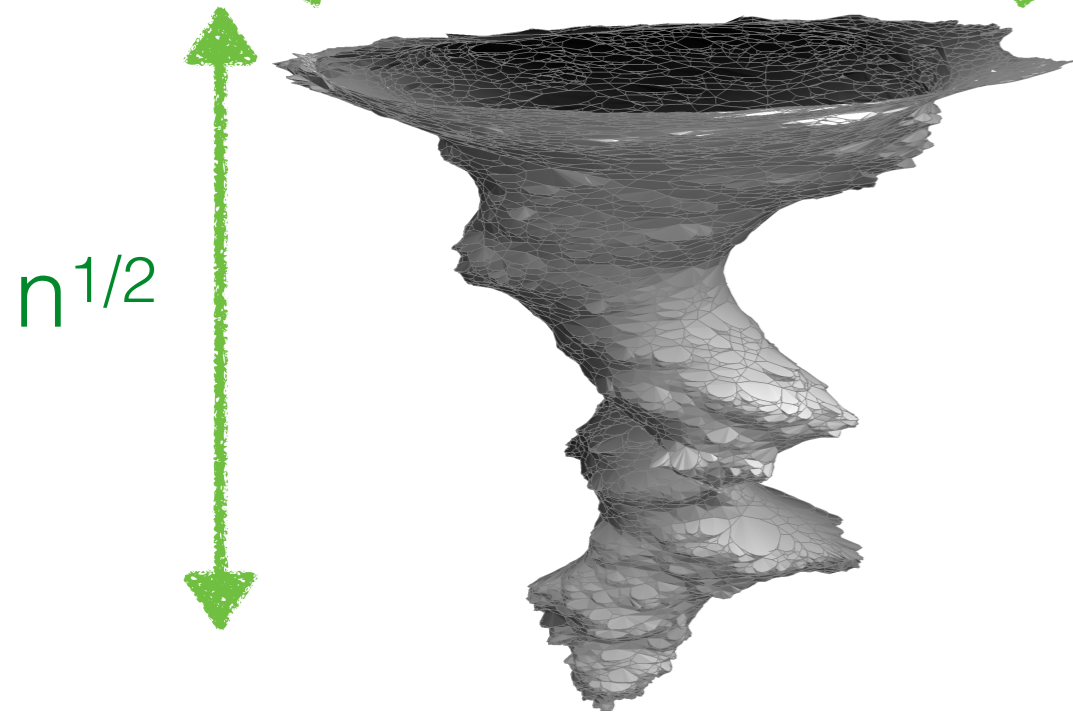
Figure – Un grand arbre (tronqué), la représentation en hauteur et la géométrie causale associée



Limite d'échelle de cartes causales

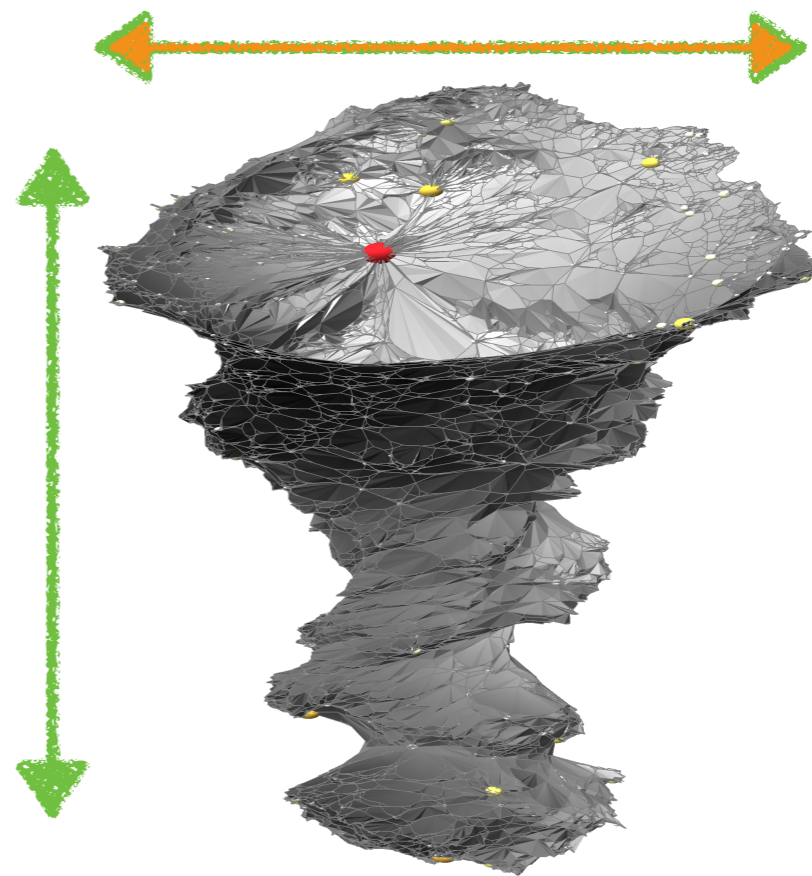
Theorem (C., Hutchcroft, Nachmias)

$$a \geq 2$$



$$n^{1/2}$$

$$a \in (1, 2)$$



$$n^{(a-1)/a}$$

$$n^{(2-a)/a}$$

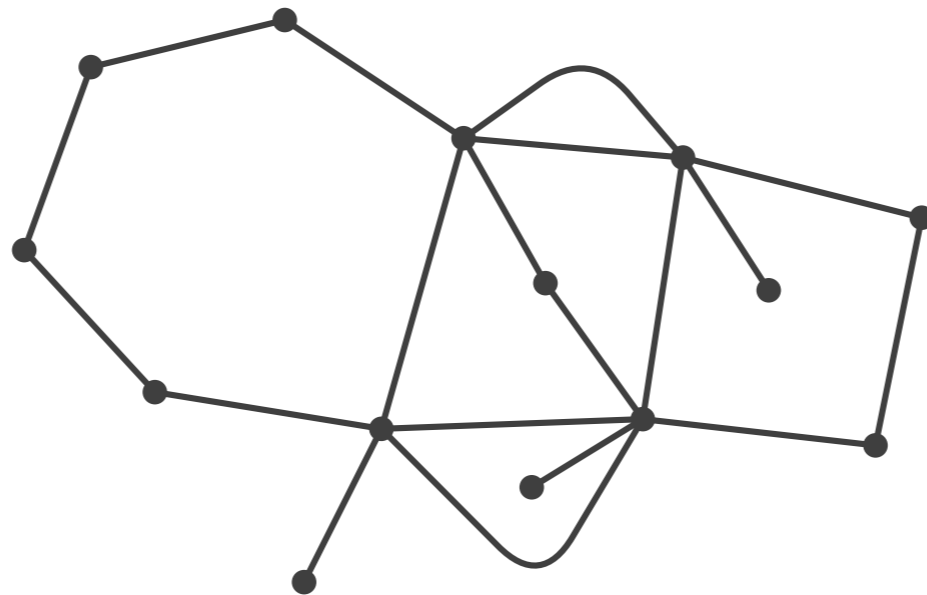
1705

Cartes planaires aléatoires



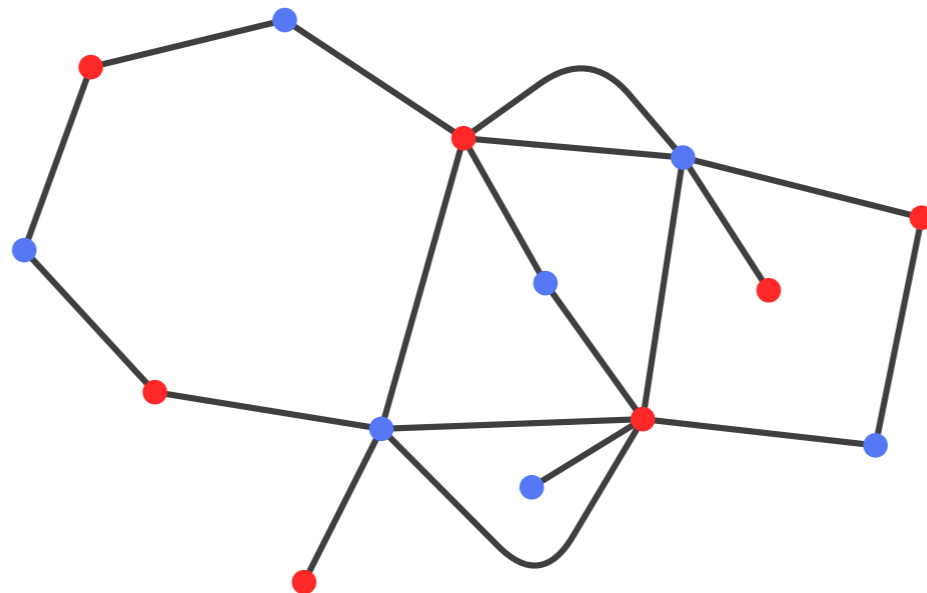
Boltzmann planar maps

Carte planaire = graphe planaire dessiné sur le plan.



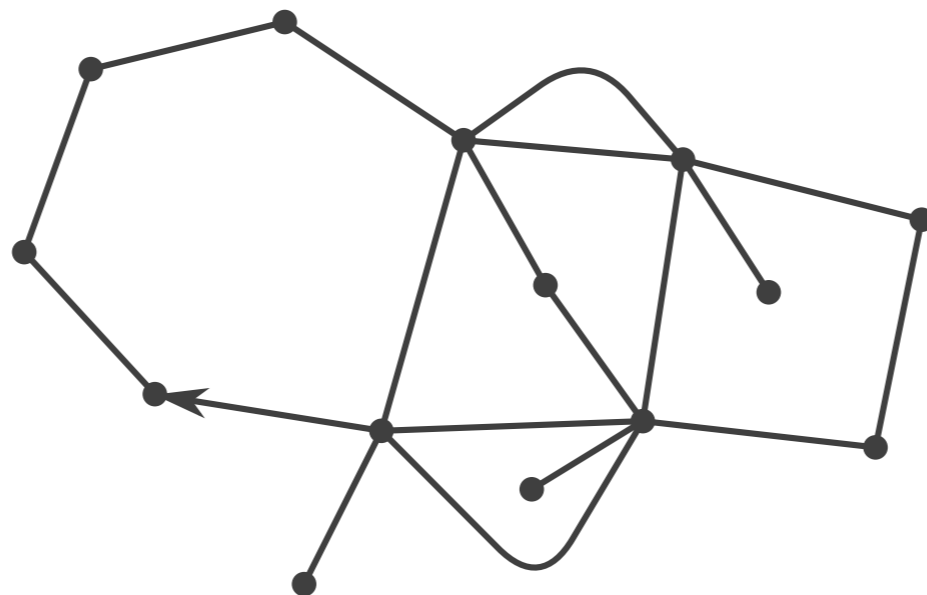
Boltzmann planar maps

Carte planaire = graphe planaire dessiné sur le plan. On se contente ici des cartes biparties (faces de degrés pairs) et enracinées.



Boltzmann planar maps

Carte planaire = graphe planaire dessiné sur le plan. On se contente ici des cartes biparties (faces de degrés pairs) et enracinées.



Boltzmann planar maps

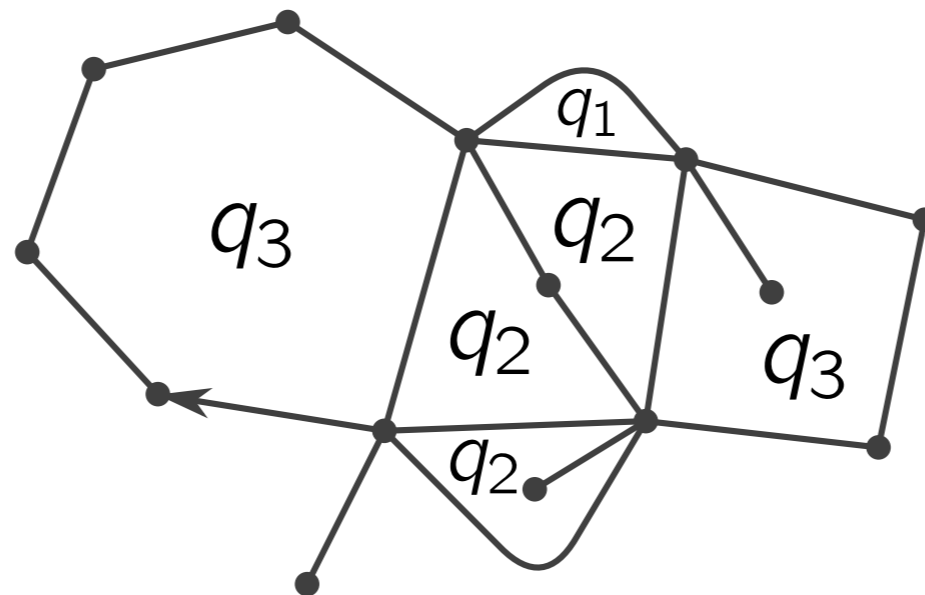
Carte planaire = graphe planaire dessiné sur le plan. On se contente ici des cartes biparties (faces de degrés pairs) et enracinées.

Si $\mathbf{q} = (q_1, q_2, \dots)$ est une suite de poids tels que

$$q_k \sim c \cdot k^{-a-\frac{1}{2}}, \quad a > 1$$

suivant Marckert & Miermont on crée une mesure sur l'ensemble des cartes (planaires biparties finies) en posant

$$w_{\mathbf{q}}(\mathfrak{m}) = \prod_{f \in \text{Faces}(\mathfrak{m})} q_{\deg(f)/2}$$



Boltzmann planar maps

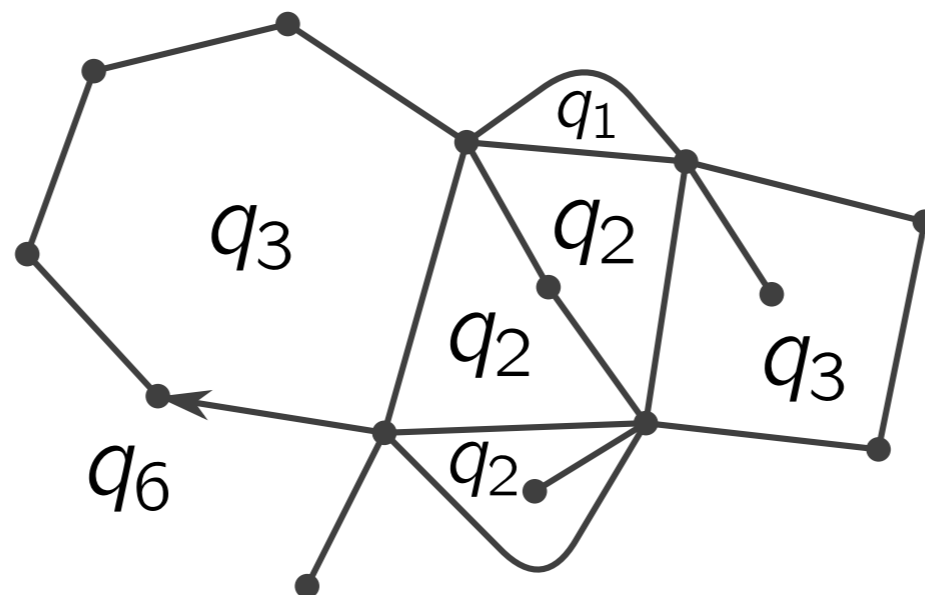
Carte planaire = graphe planaire dessiné sur le plan. On se contente ici des cartes biparties (faces de degrés pairs) et enracinées.

Si $\mathbf{q} = (q_1, q_2, \dots)$ est une suite de poids tels que

$$q_k \sim c \cdot k^{-a-\frac{1}{2}}, \quad a > 1$$

suivant Marckert & Miermont on crée une mesure sur l'ensemble des cartes (planaires biparties finies) en posant

$$w_{\mathbf{q}}(\mathfrak{m}) = \prod_{f \in \text{Faces}(\mathfrak{m})} q_{\deg(f)/2}$$



Boltzmann planar maps

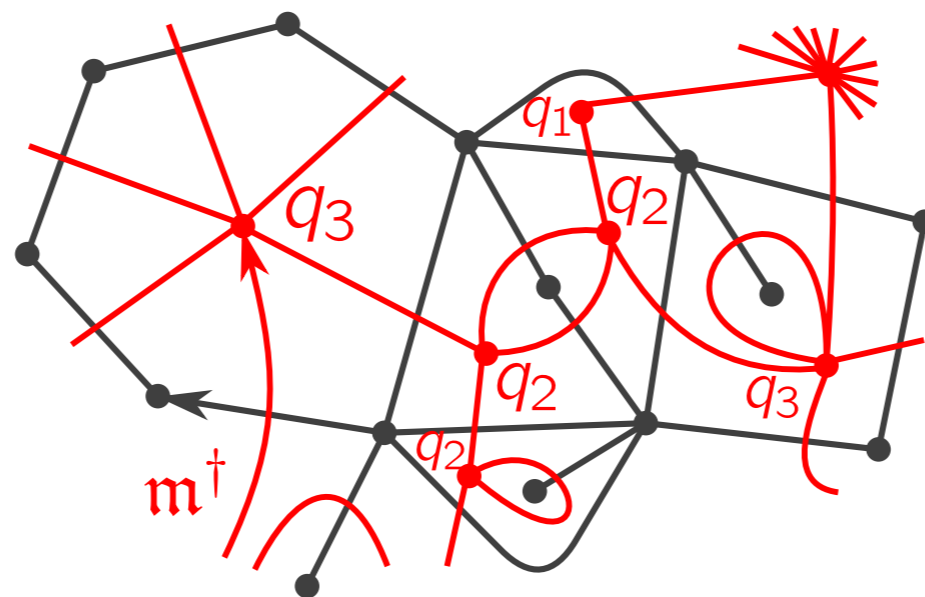
Carte planaire = graphe planaire dessiné sur le plan. On se contente ici des cartes biparties (faces de degrés pairs) et enracinées.

Si $\mathbf{q} = (q_1, q_2, \dots)$ est une suite de poids tels que

$$q_k \sim c \cdot k^{-a-\frac{1}{2}}, \quad a > 1$$

suivant Marckert & Miermont on crée une mesure sur l'ensemble des cartes (planaires biparties finies) en posant

$$w_{\mathbf{q}}(\mathfrak{m}) = \prod_{f \in \text{Faces}(\mathfrak{m})} q_{\deg(f)/2}$$



Criticalité

Rappel : Criticalité

- ▶ Cas des marches : θ est p.s. fini et $\mathbb{E}[\theta] = \infty$.
- ▶ Cas des arbres : T est p.s. fini et $\mathbb{E}[T] = \infty$.



Criticalité

Rappel : Criticalité

- ▶ Cas des marches : θ est p.s. fini et $\mathbb{E}[\theta] = \infty$.
- ▶ Cas des arbres : T est p.s. fini et $\mathbb{E}[T] = \infty$.

On suppose que \mathbf{q} est admissible : $w_{\mathbf{q}}(\text{Cartes finies}) < \infty$ (on normalise pour avoir une mesure de proba).



Criticalité

Rappel : Criticalité

- ▶ Cas des marches : θ est p.s. fini et $\mathbb{E}[\theta] = \infty$.
- ▶ Cas des arbres : T est p.s. fini et $\mathbb{E}[T] = \infty$.

On suppose que \mathbf{q} est admissible : $w_{\mathbf{q}}(\text{Cartes finies}) < \infty$ (on normalise pour avoir une mesure de proba).

On suppose aussi que \mathbf{q} est critique (Bernardi, C., Miermont) :

$$\int dw_{\mathbf{q}}(\mathbf{m}) |\mathbf{m}|^2 = \infty.$$



Criticalité

Rappel : Criticalité

- ▶ Cas des marches : θ est p.s. fini et $\mathbb{E}[\theta] = \infty$.
- ▶ Cas des arbres : T est p.s. fini et $\mathbb{E}[T] = \infty$.

On suppose que \mathbf{q} est admissible : $w_{\mathbf{q}}(\text{Cartes finies}) < \infty$ (on normalise pour avoir une mesure de proba).

On suppose aussi que \mathbf{q} est critique (Bernardi, C., Miermont) :

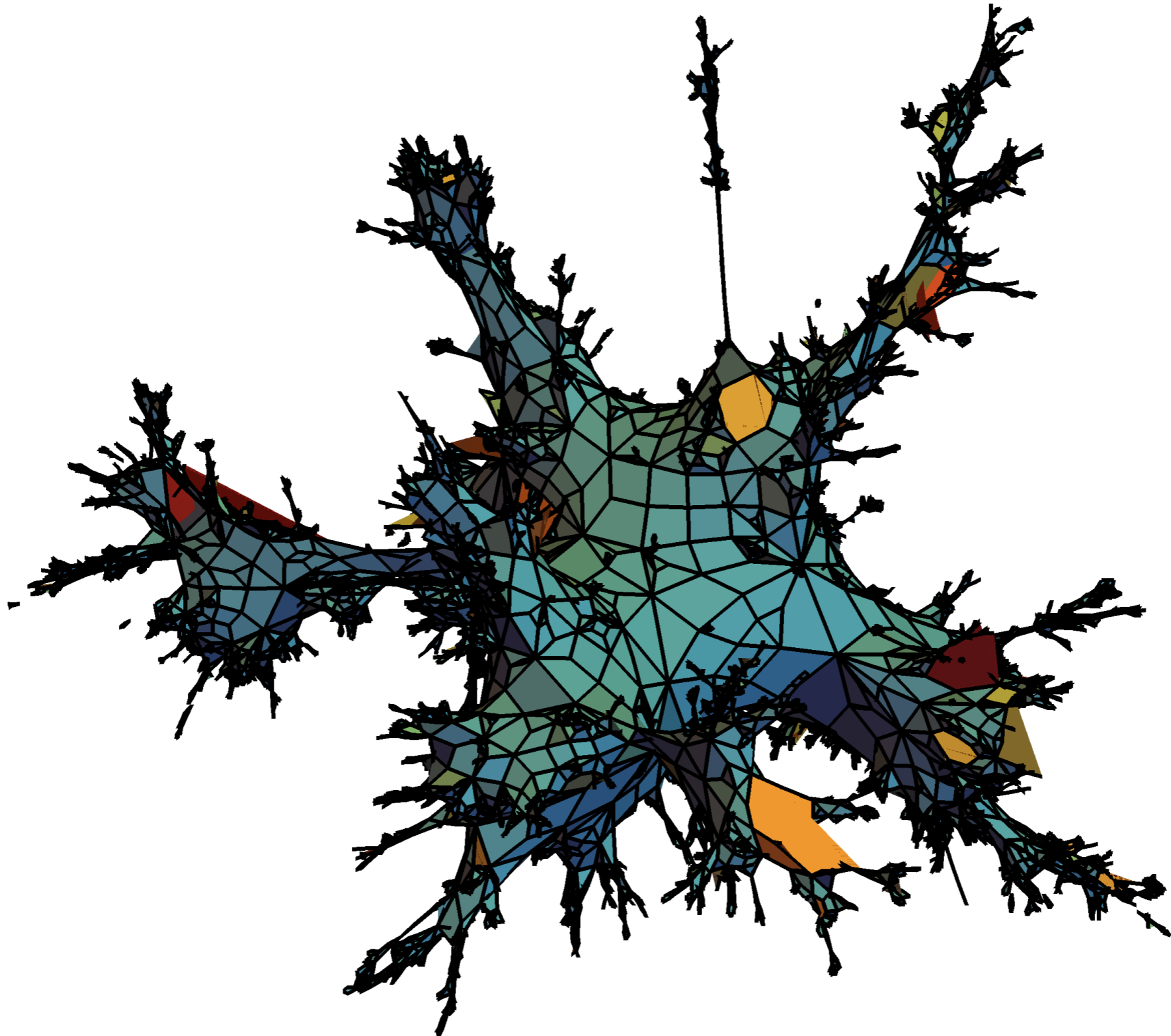
$$\int dw_{\mathbf{q}}(\mathbf{m}) |\mathbf{m}|^2 = \infty.$$

On peut alors considérer \mathfrak{M}_n une carte distribuée selon $w_{\mathbf{q}}$ conditionnée à avoir taille n .



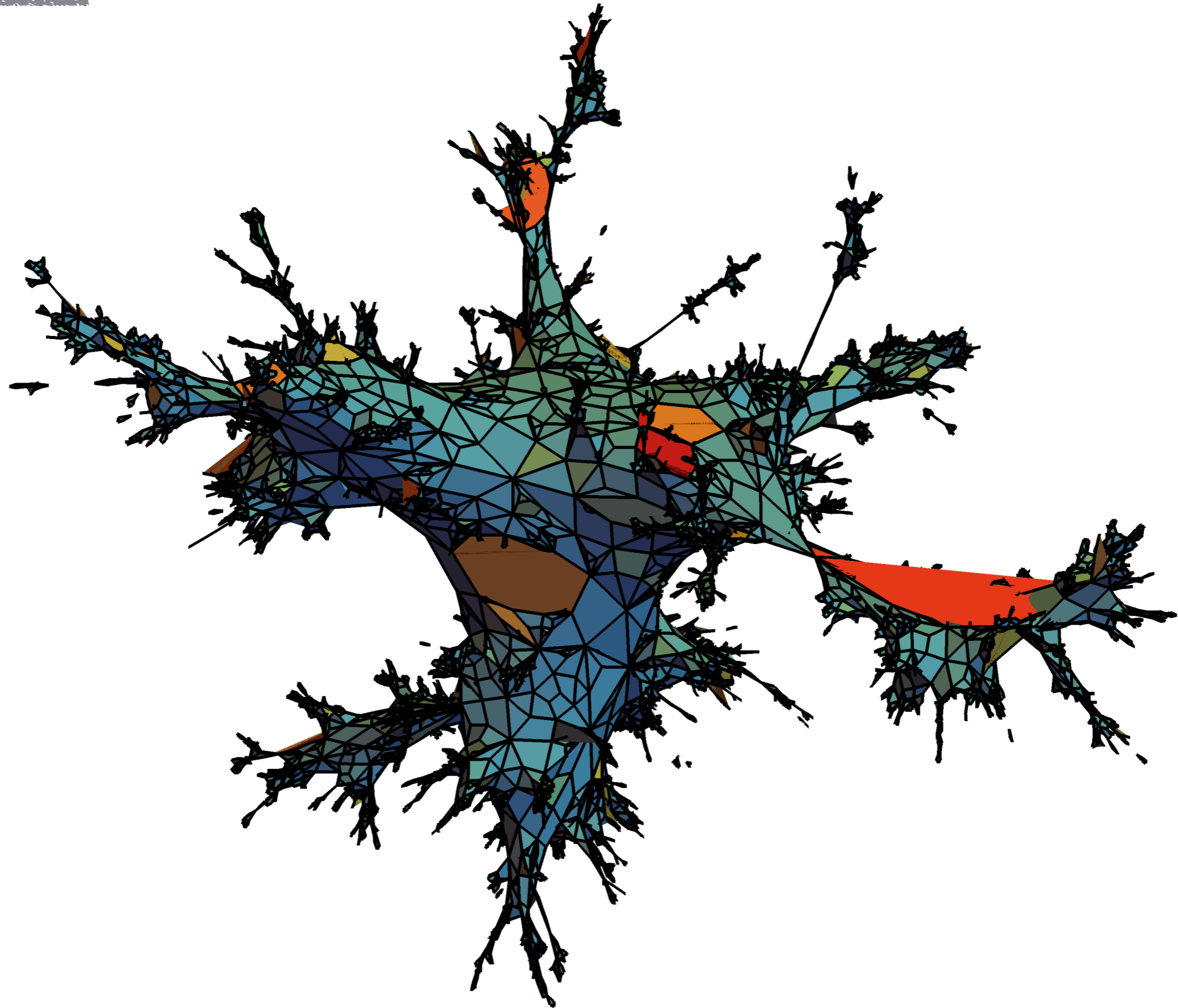
Encore des dessins (4) : avec des grandes faces

$a=1.95$



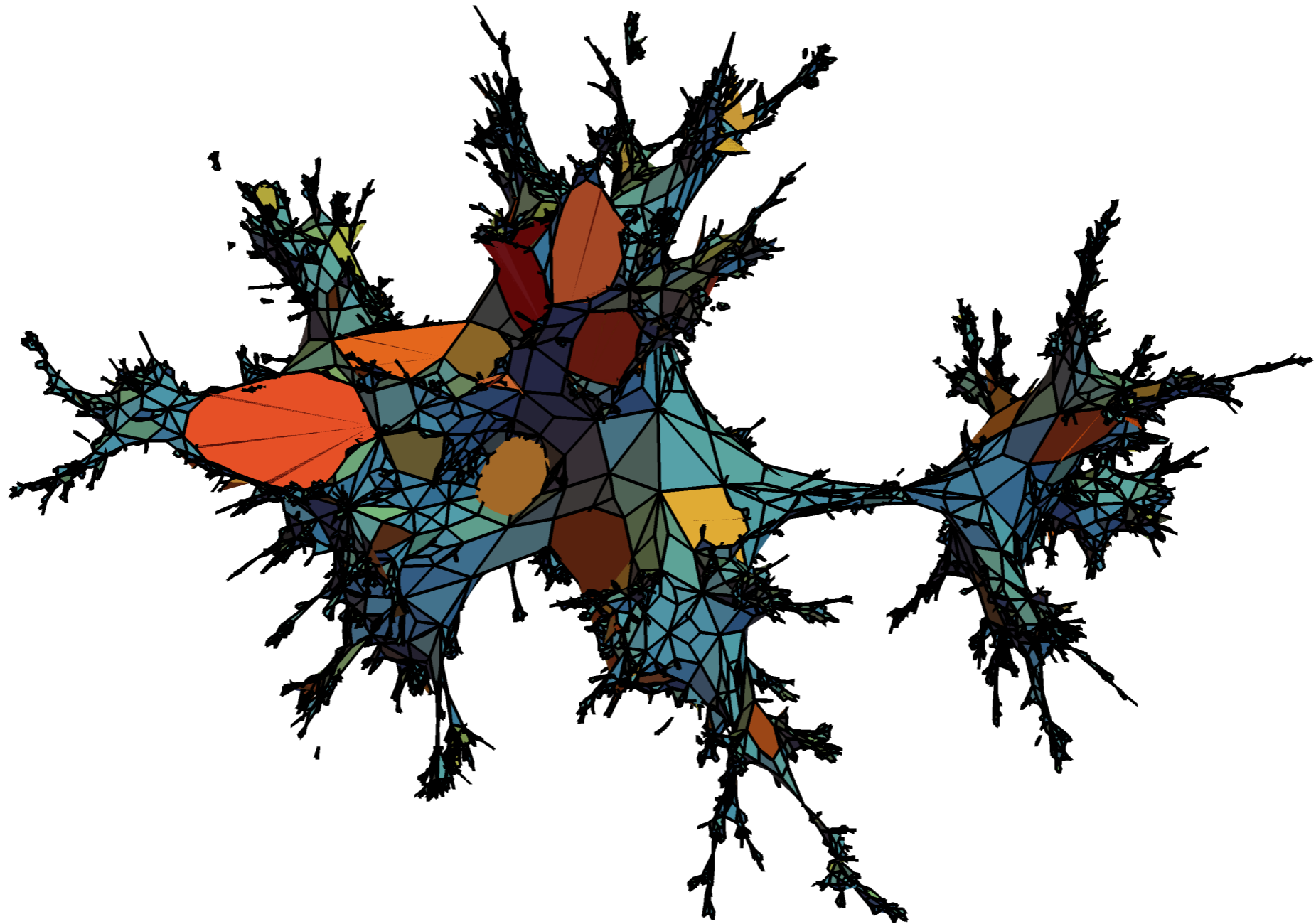
Encore des dessins (4) : avec des grandes faces

$a=1.90$



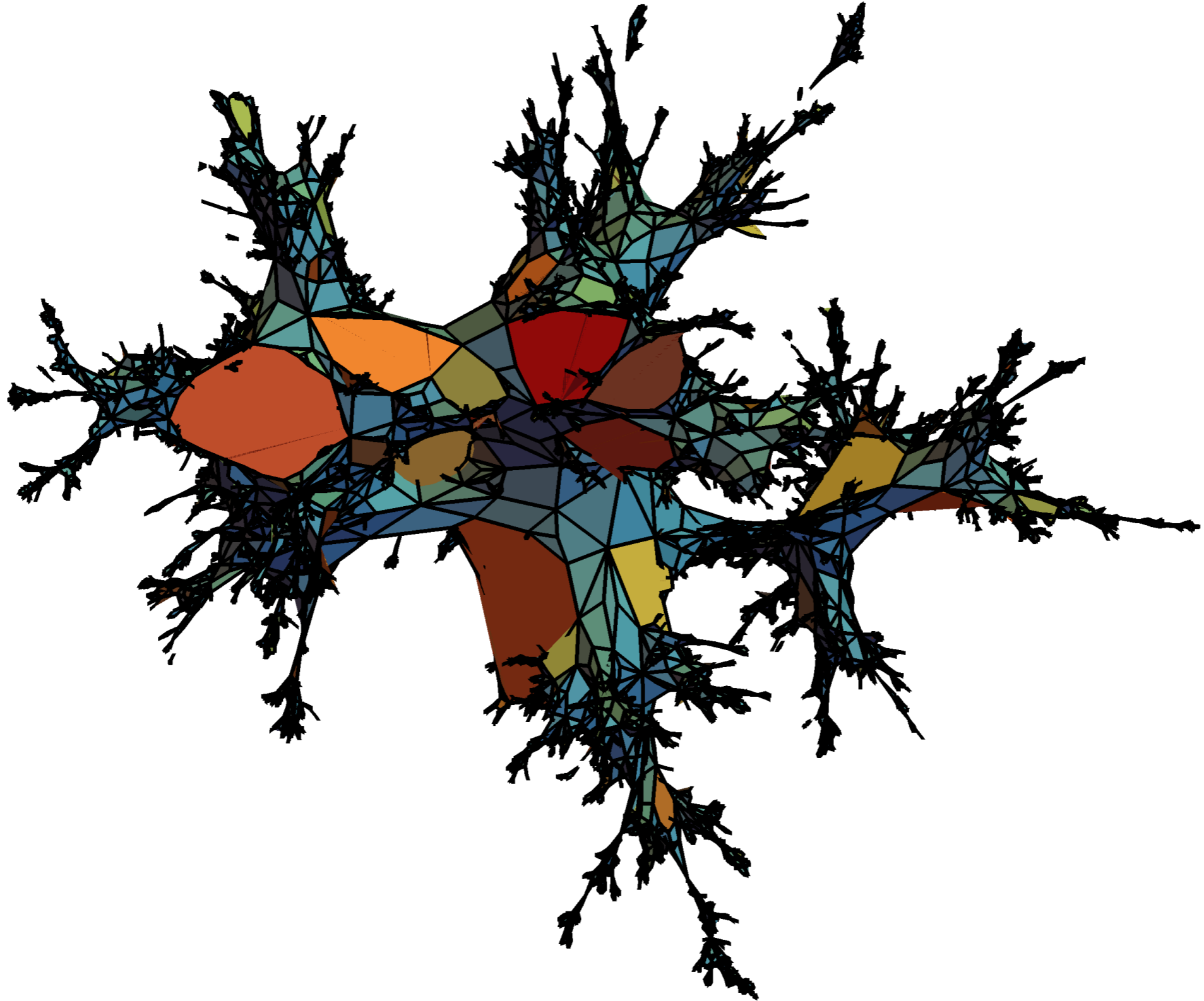
Encore des dessins (4) : avec des grandes faces

$a=1.80$



Encore des dessins (4) : avec des grandes faces

$a=1.80$



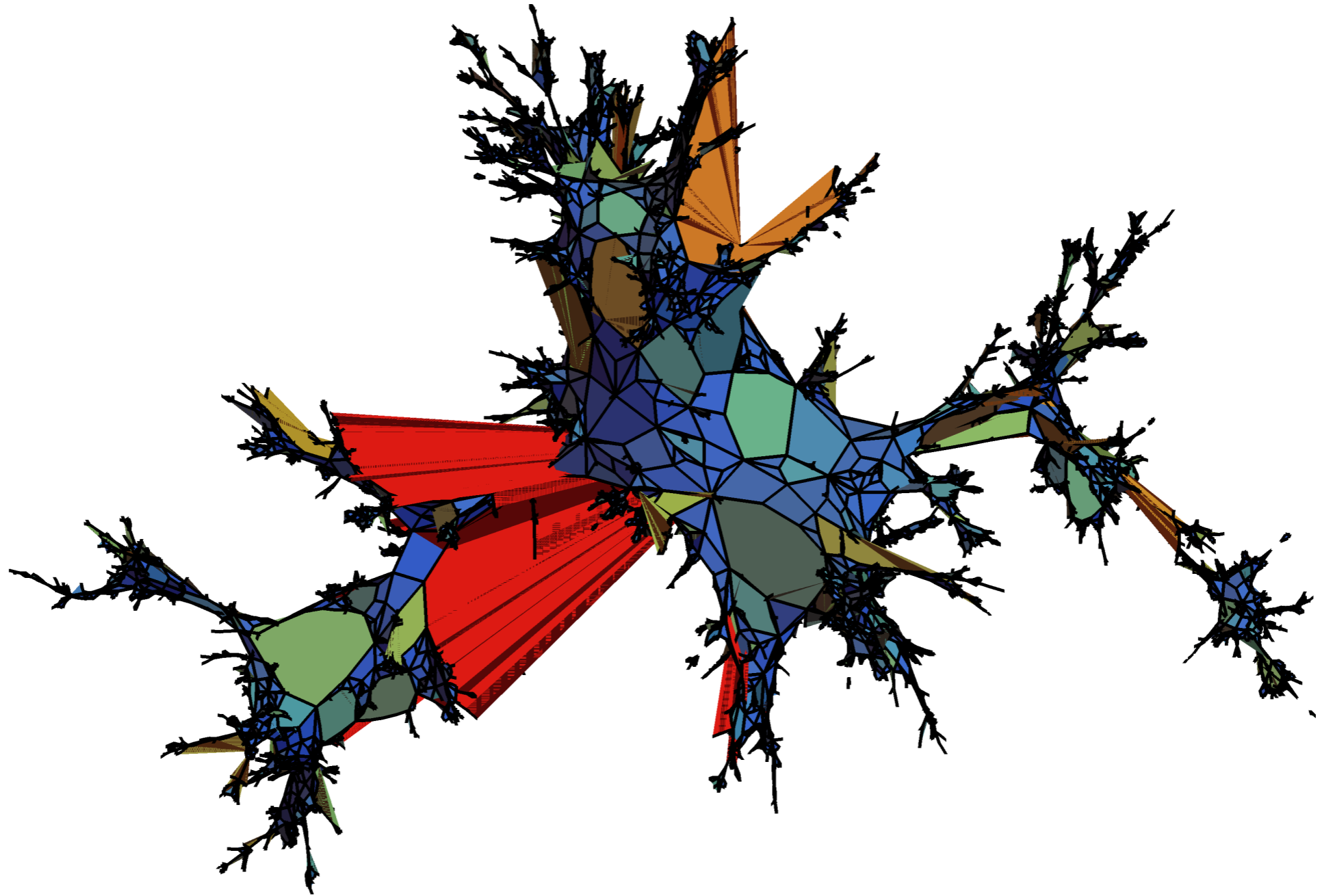
Encore des dessins (4) : avec des grandes faces

$a=1.70$



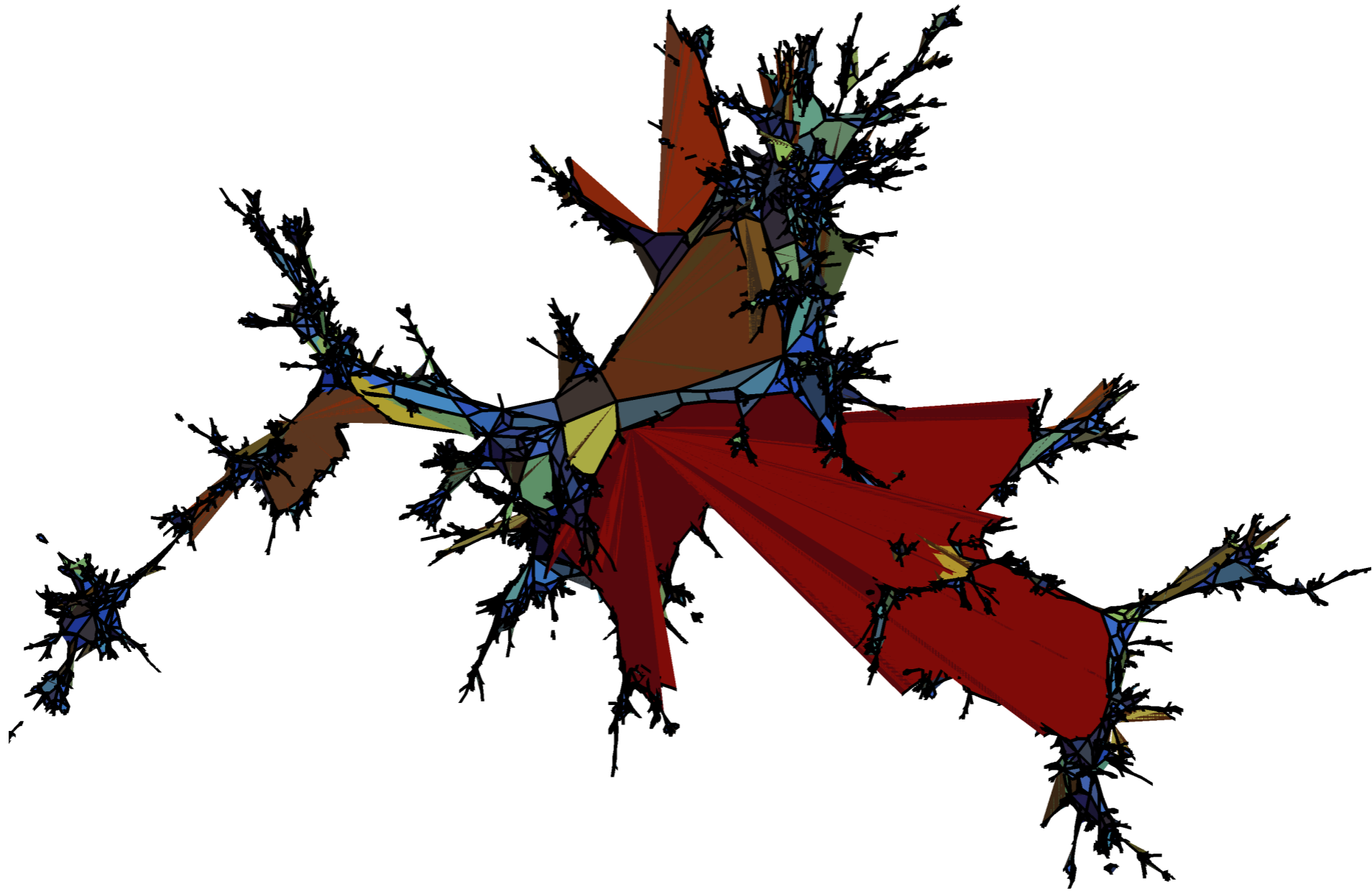
Encore des dessins (4) : avec des grandes faces

$a=1.50$



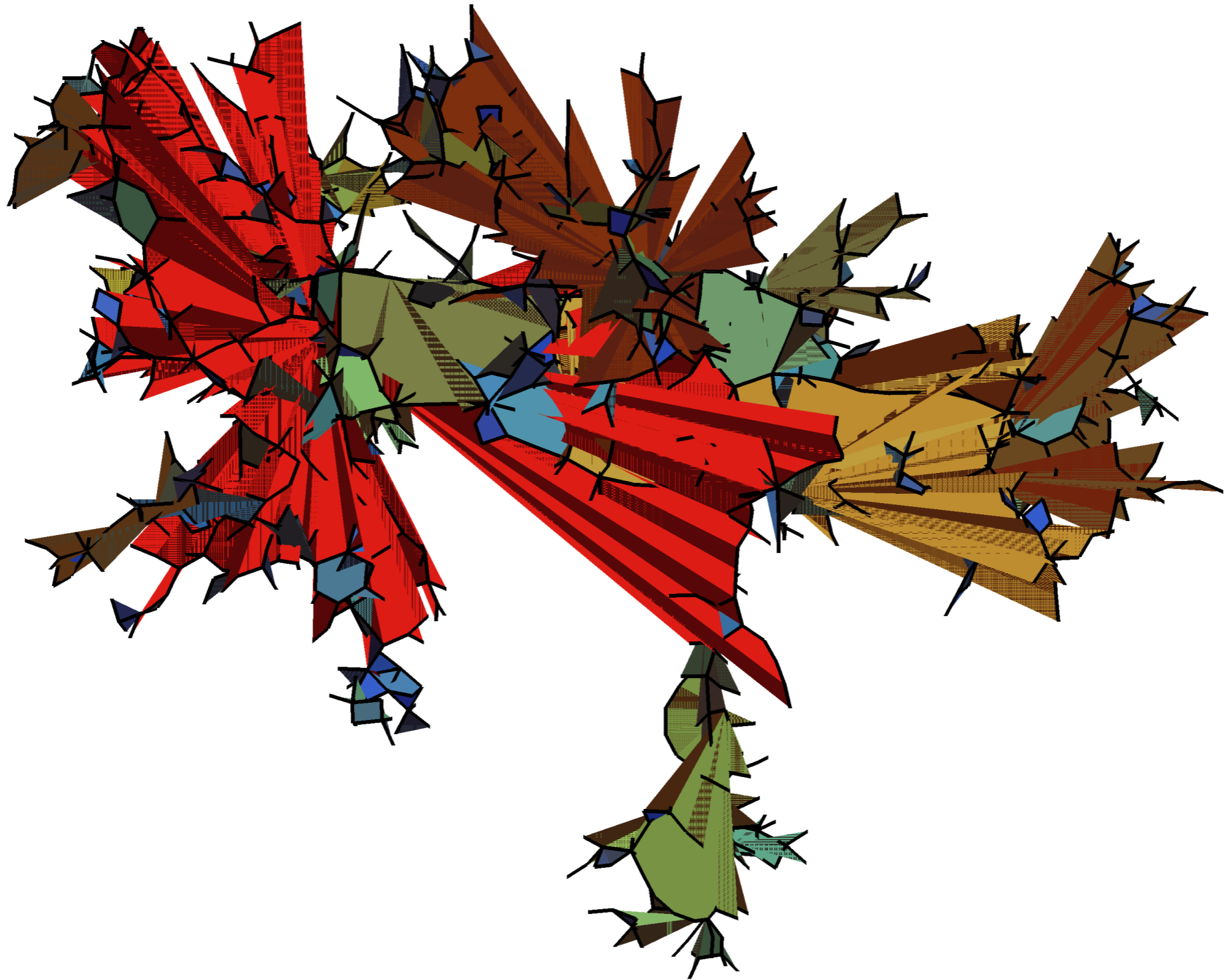
Encore des dessins (4) : avec des grandes faces

$a=1.40$



Encore des dessins (4) : avec des grandes faces

$a=1.40$



Encore des dessins (5) : avec des grands degrés

$a=1.95$

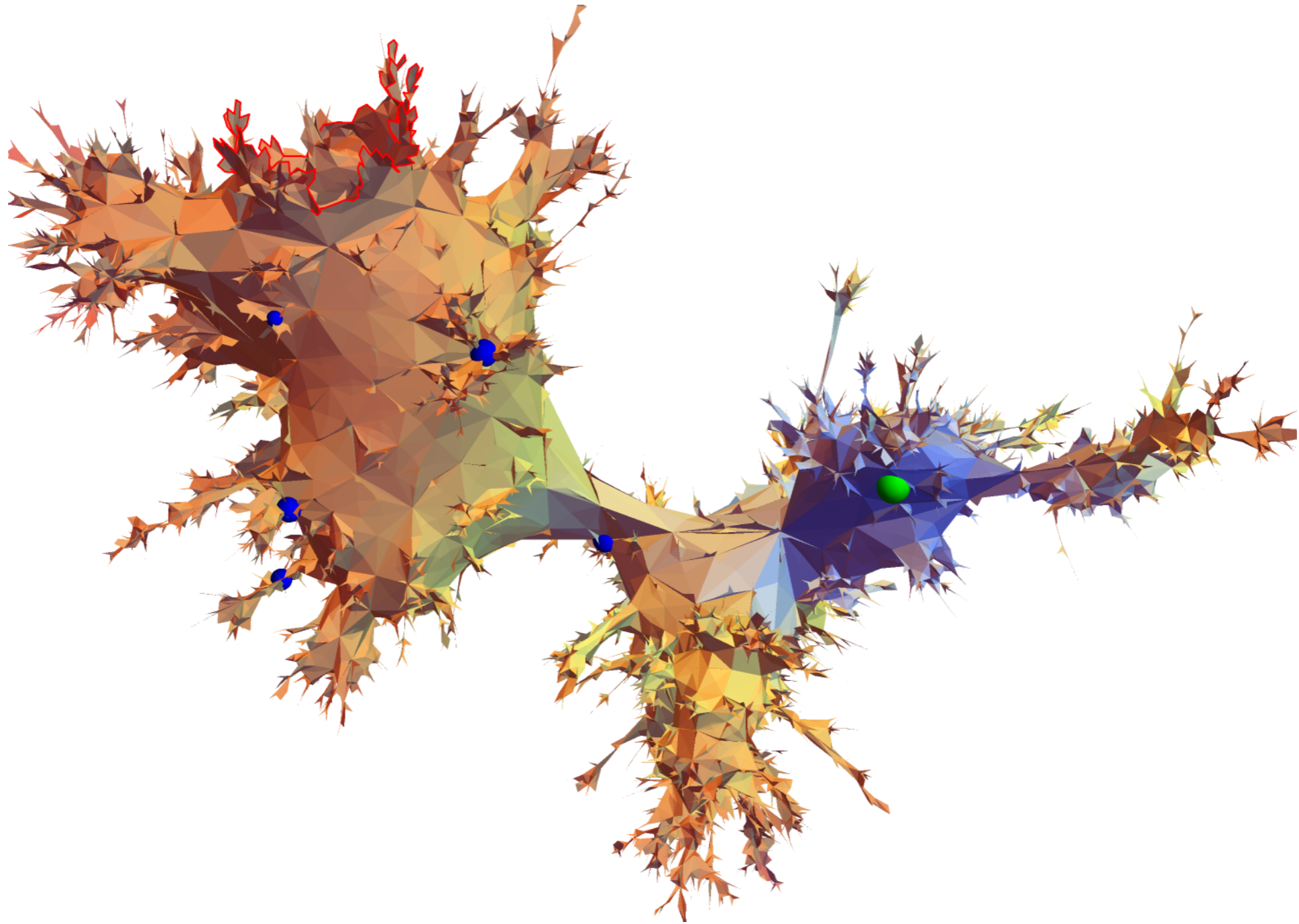


Figure – Courtesy of T. Budd



Encore des dessins (5) : avec des grands degrés

$a=1.85$

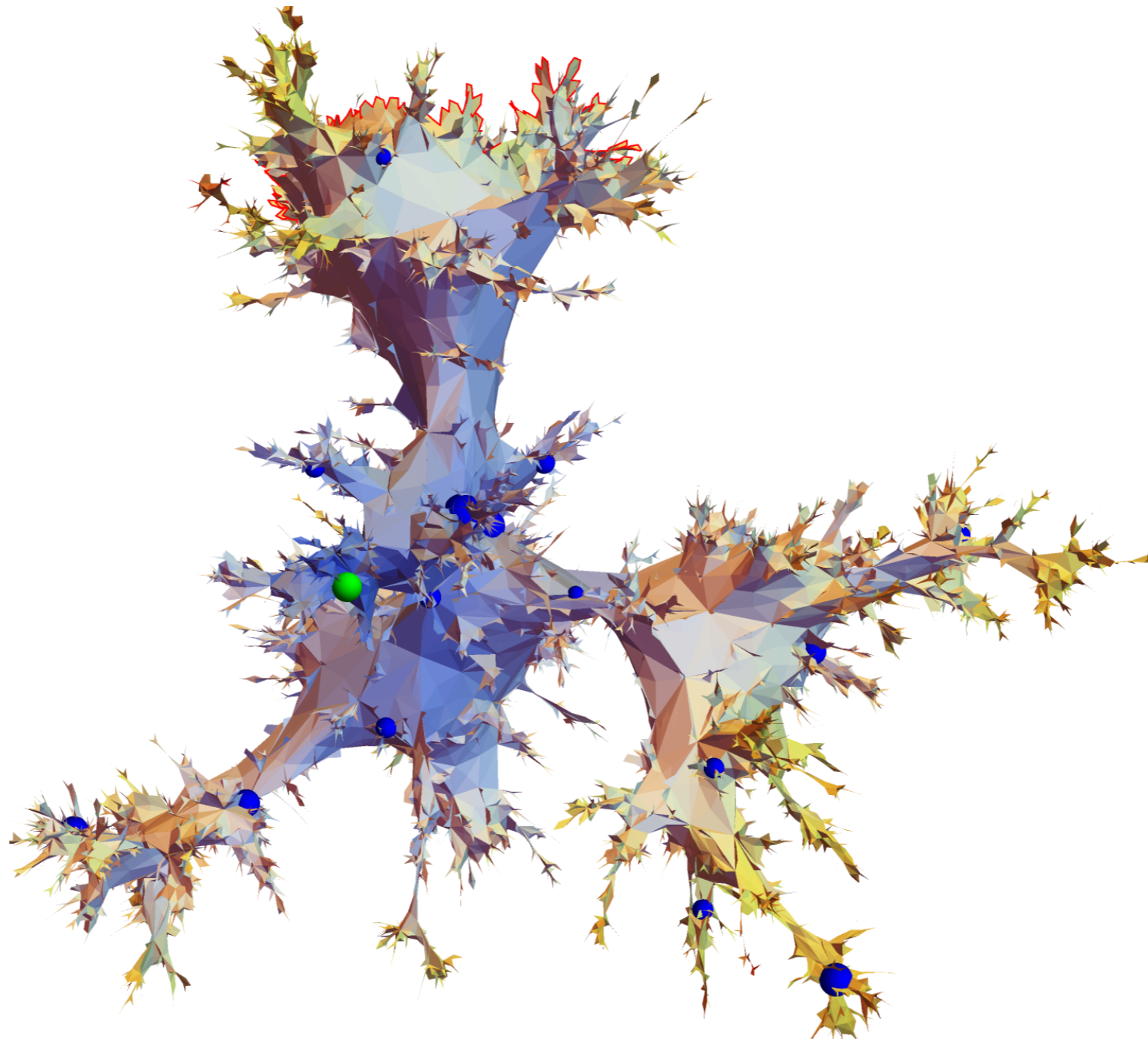


Figure – Simulations by T. Budd



Encore des dessins (5) : avec des grands degrés

$a=1.80$

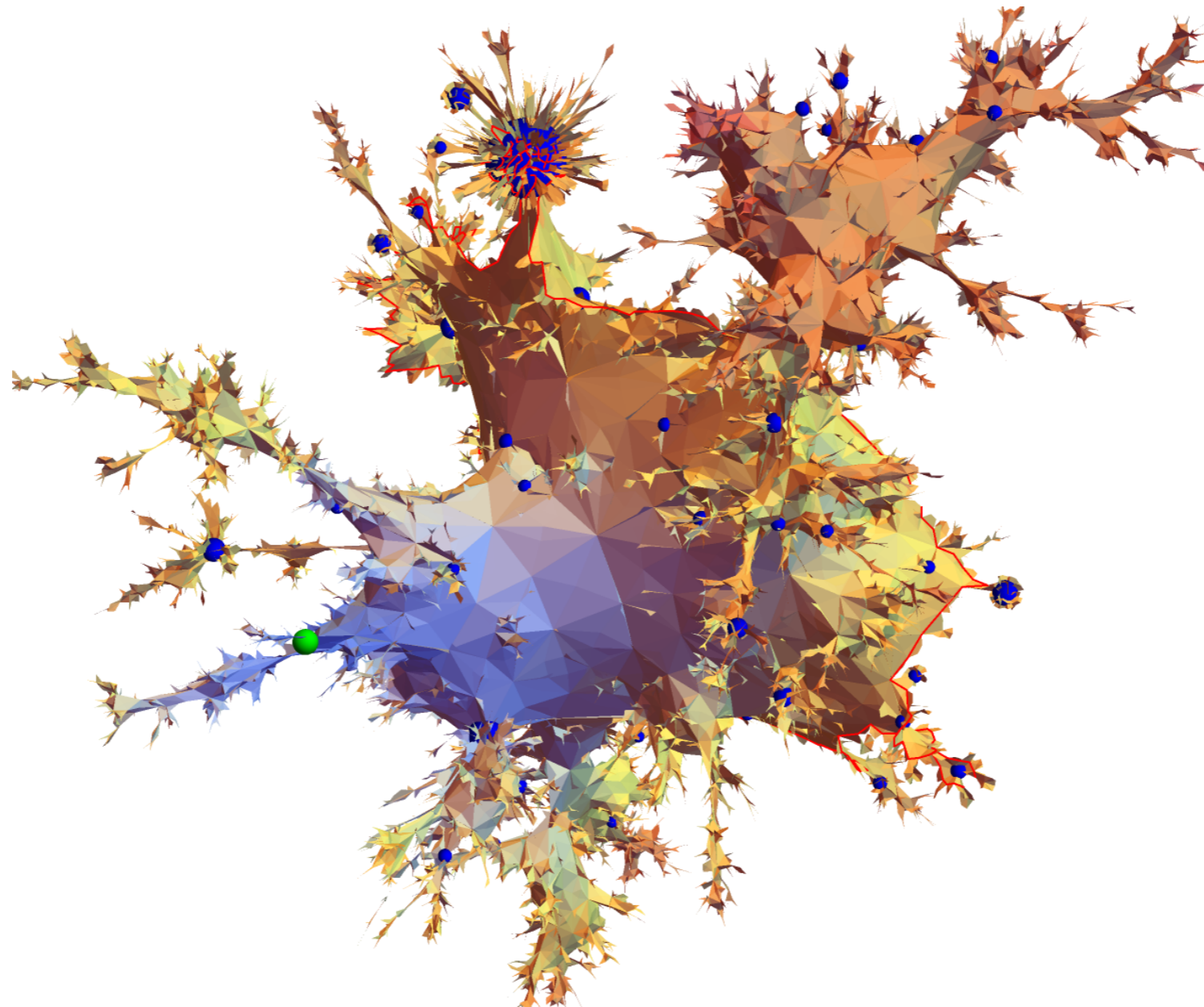


Figure – Simulations by T. Budd



Encore des dessins (5) : avec des grands degrés

$a=1.80$

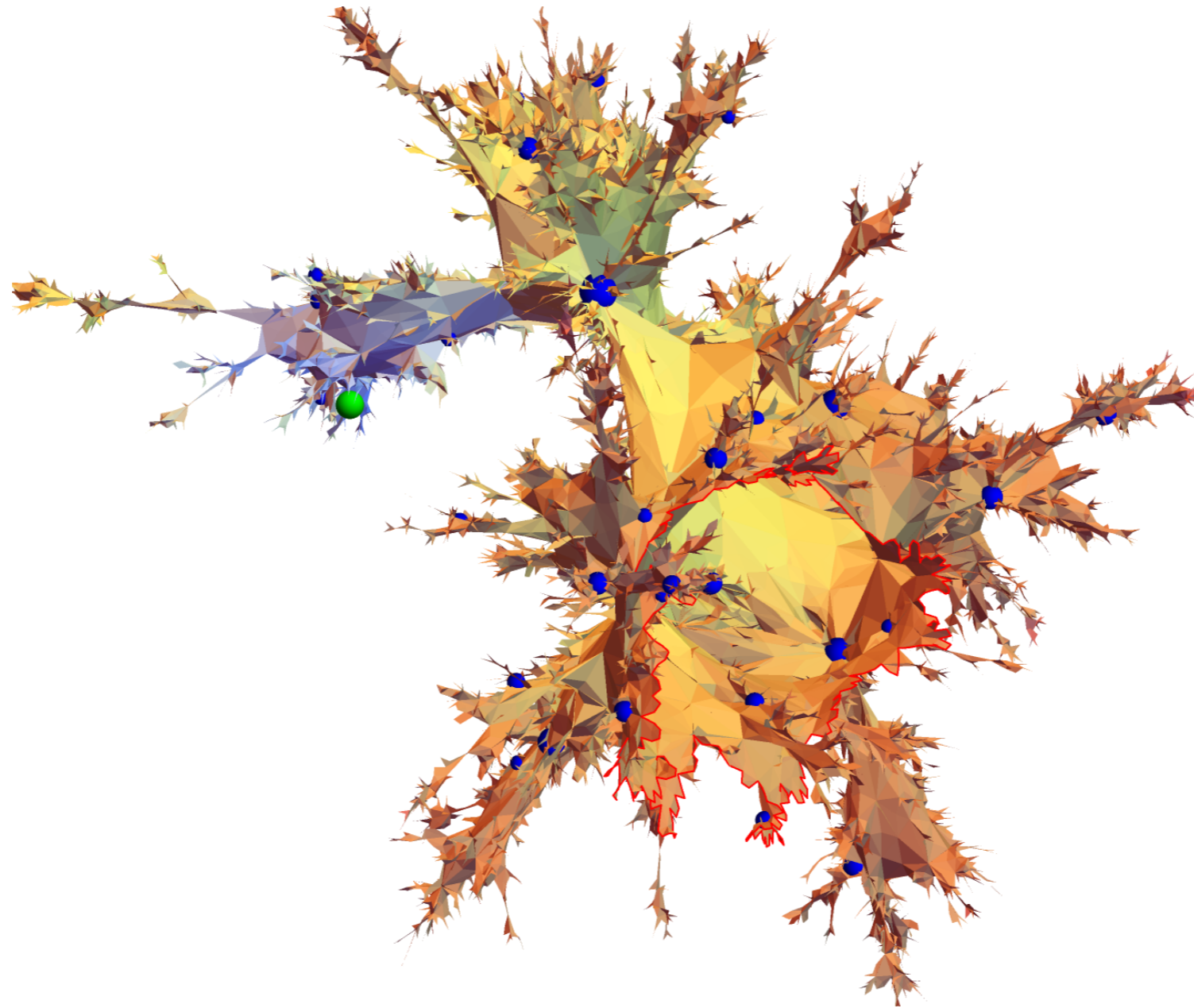


Figure – Simulations by T. Budd



Encore des dessins (5) : avec des grands degrés

$a=1.50$

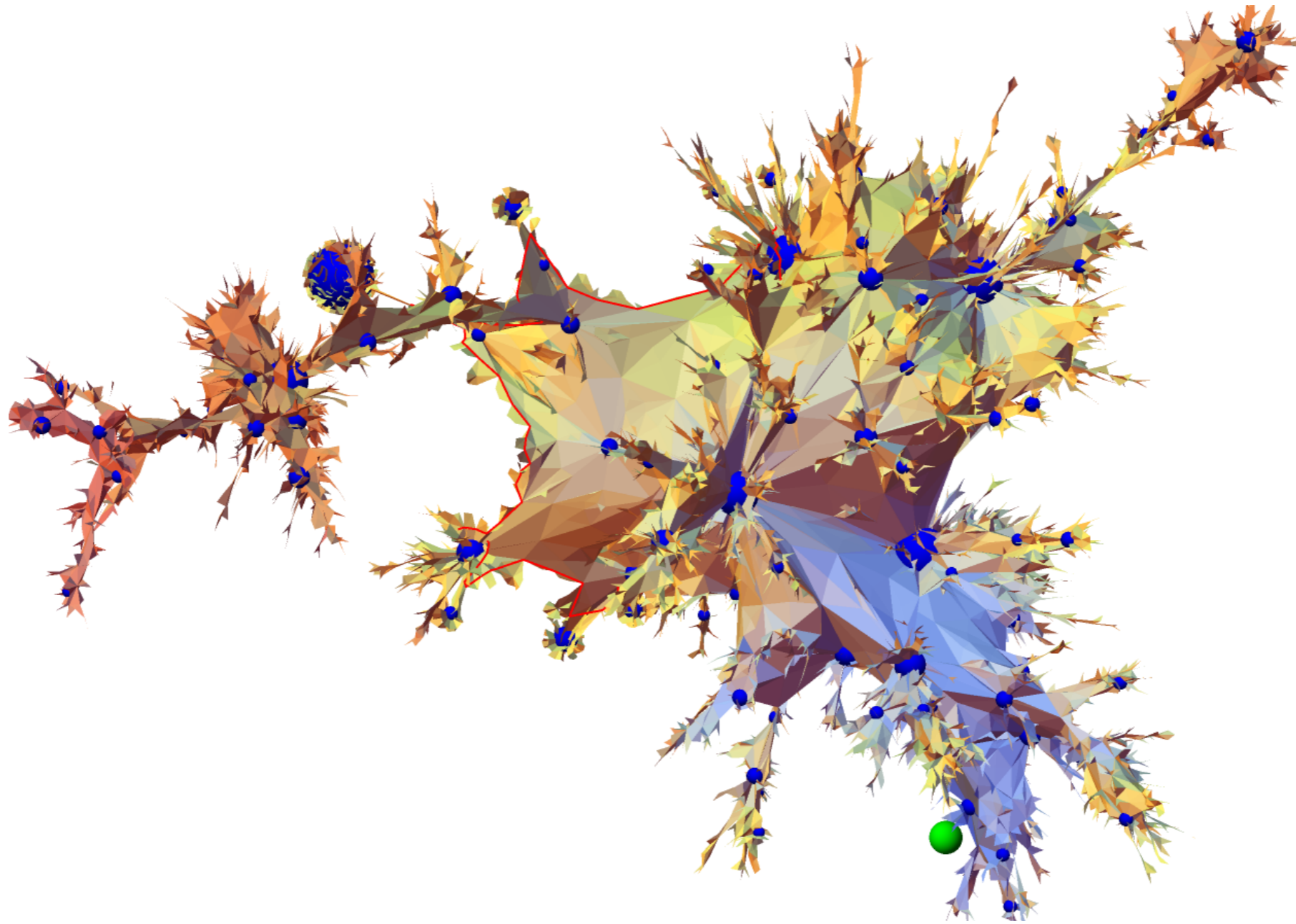


Figure – Simulations by T. Budd



Encore des dessins (5) : avec des grands degrés

$a=1.30$

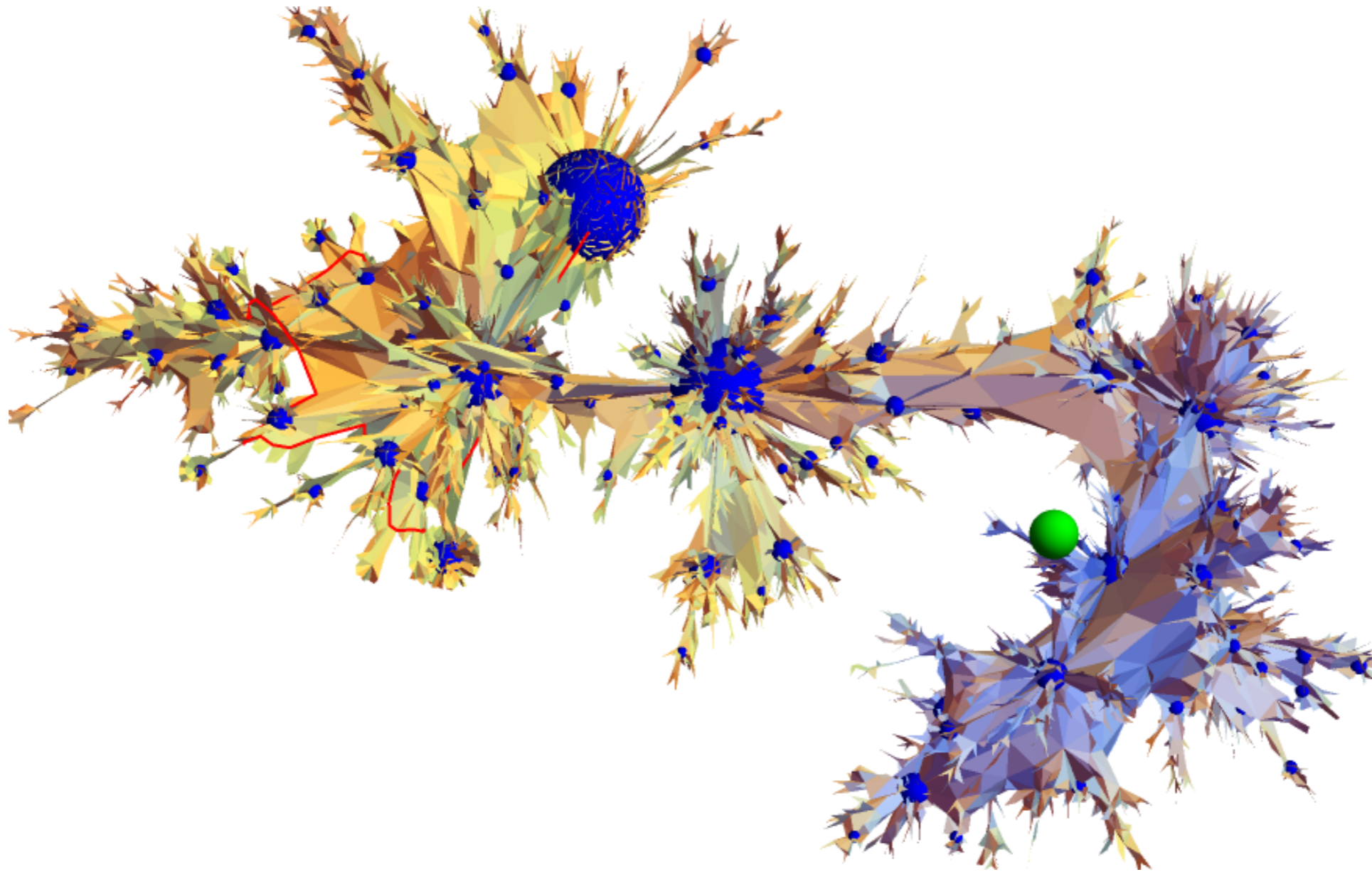


Figure – Simulations by T. Budd



Encore des dessins (5) : avec des grands degrés

$a=1.30$

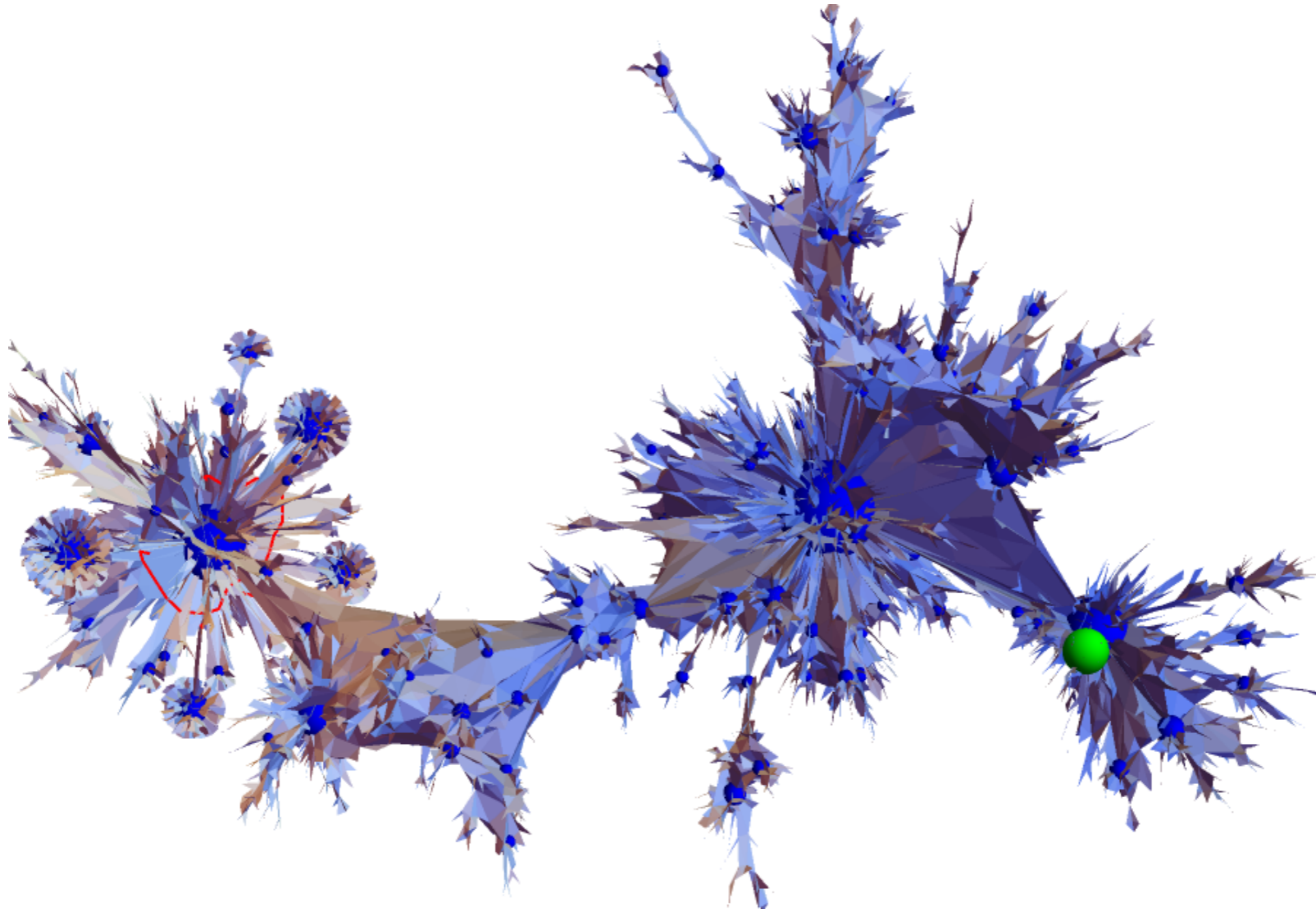


Figure – Simulations by T. Budd



Encore des dessins (5) : avec des grands degrés

$a=1.20$

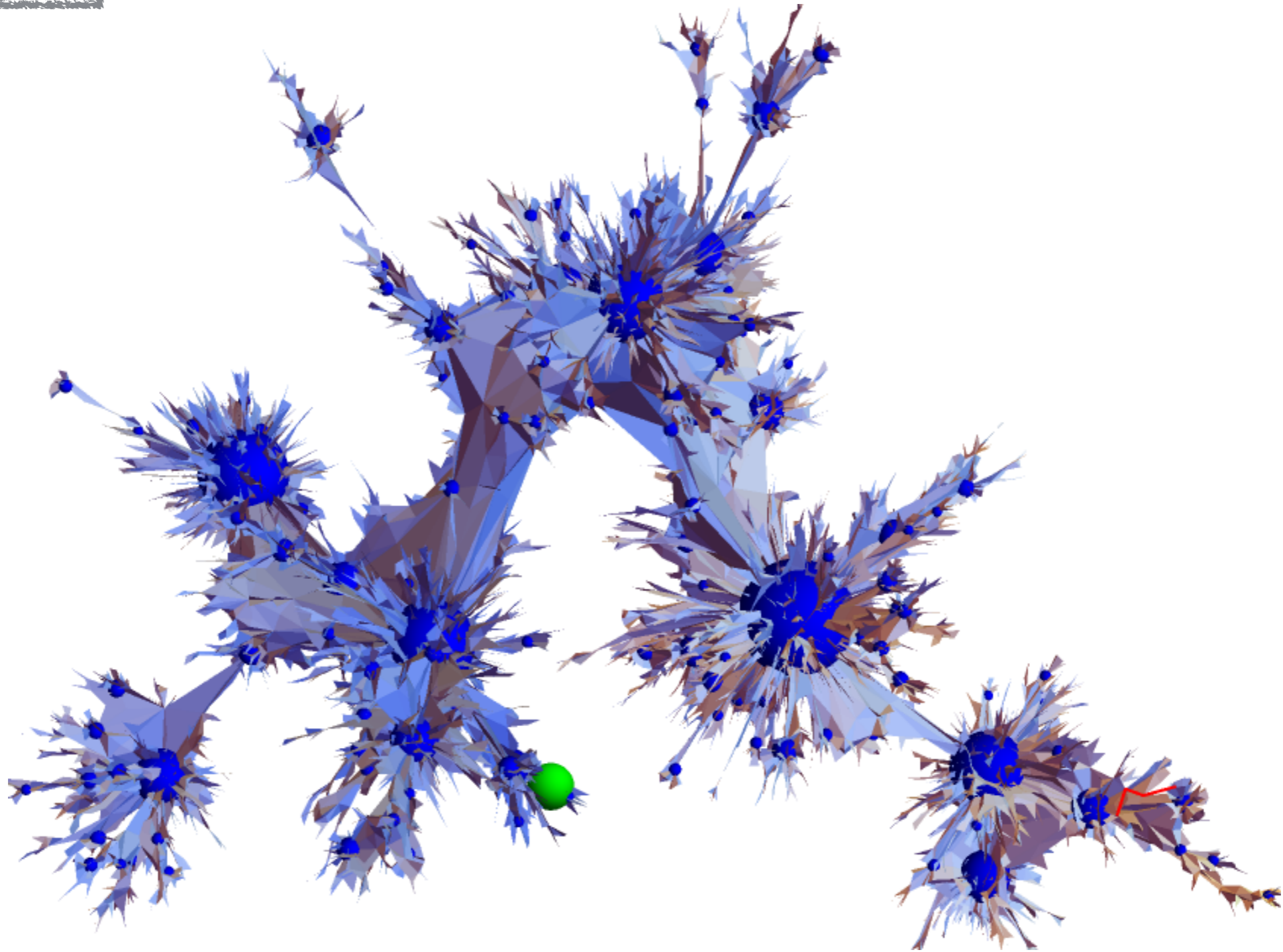


Figure – Simulations by T. Budd



$a \geq 2$

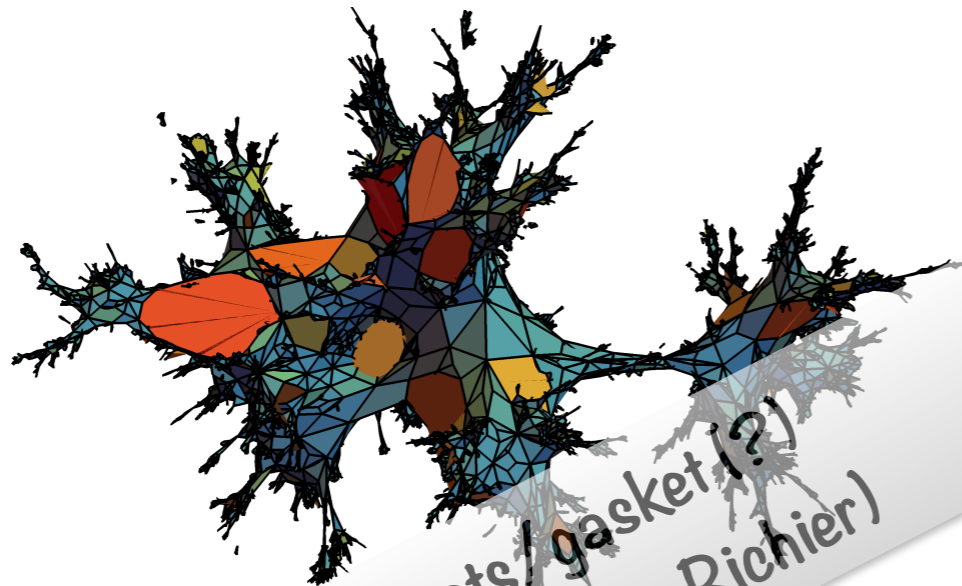
$3/2 < a < 2$

$1 < a \leq 3/2$

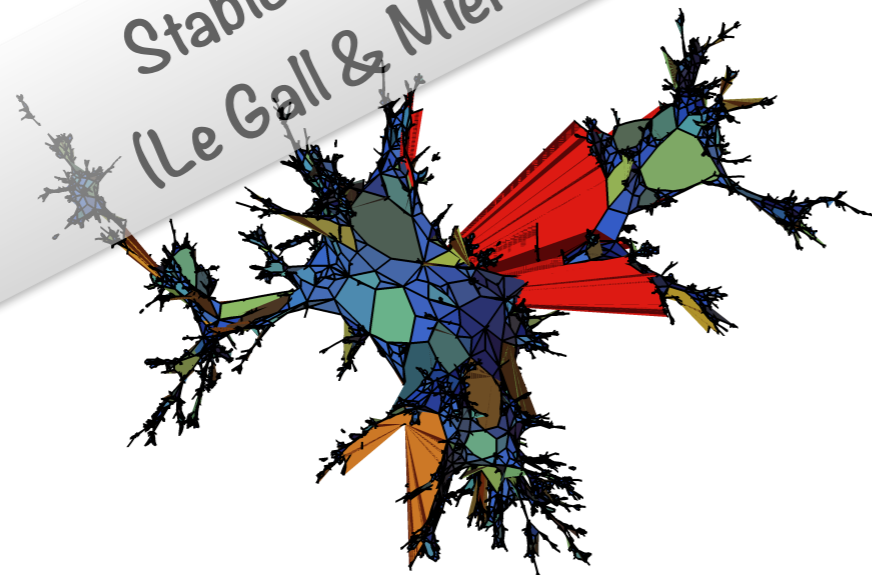
m (large faces)



Brownian sphere
(Le Gall)



Stable carpets/gasket (?)
(Le Gall & Miermont, Richier)



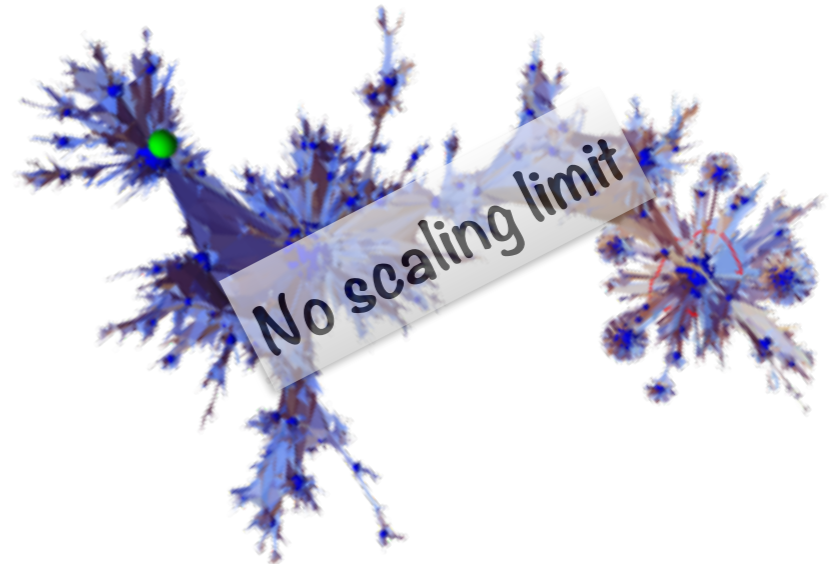
m^\dagger (large degrees)



Brownian sphere
(C. & Le Gall)



Stable spheres

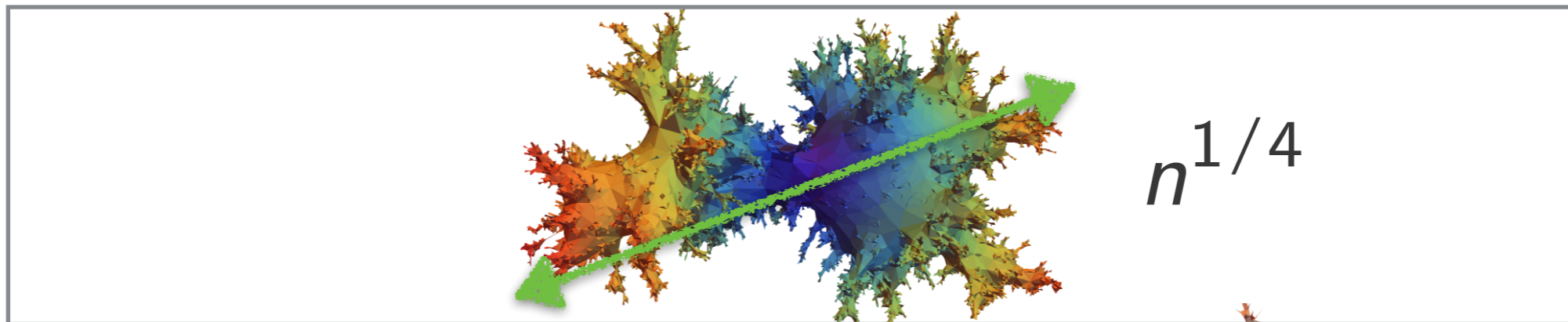


No scaling limit

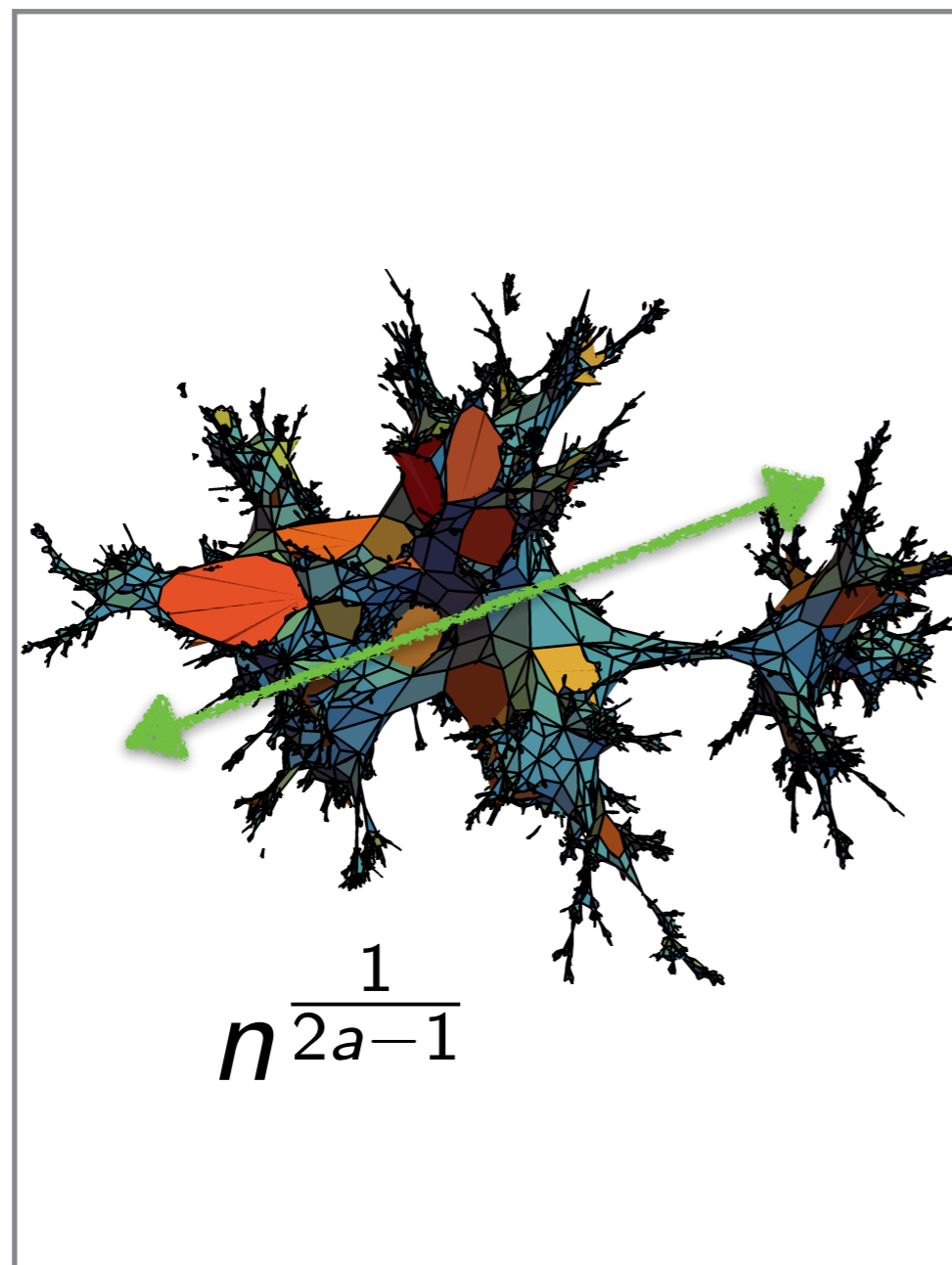
\mathfrak{m} (large faces)

\mathfrak{m}^\dagger (large degrees)

$a \geq 2$

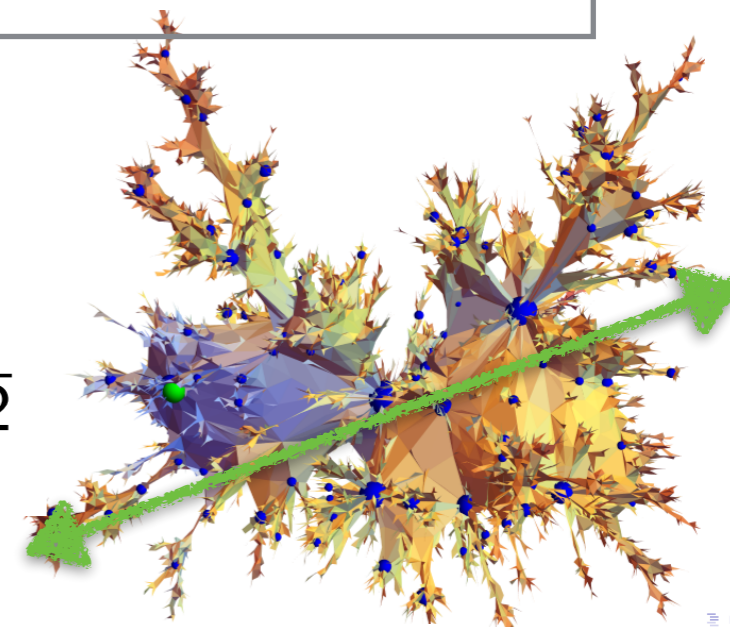


$3/2 < a < 2$



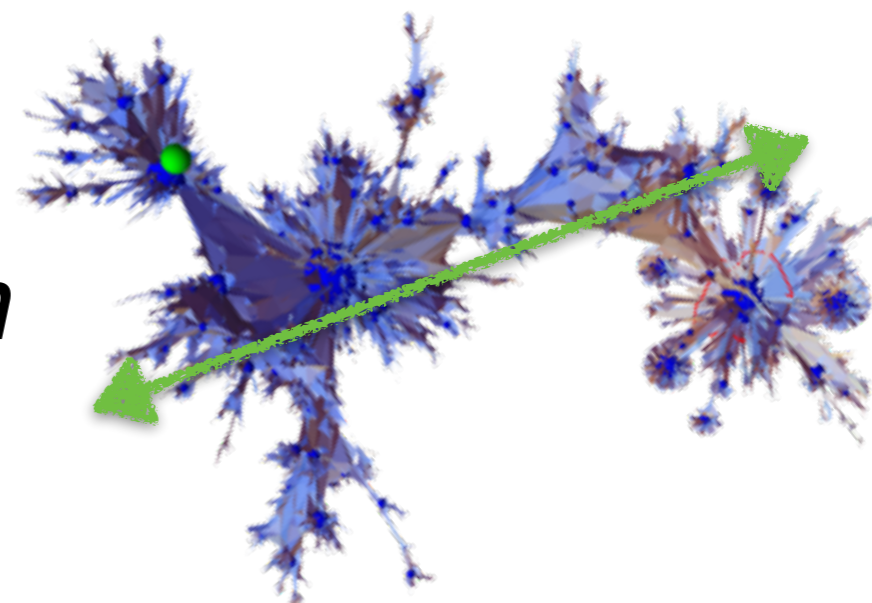
$a = 3/2$

$n^{\frac{a-2}{a-1/2}}$



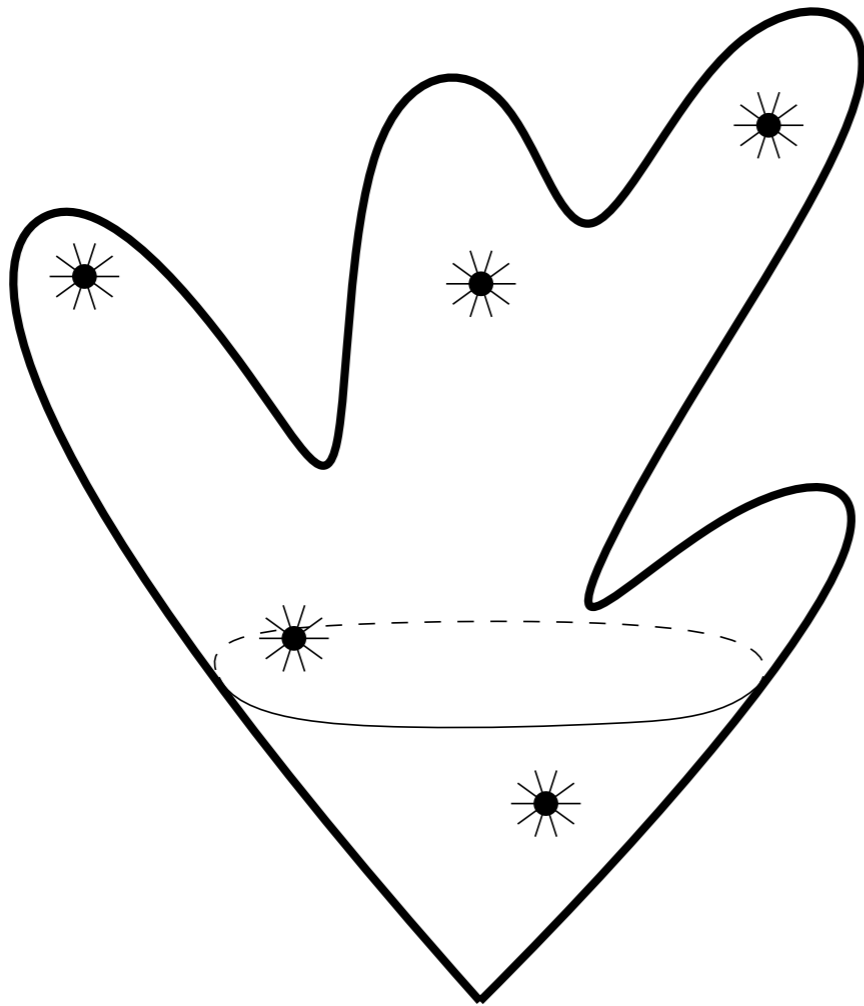
$1 < a \leq 3/2$

$\log n$



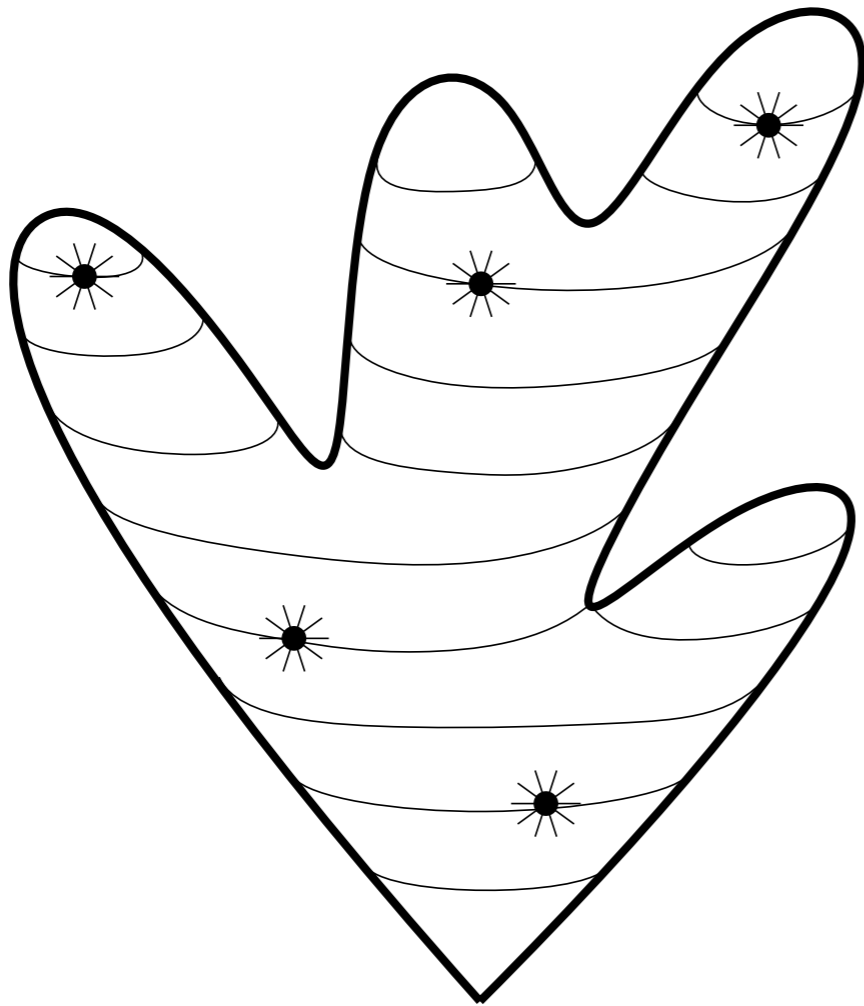
Comment construire une sphere stable ?

Si m^+ est une carte avec des grands degrés on la saucissonne en tranches à hauteur :



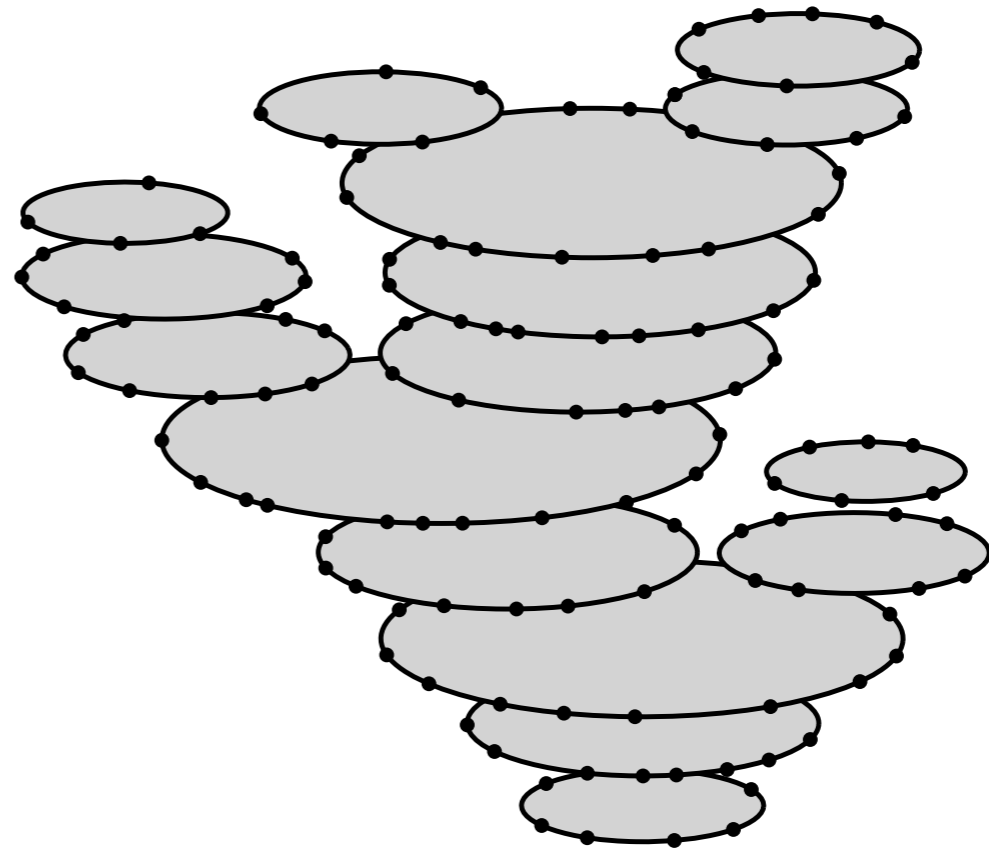
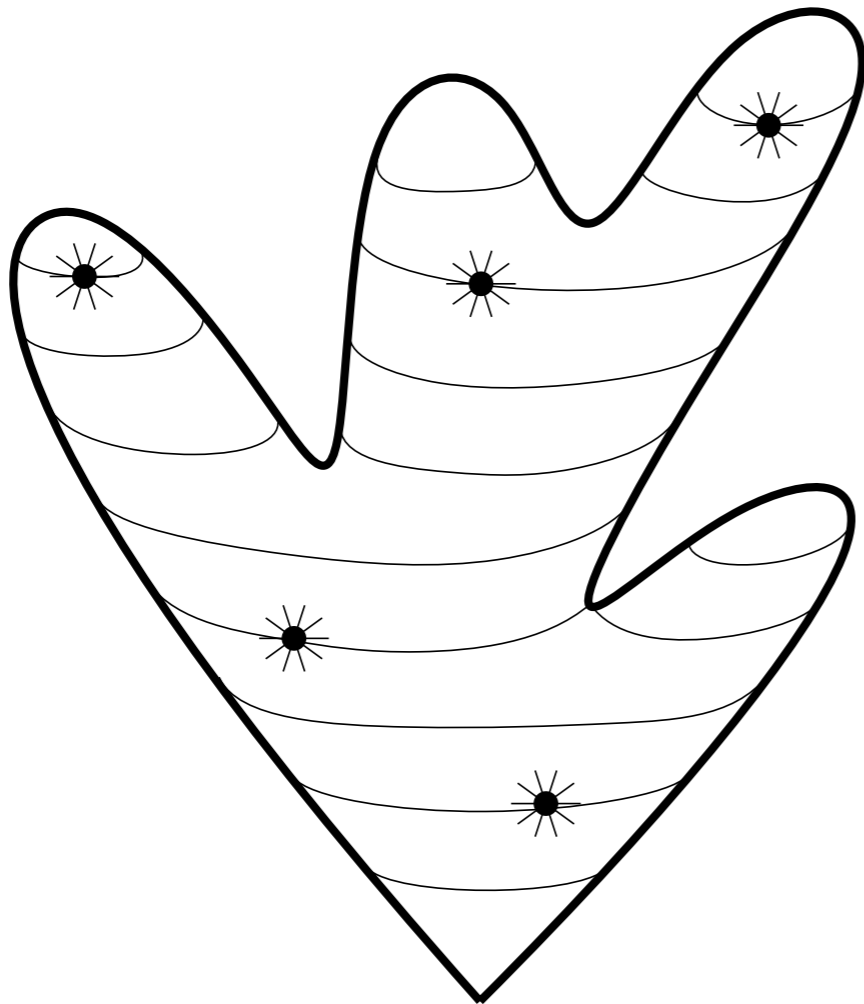
Comment construire une sphere stable ?

Si m^+ est une carte avec des grands degrés on la saucissonne en tranches à hauteur :



Comment construire une sphere stable ?

Si m^+ est une carte avec des grands degrés on la saucissonne en tranches à hauteur :



Comment construire une sphere stable? (IT)

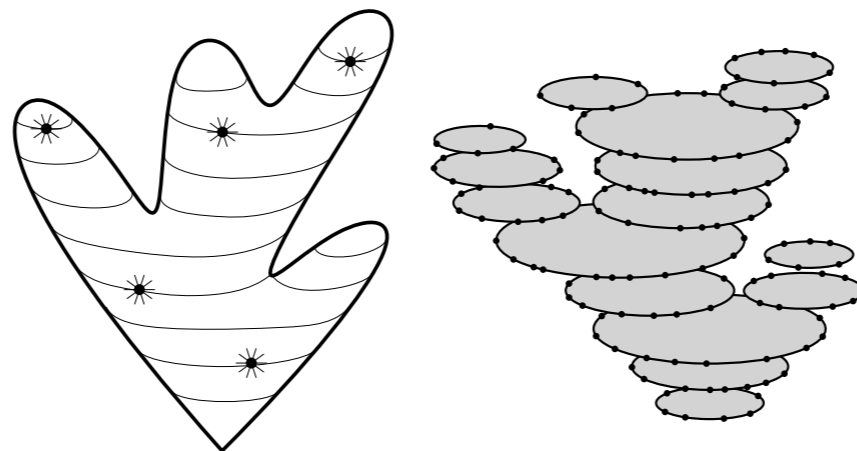
Si $\mathbf{L}(r)$ est la suite des périmètres des cycles à hauteur r alors on a

Theorem (Bertoin, Budd, C., Kortchemski, '16)

Avec nos hypothèses pour $a \in (2, \frac{5}{2})$ on a (en trichant un peu)

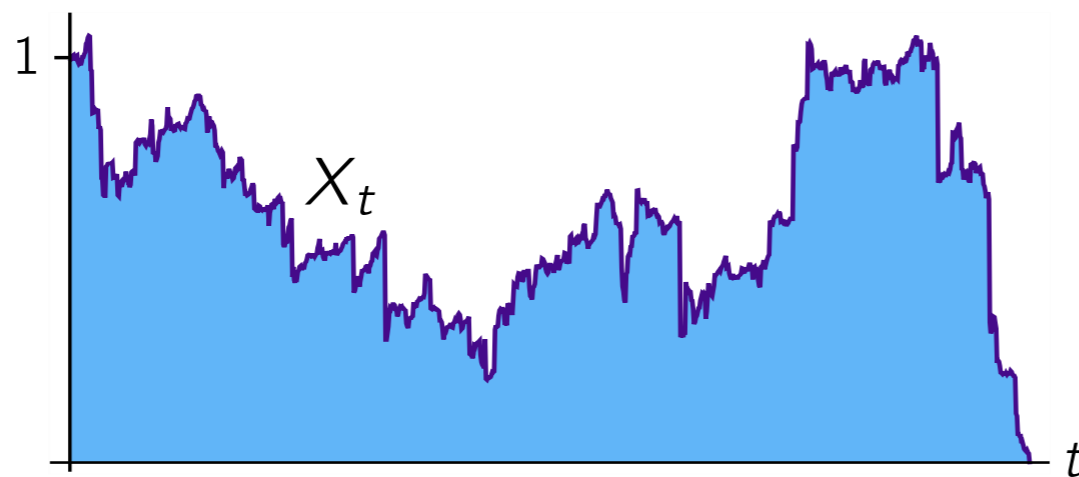
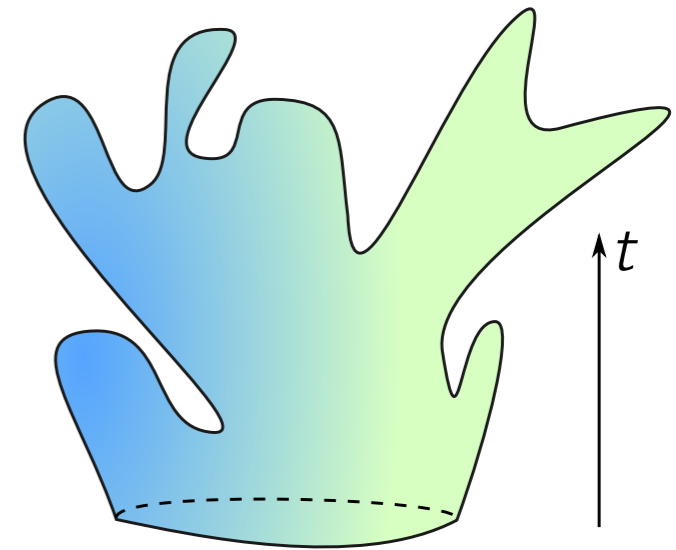
$$\left(\frac{\mathbf{L}(\lfloor \ell^{a-2} \cdot t \rfloor)}{\ell} \right)_{t \geq 0} \xrightarrow[\ell \rightarrow \infty]{(d)} \left(\mathbf{X}_t^{(a)} \right)_{t \geq 0},$$

où $\mathbf{X}_t^{(a)}$ "est" un self-similar growth-fragmentation process (Bertoin).



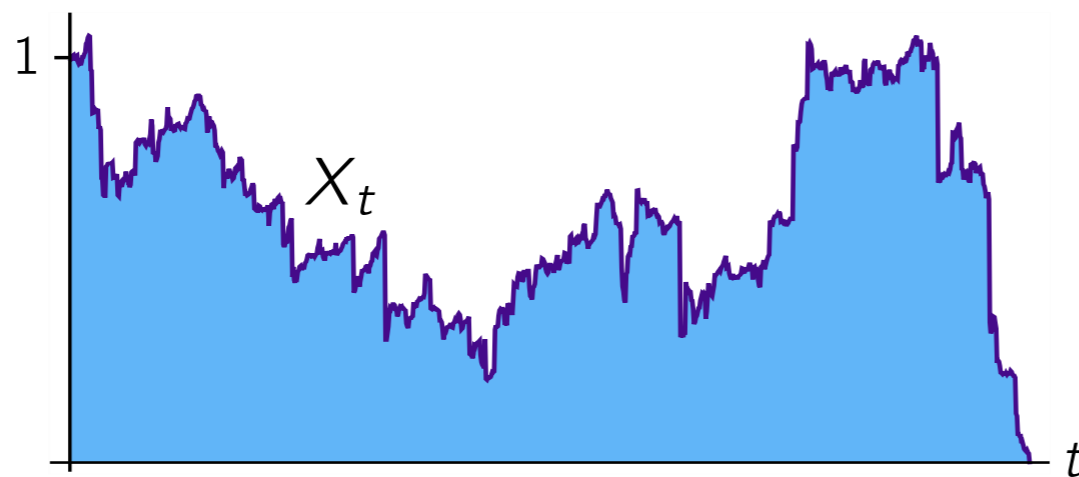
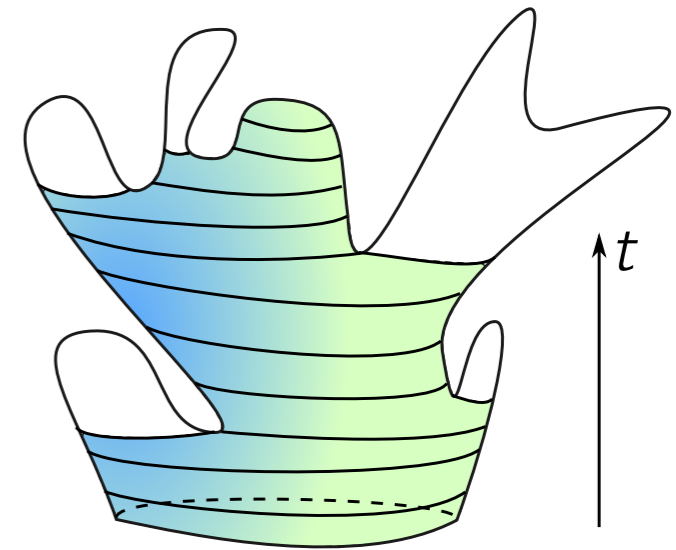
Growth-fragmentation process

- ▶ On a un processus autosimilaire (X_t) décrivant la limite d'échelle du processus du périmètre du *locally largest cycle*.



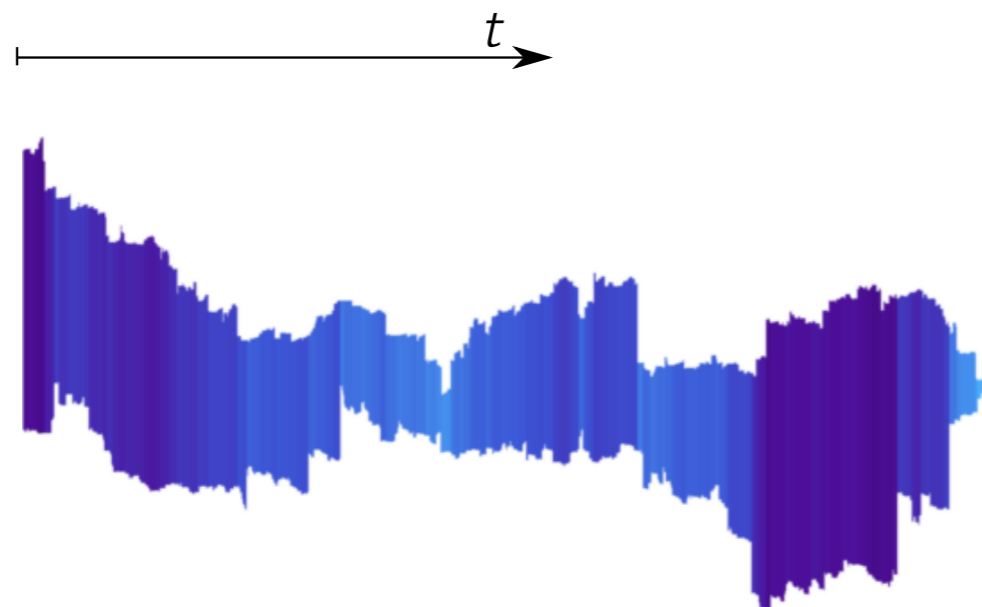
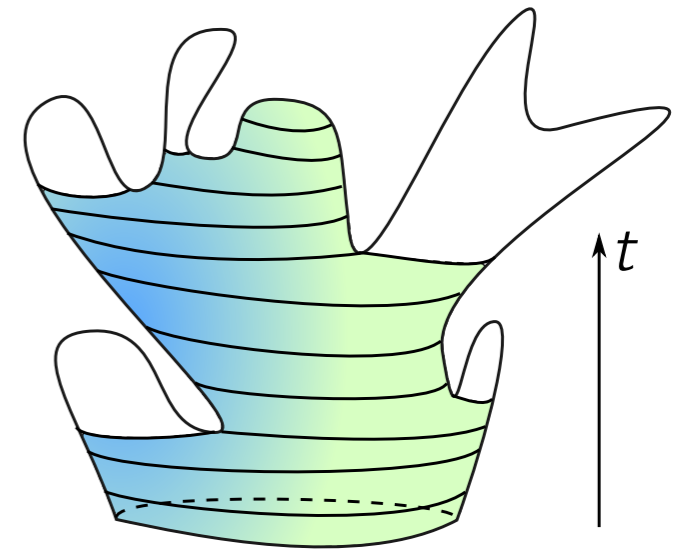
Growth-fragmentation process

- ▶ On a un processus autosimilaire (X_t) décrivant la limite d'échelle du processus du périmètre du *locally largest cycle*.



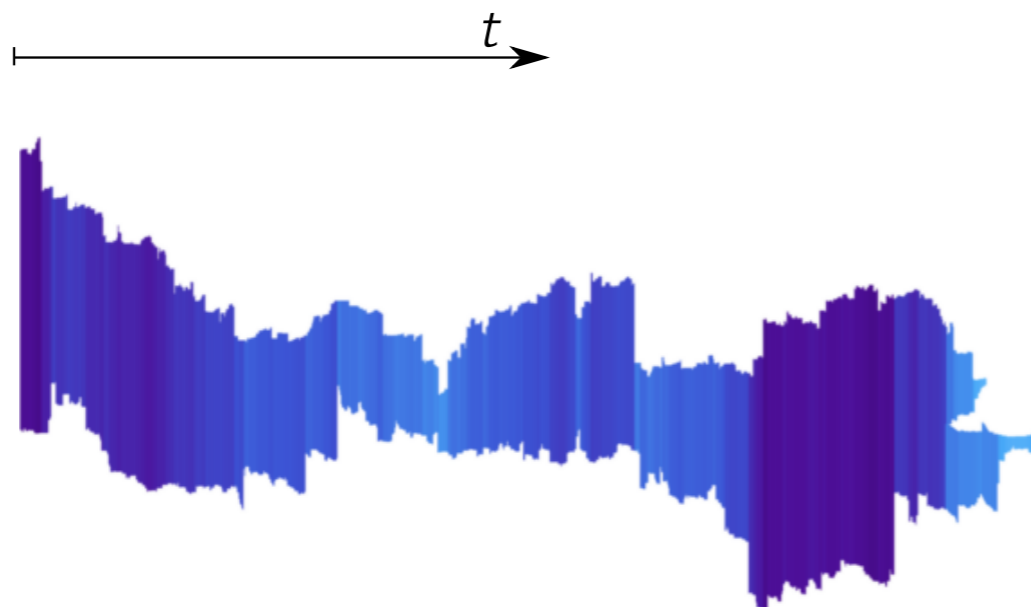
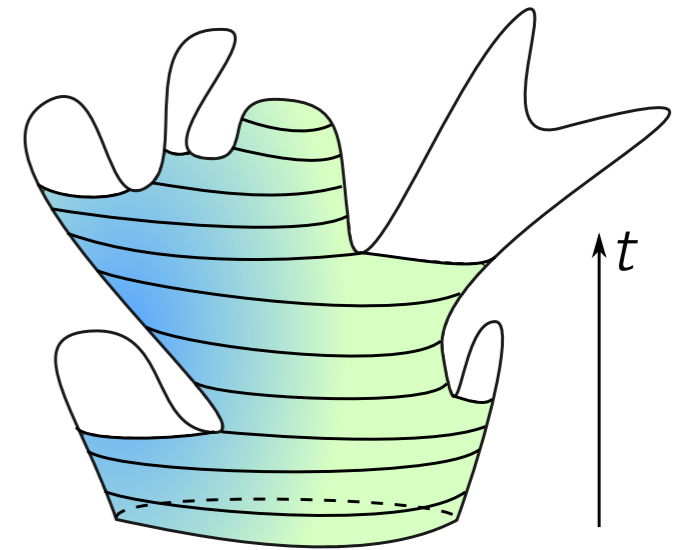
Growth-fragmentation process

- ▶ On a un processus autosimilaire (X_t) décrivant la limite d'échelle du processus du périmètre du *locally largest cycle*.



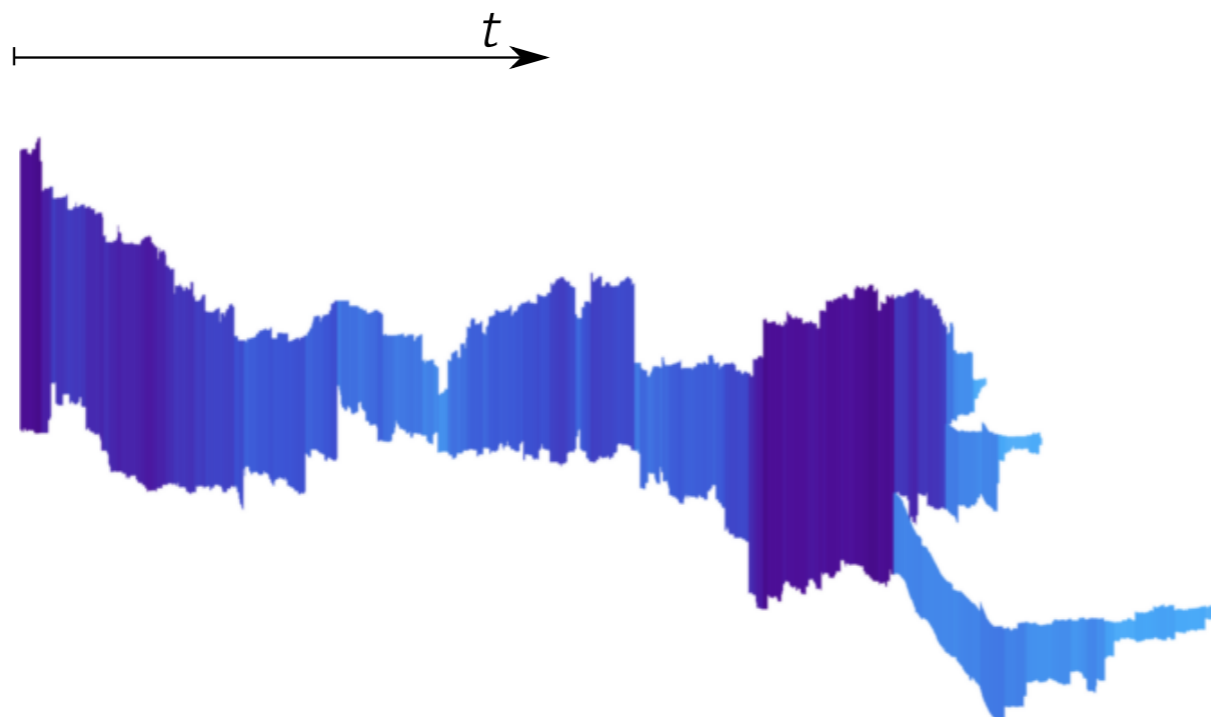
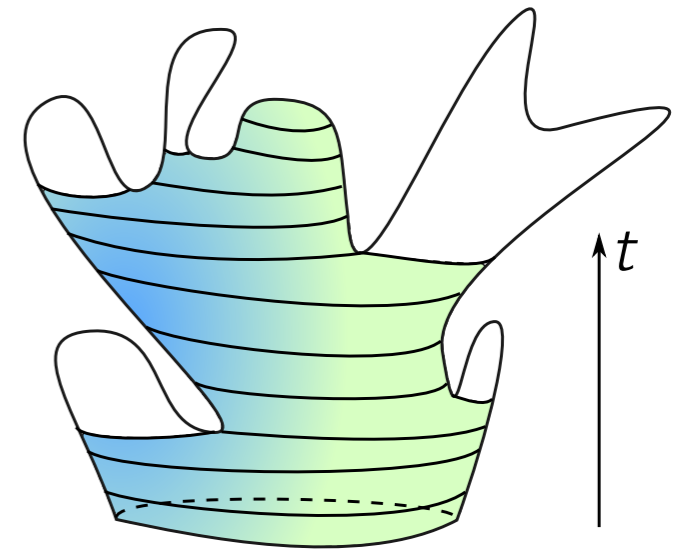
Growth-fragmentation process

- ▶ On a un processus autosimilaire (X_t) décrivant la limite d'échelle du processus du périmètre du *locally largest cycle*.
- ▶ Pour chaque saut négatif de ce processus on lui colle une copie remise à l'échelle de X .



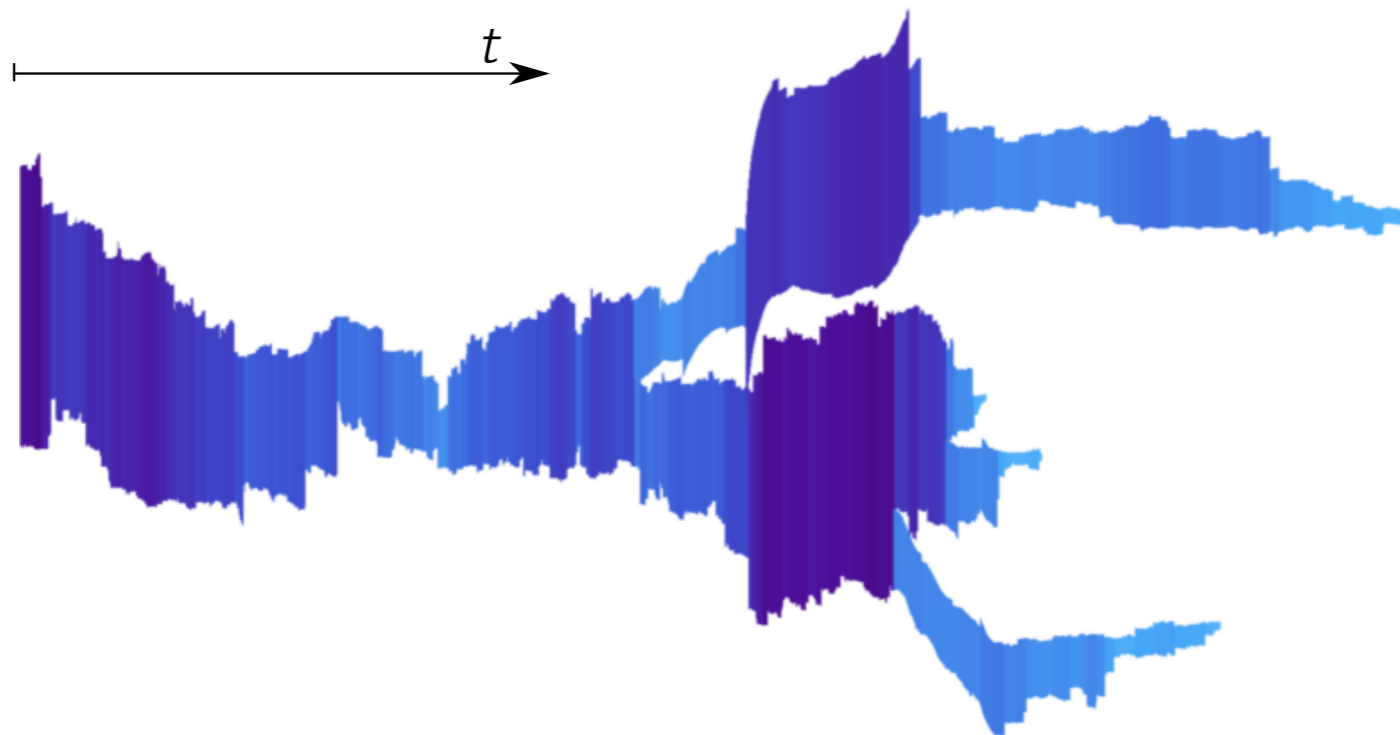
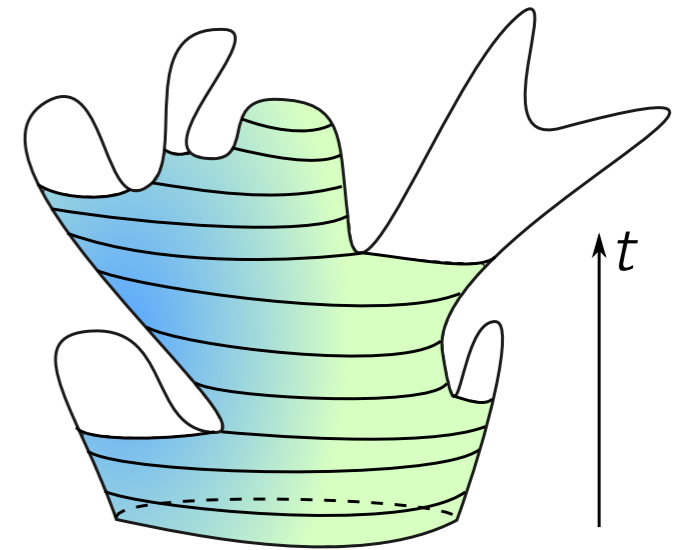
Growth-fragmentation process

- ▶ On a un processus autosimilaire (X_t) décrivant la limite d'échelle du processus du périmètre du *locally largest cycle*.
- ▶ Pour chaque saut négatif de ce processus on lui colle une copie remise à l'échelle de X .



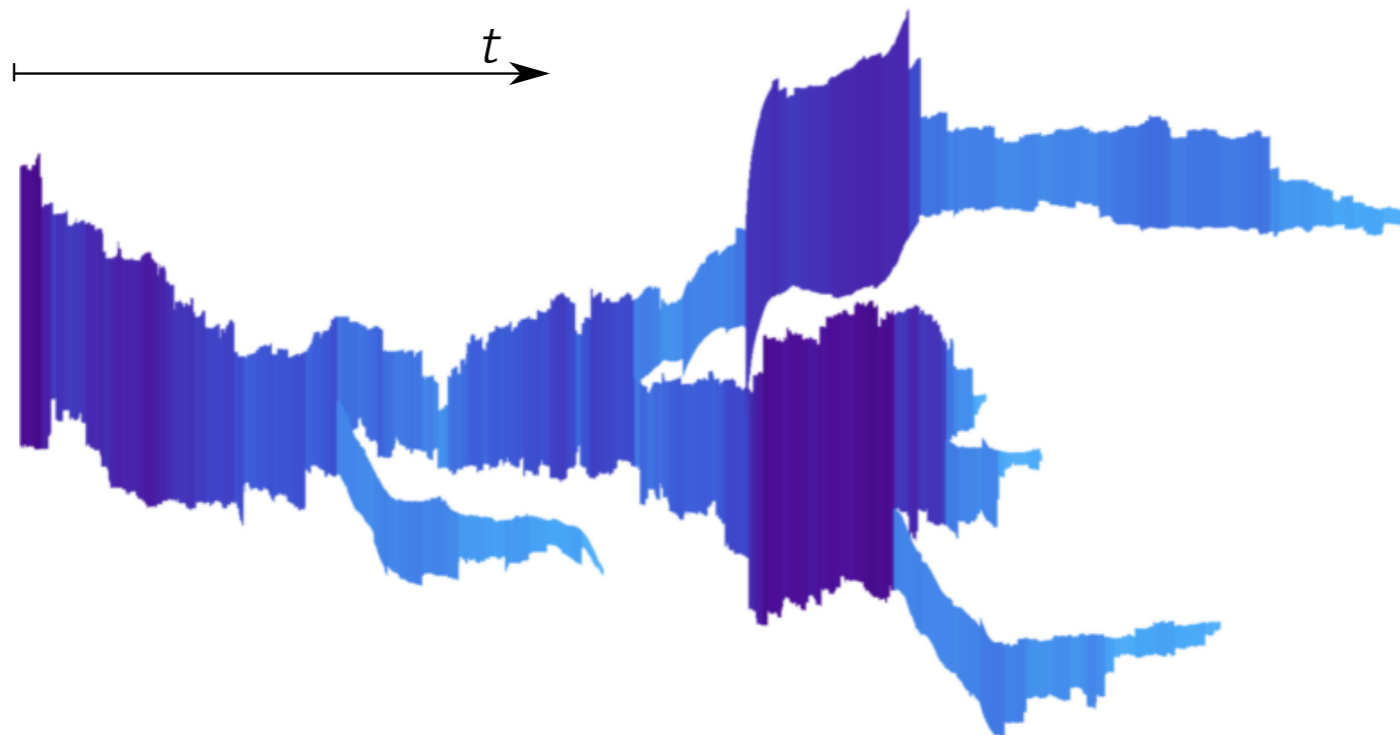
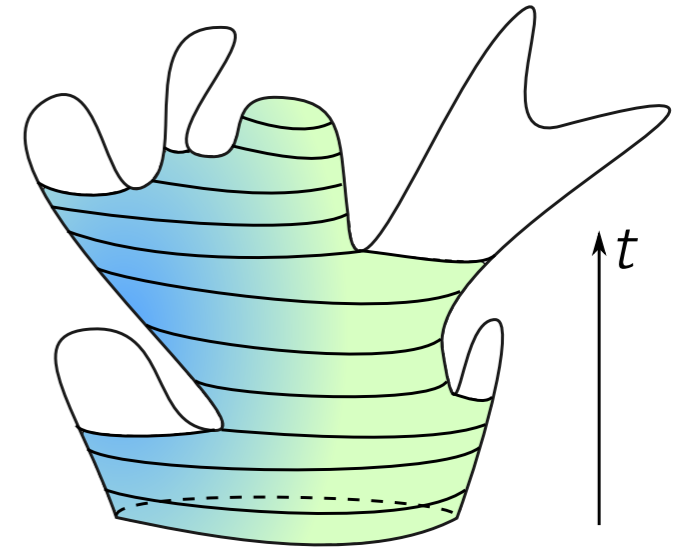
Growth-fragmentation process

- ▶ On a un processus autosimilaire (X_t) décrivant la limite d'échelle du processus du périmètre du *locally largest* cycle.
- ▶ Pour chaque saut négatif de ce processus on lui colle une copie remise à l'échelle de X .



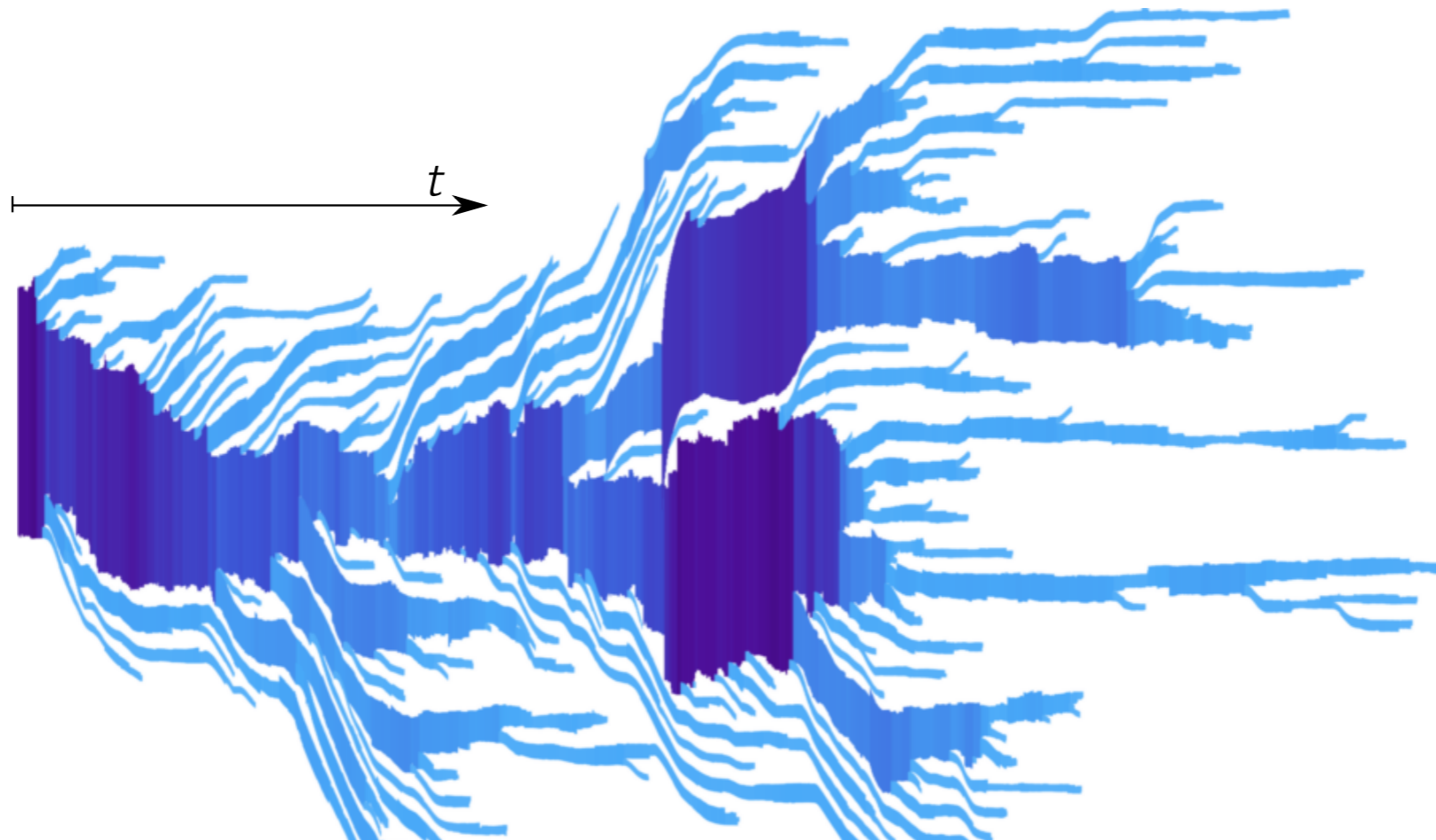
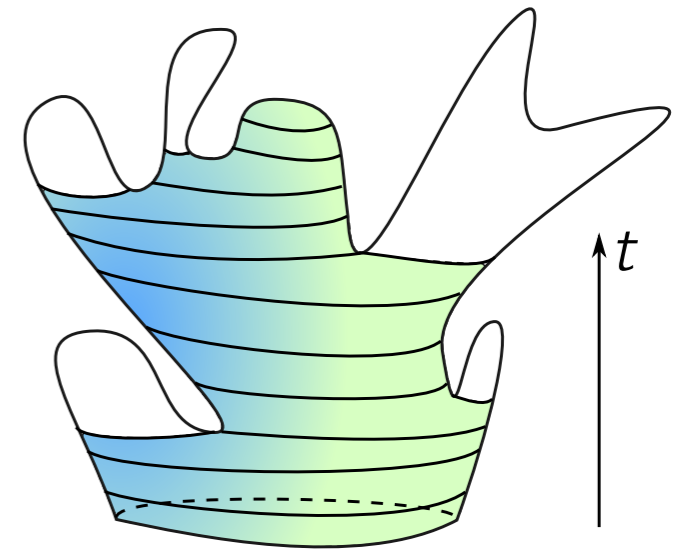
Growth-fragmentation process

- ▶ On a un processus autosimilaire (X_t) décrivant la limite d'échelle du processus du périmètre du *locally largest cycle*.
- ▶ Pour chaque saut négatif de ce processus on lui colle une copie remise à l'échelle de X .



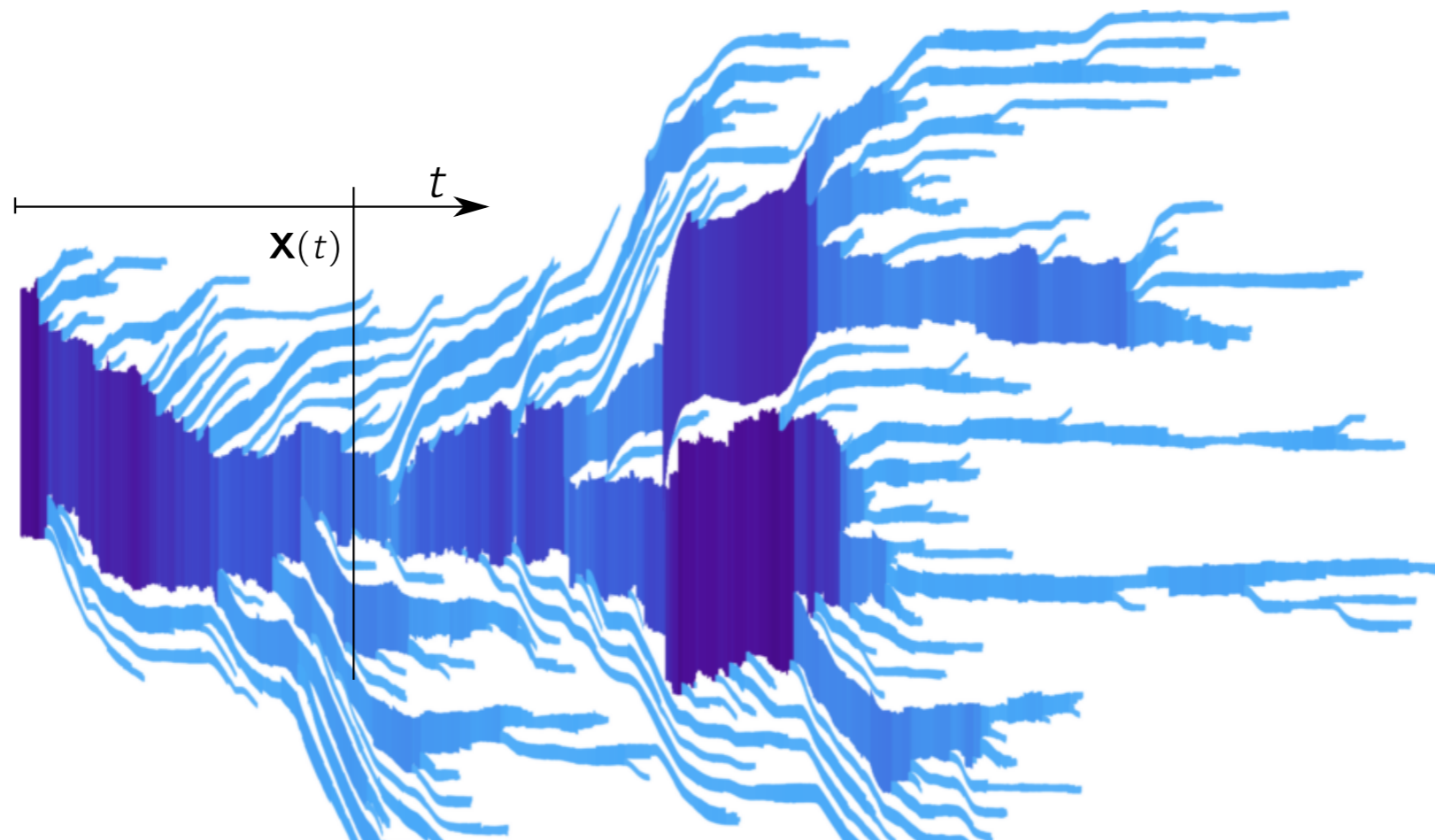
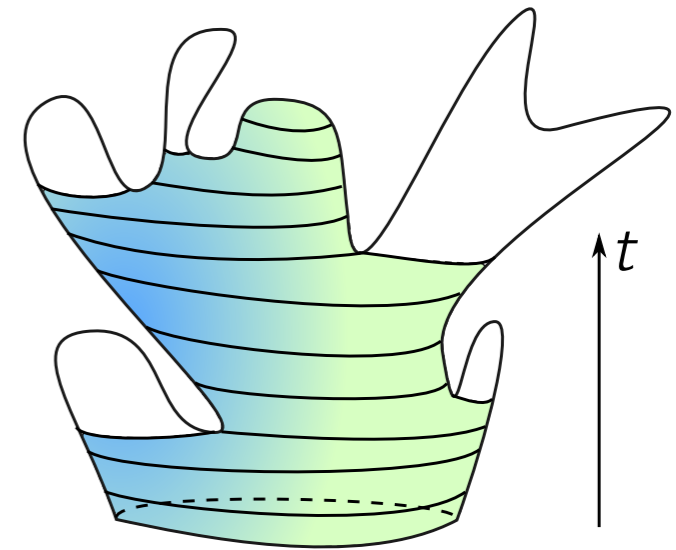
Growth-fragmentation process

- ▶ On a un processus autosimilaire (X_t) décrivant la limite d'échelle du processus du périmètre du *locally largest cycle*.
- ▶ Pour chaque saut négatif de ce processus on lui colle une copie remise à l'échelle de X .



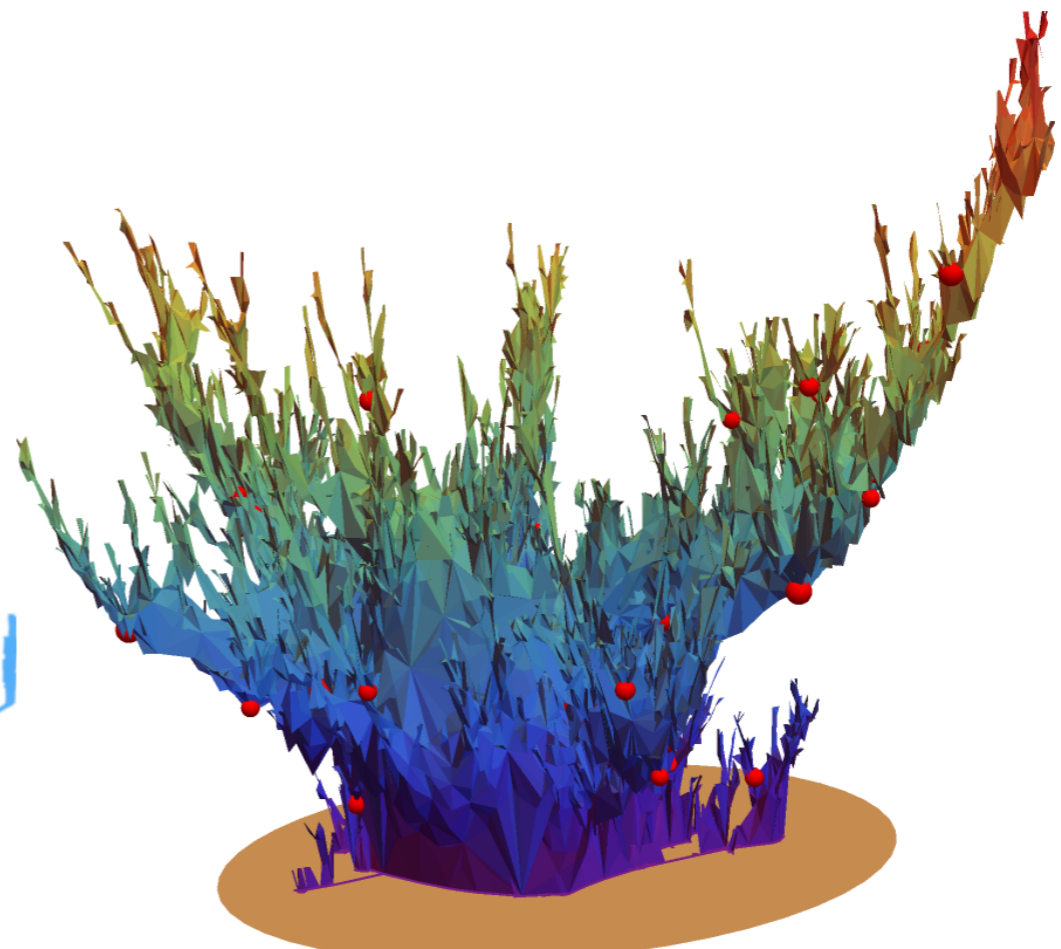
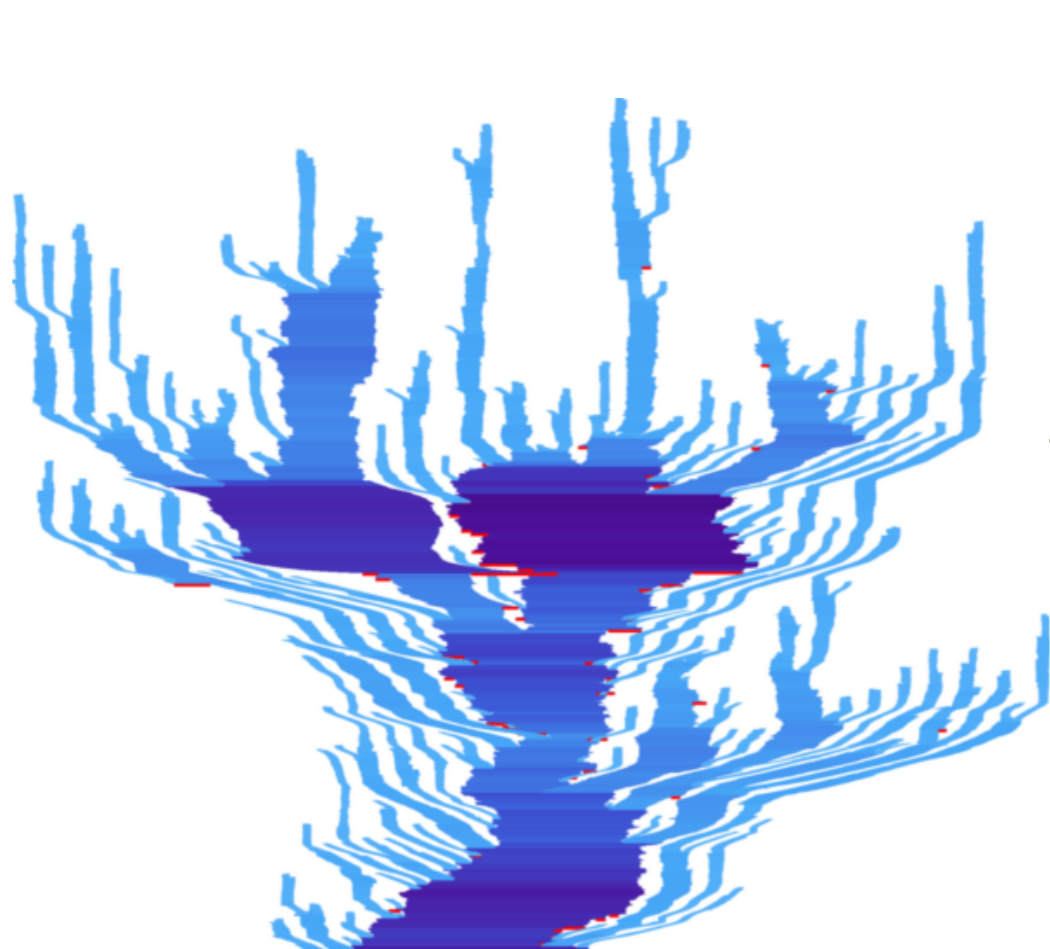
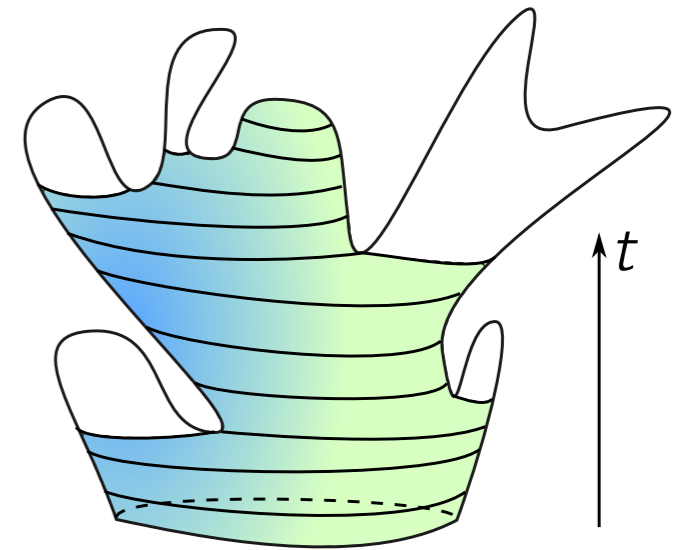
Growth-fragmentation process

- ▶ On a un processus autosimilaire (X_t) décrivant la limite d'échelle du processus du périmètre du *locally largest* cycle.
- ▶ Pour chaque saut négatif de ce processus on lui colle une copie remise à l'échelle de X .
- ▶ Alors $\mathbf{X}_t^{(a)}$ est le processus des tailles des cycles en vie au temps t .



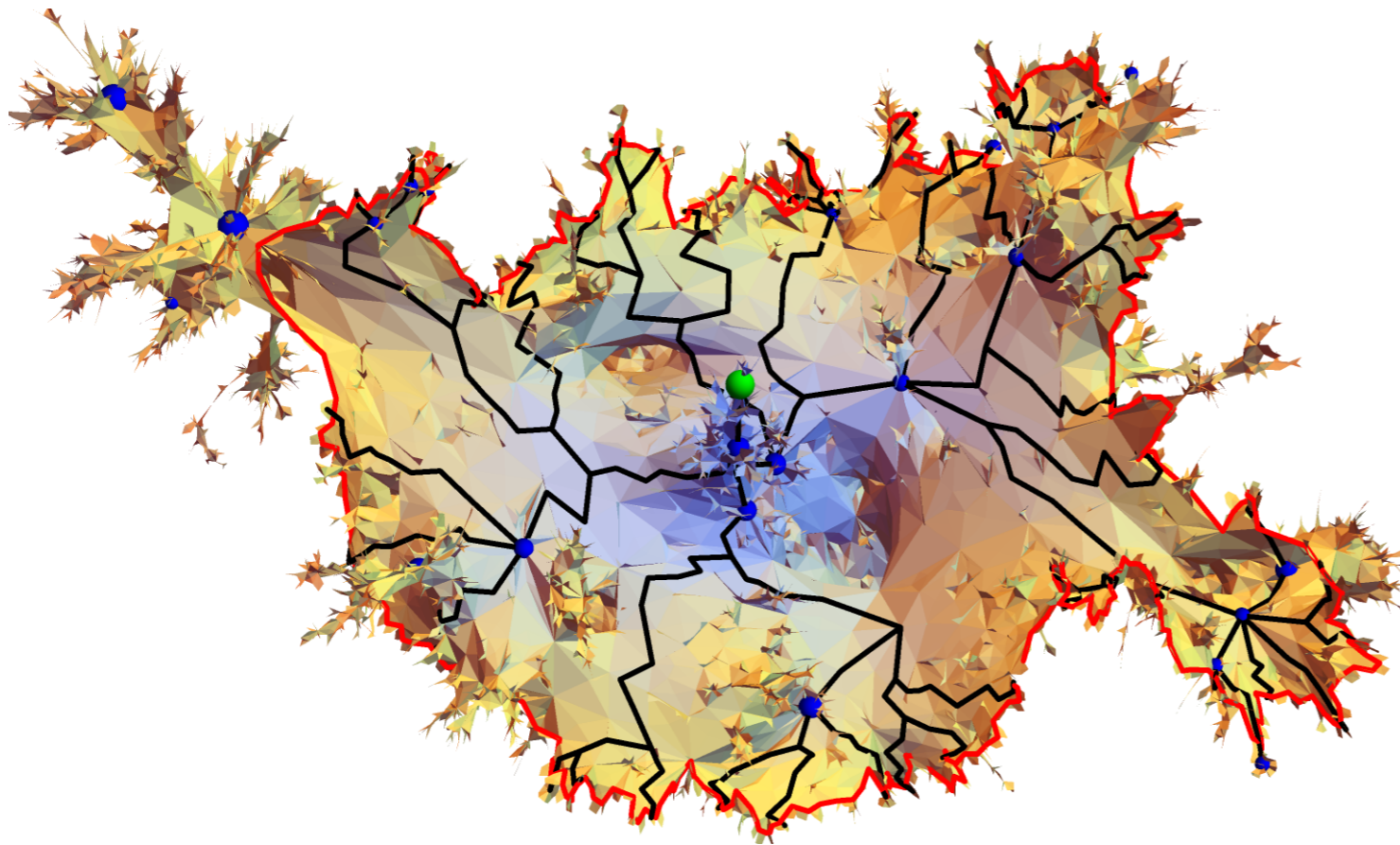
Growth-fragmentation process

- ▶ On a un processus autosimilaire (X_t) décrivant la limite d'échelle du processus du périmètre du *locally largest cycle*.
- ▶ Pour chaque saut négatif de ce processus on lui colle une copie remise à l'échelle de X .
- ▶ Alors $\mathbf{X}_t^{(a)}$ est le processus des tailles des cycles en vie au temps t .



Ce qu'il reste à faire

- ▶ Recoller les cycles dans le continu
- ▶ Définir des géodésiques
- ▶ Créer la sphere stable continue (et l'étudier, topologie, dimension de Hausdorff...)
- ▶ Montrer la convergence des modèles discrets



*Mer*ci pour votre attention